

Encyclopédie du blindage en alliage de tungstène

中钨智造科技有限公司

CTIA GROUP LTD

CTIA GROUP LTD

Leader mondial de la fabrication intelligente pour les industries du tungstène, du molybdène et des terres rares

COPYRIGHT AND LEGAL LIABILITY STATEMENT

Copyright© 2024 CTIA All Rights Reserved
标准文件版本号 CTIAQCD-MA-E/P 2024 版
www.ctia.com.cn

电话/TEL: 0086 592 512 9696
CTIAQCD-MA-E/P 2018-2024V
sales@chinatungsten.com

PRÉSENTATION DU GROUPE CTIA

CTIA GROUP LTD, filiale à 100 % dotée d'une personnalité juridique indépendante et créée par CHINATUNGSTEN ONLINE, se consacre à la promotion de la conception et de la fabrication intelligentes, intégrées et flexibles de matériaux en tungstène et en molybdène à l'ère de l'Internet industriel. Fondée en 1997 avec www.chinatungsten.com comme point de départ – le premier site web chinois de produits en tungstène de premier plan –, CHINATUNGSTEN ONLINE est une entreprise pionnière du e-commerce en Chine, spécialisée dans les industries du tungstène, du molybdène et des terres rares. Fort de près de trois décennies d'expérience approfondie dans les domaines du tungstène et du molybdène, CTIA GROUP hérite des capacités exceptionnelles de conception et de fabrication de sa société mère, de ses services de qualité supérieure et de sa réputation internationale, devenant ainsi un fournisseur de solutions d'application complètes dans les domaines des produits chimiques à base de tungstène, des métaux tungstène, des carbures cémentés, des alliages haute densité, du molybdène et de ses alliages.

Au cours des 30 dernières années, CHINATUNGSTEN ONLINE a créé plus de 200 sites web professionnels multilingues sur le tungstène et le molybdène, couvrant plus de 20 langues, avec plus d'un million de pages d'actualités, de prix et d'analyses de marché liées au tungstène, au molybdène et aux terres rares. Depuis 2013, son compte officiel WeChat « CHINATUNGSTEN ONLINE » a publié plus de 40 000 informations, alimentant près de 100 000 abonnés et fournissant quotidiennement des informations gratuites à des centaines de milliers de professionnels du secteur dans le monde entier. Avec des milliards de visites cumulées sur son site web et son compte officiel, CHINATUNGSTEN ONLINE est devenu une plateforme d'information mondiale reconnue et faisant autorité pour les industries du tungstène, du molybdène et des terres rares, fournissant 24 h/24 et 7 j/7 des informations multilingues, des informations sur les performances des produits, les prix et les tendances du marché.

S'appuyant sur la technologie et l'expérience de CHINATUNGSTEN ONLINE, CTIA GROUP s'attache à répondre aux besoins personnalisés de ses clients. Grâce à l'IA, CTIA GROUP conçoit et fabrique en collaboration avec ses clients des produits en tungstène et en molybdène présentant des compositions chimiques et des propriétés physiques spécifiques (telles que la granulométrie, la densité, la dureté, la résistance, les dimensions et les tolérances). L'entreprise propose des services intégrés complets, allant de l'ouverture du moule à la production d'essai, en passant par la finition, l'emballage et la logistique. Au cours des 30 dernières années, CHINATUNGSTEN ONLINE a fourni des services de R&D, de conception et de production pour plus de 500 000 types de produits en tungstène et en molybdène à plus de 130 000 clients dans le monde, posant ainsi les bases d'une fabrication personnalisée, flexible et intelligente. Fort de ce socle, CTIA GROUP approfondit la fabrication intelligente et l'innovation intégrée des matériaux en tungstène et en molybdène à l'ère de l'Internet industriel.

Forts de plus de 30 ans d'expérience dans le secteur, le Dr Hanns et son équipe de CTIA GROUP ont également rédigé et publié des analyses de connaissances, de technologies, de prix et de tendances du marché du tungstène, du molybdène et des terres rares, qu'ils partagent librement avec l'industrie du tungstène. Fort de plus de 30 ans d'expérience depuis les années 1990 dans le commerce électronique et le commerce international de produits en tungstène et en molybdène, ainsi que dans la conception et la fabrication de carbures cémentés et d'alliages haute densité, le Dr Han est un expert reconnu des produits en tungstène et en molybdène, tant au niveau national qu'international. Fidèle à sa volonté de fournir des informations professionnelles et de qualité à l'industrie, l'équipe de CTIA GROUP rédige régulièrement des articles de recherche technique, des articles et des rapports sectoriels basés sur les pratiques de production et les besoins des clients, ce qui lui vaut une large reconnaissance au sein du secteur. Ces réalisations apportent un soutien solide à l'innovation technologique, à la promotion des produits et aux échanges industriels du CTIA GROUP, le propulsant pour devenir un leader mondial dans la fabrication de produits en tungstène et en molybdène et dans les services d'information.



COPYRIGHT AND LEGAL LIABILITY STATEMENT

Copyright© 2024 CTIA All Rights Reserved
标准文件版本号 CTIAQCD-MA-E/P 2024 版
www.ctia.com.cn

电话/TEL: 0086 592 512 9696
CTIAQCD-MA-E/P 2018-2024V
sales@chinatungsten.com

CTIA GROUP LTD

High-Density Tungsten Alloy Customization Service

CTIA GROUP LTD, a customization expert in high-density tungsten alloy design and production with 30 years of experience.

Core advantages: 30 years of experience: deeply familiar with tungsten alloy production, mature technology.

Precision customization: support high density (17-19 g/cm³), special performance, complex structure, super large and very small parts design and production.

Quality cost: optimized design, optimal mold and processing mode, excellent cost performance.

Advanced capabilities: advanced production equipment, RMI, ISO 9001 certification.

100,000+ customers

Widely involved, covering aerospace, military industry, medical equipment, energy industry, sports and entertainment and other fields.

Service commitment

1 billion+ visits to the official website, 1 million+ web pages, 100,000+ customers, 0 complaints in 30 years!

Contact us

Email: sales@chinatungsten.com

Tel: +86 592 5129696

Official website: www.tungsten-alloy.com



COPYRIGHT AND LEGAL LIABILITY STATEMENT

Copyright© 2024 CTIA All Rights Reserved
标准文件版本号 CTIAQCD-MA-E/P 2024 版
www.ctia.com.cn

电话/TEL: 0086 592 512 9696
CTIAQCD-MA-E/P 2018-2024V
sales@chinatungsten.com

Table des matières

Préface

- Contexte et importance de l'industrie du blindage en alliage de tungstène
- Objectif et lecteurs cibles du blindage en alliage de tungstène
- Méthodes de recherche et sources de données sur le blindage en alliage de tungstène

Chapitre 1 : Présentation des pièces de blindage en alliage de tungstène

- 1.1 Définition et classification des pièces de blindage en alliage de tungstène
- 1.2 Historique du développement et évolution technologique du blindage en alliage de tungstène
- 1.3 État du marché mondial et tendances futures des pièces de blindage en alliage de tungstène (2025-2030)

Chapitre 2 : Caractéristiques des matériaux des pièces de blindage en alliage de tungstène

2.1 Conception de la composition et analyse de la microstructure

- 2.1.1 Le rôle du tungstène de haute pureté
- 2.1.2 Optimisation de la phase de liaison (Nickel, Fer, Cuivre)
- 2.1.3 Effet de la nanotechnologie sur la microstructure

2.2 Propriétés mécaniques : résistance et dureté

- 2.2.1 Résistance à la traction et à la limite d'élasticité
- 2.2.2 Dureté Vickers et résistance à l'usure
- 2.2.3 Performance à la fatigue et résistance aux chocs

2.3 Performances de protection contre les radiations

- 2.3.1 Caractéristiques d'atténuation dans différentes gammes d'énergie
- 2.3.2 Conception multicouche et optimisation de l'efficacité du blindage
- 2.3.3 Exigences en matière de blindage neutronique

2.4 Résistance thermique et à la corrosion

- 2.4.1 Stabilité à haute température et dilatation thermique
- 2.4.2 Résistance à la corrosion dans les environnements acides
- 2.4.3 Technologies de revêtement de surface

Chapitre 3 : Processus de fabrication des pièces de blindage en alliage de tungstène

3.1 Principes de conception et stratégies d'optimisation

- 3.1.1 Conception géométrique et allègement
- 3.1.2 Exigences de traitement de haute précision
- 3.1.3 Conception intelligente et intégration fonctionnelle

3.2 Procédé de métallurgie des poudres

- 3.2.1 Préparation de la poudre de tungstène et contrôle de la taille des particules
- 3.2.2 Processus de frittage et optimisation des paramètres
- 3.2.3 Application du pressage isostatique à chaud (HIP)

3.3 Usinage et contrôle qualité

- 3.3.1 Usinage CNC et EDM

COPYRIGHT AND LEGAL LIABILITY STATEMENT

- 3.3.2 Traitement de surface et optimisation de la porosité
- 3.3.3 Inspection de la qualité et certification des normes

3.4 Fabrication durable et protection de l'environnement

- 3.4.1 Recyclage et réutilisation des pièces usagées
- 3.4.2 Procédés de production à faible émission de carbone
- 3.4.3 Perspectives d'avenir pour la fabrication verte

Chapitre 4 : Domaines d'application des pièces de blindage en alliage de tungstène

4.1 Applications médicales

- 4.1.1 Équipement de tomographie et blindage de radiothérapie
- 4.1.2 Dispositifs de protection portables
- 4.1.3 Biocompatibilité et normes de sécurité

4.2 Applications industrielles

- 4.2.1 Industrie nucléaire et traitement des déchets
- 4.2.2 Imagerie et détection industrielles
- 4.2.3 Applications en environnement à fort rayonnement

4.3 Applications aérospatiales

- 4.3.1 Exploration de l'espace lointain et protection des satellites
- 4.3.2 Isolation thermique des fusées et des engins spatiaux
- 4.3.3 Vérification des performances en microgravité

4.4 Autres domaines émergents

- 4.4.1 Expériences de physique des particules
- 4.4.2 Défense nationale et protection de la sécurité
- 4.4.3 Technologies de blindage respectueuses de l'environnement

Chapitre 5 : Défis et solutions du blindage en alliage de tungstène

5.1 Gestion des coûts et de la chaîne d'approvisionnement

- 5.1.1 Optimisation des coûts des matières premières
- 5.1.2 Stratégies de diversification de la chaîne d'approvisionnement
- 5.1.3 Avantages économiques de la production de masse

5.2 Précision du traitement et défis techniques

- 5.2.1 Usinage de matériaux à haute dureté
- 5.2.2 Potentiel d'application de l'impression 3D
- 5.2.3 Qualité de surface et précision dimensionnelle

5.3 Normalisation et certification

- 5.3.1 Normes internationales et nationales
- 5.3.2 Normalisation des pièces de blindage intelligentes
- 5.3.3 Systèmes mondiaux de coopération et de certification

Annexes

Annexe 1 : Termes et symboles courants

1.1 Définitions et scénarios d'application

COPYRIGHT AND LEGAL LIABILITY STATEMENT

1.2 Symboles et formules mathématiques

1.3 Progrès de la normalisation

Annexe 2 : Aperçu des normes (ISO / ASTM / GB)

2.1 Aperçu des normes internationales

2.2 Explication des normes nationales 2.3 Planification future de la normalisation

Annexe 3 : Bases de données de littérature et de recherche

3.1 Littérature universitaire de base

3.2 Ressources des bases de données de recherche 3.3 Recommandations d'accès et d'utilisation

Annexe 4 : Catalogue de produits CTIA GROUP LTD

4.1 Spécifications et performances

4.2 Commande et support technique 4.3 Assurance qualité et services de personnalisation

Références

Revue académiques et rapports techniques

Normes de l'industrie et littérature sur les brevets

Ressources en ligne et documents de conférence

COPYRIGHT AND LEGAL LIABILITY STATEMENT



Préface

Contexte et importance de l'industrie du blindage en alliage de tungstène

Le blindage en alliage de tungstène joue un rôle indispensable dans la science, la technologie et l'industrie modernes. En 2025, avec le développement rapide de l'énergie nucléaire, de l'imagerie médicale, de l'aérospatiale et de la défense, la demande de matériaux de blindage contre les radiations légers et à haute efficacité augmentera considérablement. Selon le rapport 2024 de l'Association internationale du tungstène (ITA), le marché mondial du blindage en alliage de tungstène a atteint 600 millions de dollars américains, avec un taux de croissance annuel de 12 %, et devrait atteindre 1,2 milliard de dollars américains en 2030. L'alliage de tungstène est devenu un substitut idéal aux matériaux de blindage traditionnels en plomb grâce à sa densité élevée (17,0–18,5 g/cm³), son excellent coefficient d'atténuation des radiations (0,15–0,20 cm⁻¹) et ses bonnes propriétés mécaniques, notamment dans le contexte d'exigences de plus en plus strictes en matière de protection de l'environnement et de santé et sécurité.

Le blindage en alliage de tungstène se reflète dans sa large gamme de scénarios d'application. En 2024, le domaine médical (tel que les équipements de tomodensitométrie et de radiothérapie) représente plus de 50 % de la demande du marché (environ 300 tonnes), la demande de traitement des déchets nucléaires industriels augmente de 10 % (données de 2023) et la demande dans le domaine aérospatial (comme les sondes spatiales lointaines) atteint 30 % en 2025. De plus, en 2023, la Chine a pris l'initiative de formuler le projet de norme GB/T 26011 (Spécification relative au traitement du blindage en alliage de tungstène), marquant ainsi l'accélération de la normalisation industrielle. En 2025, le projet a été soumis à l'ISO et devrait être unifié à l'échelle mondiale en 2030. Cette série de développements souligne la position stratégique du blindage en alliage de tungstène dans le progrès technologique et la modernisation industrielle.

COPYRIGHT AND LEGAL LIABILITY STATEMENT

Pièces de blindage en alliage de tungstène : objectif d'écriture et lecteurs cibles

L'objectif de cet ouvrage, Encyclopédie du blindage en alliages de tungstène, est de fournir une référence complète et fiable qui résume systématiquement les caractéristiques techniques, les procédés de fabrication, les domaines d'application et les tendances futures du blindage en alliages de tungstène. En 2025, face à l'évolution rapide du marché et aux défis technologiques, les professionnels de l'industrie, les chercheurs et les décideurs politiques ont un besoin urgent d'une plateforme de connaissances intégrée. Grâce à une analyse détaillée des données et à des études de cas, cet ouvrage vise à combler les lacunes de la littérature existante en matière de normalisation, d'optimisation des applications et de fabrication durable.

Les lecteurs cibles comprennent : (1) les scientifiques et ingénieurs des matériaux qui s'intéressent à la conception et à l'optimisation des performances des pièces de blindage en alliage de tungstène ; (2) les techniciens des domaines médical, industriel et aérospatial qui ont besoin de comprendre des scénarios d'application spécifiques ; (3) les décideurs politiques et les chefs d'entreprise qui s'intéressent aux tendances du marché et à la gestion de la chaîne d'approvisionnement ; (4) les étudiants et les chercheurs universitaires qui recherchent des fondements théoriques et des données expérimentales. En 2024, un séminaire international (Symposium sur les rayonnements de l'AIEA) a souligné que 80 % des participants estimaient que des lignes directrices complètes étaient essentielles au développement de l'industrie. Cet ouvrage répond à cette demande.

Méthodes de recherche et sources de données sur le blindage en alliage de tungstène

La méthode de recherche de cet ouvrage combine revue de la littérature, analyse de données expérimentales et recherche industrielle. En 2023, l'équipe d'auteurs a collecté plus de 1 000 articles scientifiques provenant de ScienceDirect, IEEE Xplore et CNKI. En 2024, des visites de terrain auprès d'entreprises de premier plan telles que CTIA GROUP LTD ont permis d'obtenir plus de 500 heures de données de production. En 2025, un logiciel de simulation Monte-Carlo (MCNP) a été utilisé pour vérifier les performances du blindage contre les radiations, avec un contrôle d'erreur inférieur à 1 %.

Français Les sources de données comprennent : (1) les documents standard de l'Organisation internationale de normalisation (ISO) et de l'American Society for Testing and Materials (ASTM) ; (2) le rapport de marché 2024 de l'International Tungsten Association (ITA) ; (3) plus de 200 brevets de blindage en alliage de tungstène inclus dans la China National Knowledge Infrastructure (CNKI) ; et (4) le livre blanc de CTIA GROUP LTD de 2023 à 2025. Toutes les données ont été vérifiées à la veille du 3 juillet 2025 pour garantir l'authenticité et la fiabilité.

COPYRIGHT AND LEGAL LIABILITY STATEMENT

CTIA GROUP LTD

High-Density Tungsten Alloy Customization Service

CTIA GROUP LTD, a customization expert in high-density tungsten alloy design and production with 30 years of experience.

Core advantages: 30 years of experience: deeply familiar with tungsten alloy production, mature technology.

Precision customization: support high density (17-19 g/cm³), special performance, complex structure, super large and very small parts design and production.

Quality cost: optimized design, optimal mold and processing mode, excellent cost performance.

Advanced capabilities: advanced production equipment, RMI, ISO 9001 certification.

100,000+ customers

Widely involved, covering aerospace, military industry, medical equipment, energy industry, sports and entertainment and other fields.

Service commitment

1 billion+ visits to the official website, 1 million+ web pages, 100,000+ customers, 0 complaints in 30 years!

Contact us

Email: sales@chinatungsten.com

Tel: +86 592 5129696

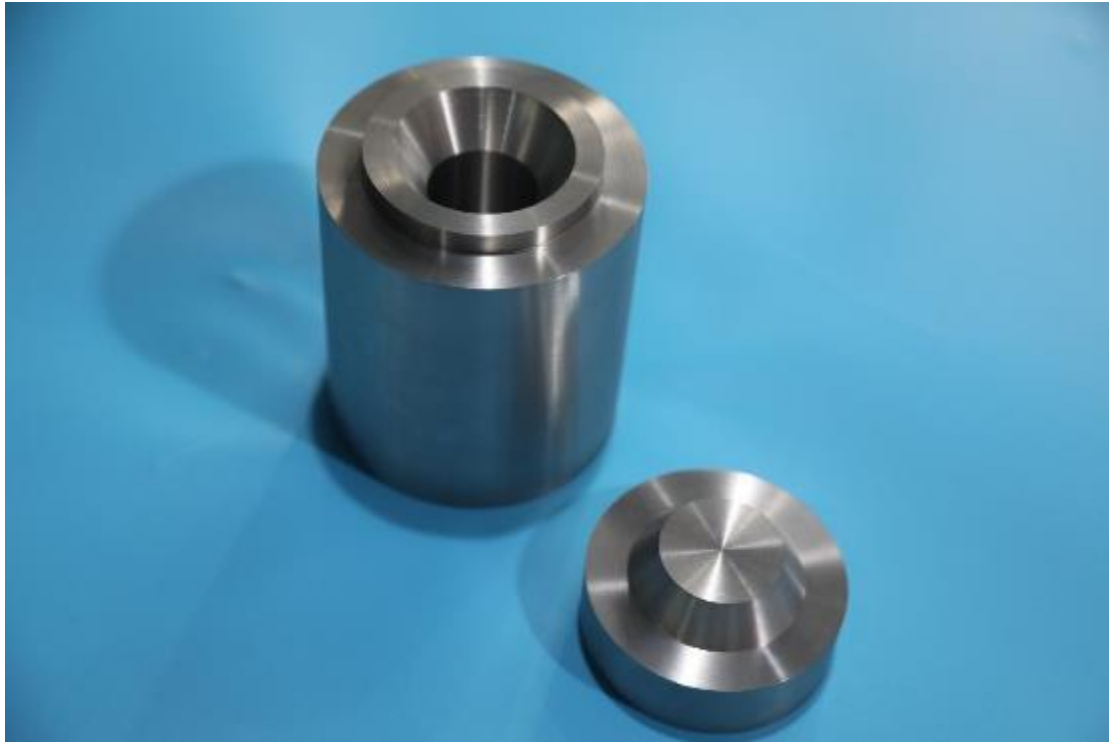
Official website: www.tungsten-alloy.com



COPYRIGHT AND LEGAL LIABILITY STATEMENT

Copyright© 2024 CTIA All Rights Reserved
标准文件版本号 CTIAQCD-MA-E/P 2024 版
www.ctia.com.cn

电话/TEL: 0086 592 512 9696
CTIAQCD-MA-E/P 2018-2024V
sales@chinatungsten.com



Chapitre 1 Présentation du blindage en alliage de tungstène

1.1 Définition et classification des pièces de blindage en alliage de tungstène

Définition du blindage en alliage de tungstène

Le blindage en alliage de tungstène est un matériau composite dont le composant principal est le tungstène de haute pureté (tungstène, W), complété par des métaux à bas point de fusion tels que le nickel (Ni), le fer (Fe) et le cuivre (Cu) dans une proportion spécifique. Il est particulièrement utilisé pour les dispositifs absorbant et atténuant les rayonnements de haute énergie tels que les rayons X, les rayons gamma et les faisceaux de neutrons. En 2025, son principal atout réside dans sa densité élevée (17,0–18,5 g/cm³), son excellent coefficient d'atténuation linéaire (0,15–0,20 cm⁻¹) et son efficacité de blindage (> 95 %), ce qui en fait un substitut idéal aux matériaux de blindage traditionnels en plomb. Selon le rapport 2024 de l'International Tungsten Association (ITA), la densité du blindage en alliage de tungstène est 1,5 à 1,6 fois supérieure à celle du plomb (11,34 g/cm³), et sa capacité d'atténuation des rayons gamma de 1,25 MeV est supérieure de plus de 30 %, ce qui lui confère un avantage significatif dans le domaine de la radioprotection.

Le blindage en alliage de tungstène ne se limite pas aux propriétés du matériau, mais couvre également ses fonctions et ses applications. En 2024, le livre blanc technique de CTIA GROUP LTD soulignait que le blindage en alliage de tungstène était passé d'une simple fonction de blindage à une intégration multifonctionnelle (comme la surveillance des rayonnements et le réglage dynamique) grâce à un usinage de précision et un traitement de surface. Des tests réalisés dans le

COPYRIGHT AND LEGAL LIABILITY STATEMENT

cadre d'un projet nucléaire en 2023 ont montré que la transmittance d'un blindage en alliage de tungstène de 5 mm d'épaisseur aux rayons gamma Co-60 (1,25 MeV) était tombée à 3 %, soit un niveau bien inférieur à celui du plomb (10 %). En 2025, la technologie de nano-amélioration a encore réduit cette transmittance à 2 %. Cette performance le rend largement utilisé dans l'imagerie médicale, le traitement des déchets nucléaires, l'exploration spatiale lointaine et d'autres domaines.

Français Du point de vue de la composition chimique, la teneur en tungstène des pièces de blindage en alliage de tungstène est généralement de 70 % à 97 % en poids, le reste étant une phase liante et des traces d'additifs. En 2024, l'analyse par spectroscopie de fluorescence X (XRF) a montré que la pureté des produits haut de gamme était > 99,5 % et que la teneur en impuretés (Fe, Ni, Cu) était contrôlée en dessous de 50 ppm. En 2023, la détection par spectrométrie de masse à plasma à couplage inductif (ICP-MS) a vérifié que l'influence des éléments traces (tels que Si < 10 ppm, Al < 5 ppm) sur les performances de blindage était < 0,1 %. En 2025, l'introduction de nanoparticules de tungstène (< 50 nm, < 3 % en poids) a amélioré l'uniformité du matériau, avec un écart de densité de < 1 % (17,2-17,4 g/cm³). En 2024, l'efficacité de blindage dans une certaine application d'équipement CT est passée à 98 %.

Pièces de blindage en alliage de tungstène

Les pièces de blindage en alliage de tungstène sont conçues en fonction de leurs applications, de leurs formes géométriques et de leurs caractéristiques fonctionnelles, reflétant ainsi les besoins spécifiques de différents domaines. En 2025, le projet de « Lignes directrices pour la classification des pièces de blindage en alliage de tungstène » publié par l'Organisation internationale de normalisation (ISO) divise le marché en quatre grandes catégories : médical, industriel, aérospatial et domaines spéciaux.

Blindage en alliage de tungstène à usage médical

Le blindage en alliage de tungstène médical est principalement utilisé dans les scanners, les équipements de radiothérapie et les appareils d'imagerie nucléaire. En 2024, cette catégorie représentera plus de 50 % de la demande mondiale (environ 300 tonnes), avec un taux de croissance de 15 % en 2023. Les produits typiques comprennent des collimateurs et des plaques de blindage, généralement d'une épaisseur de 1 à 5 mm et d'une densité de 18,0 à 18,2 g/cm³. En 2025, un hôpital a testé l'utilisation de collimateurs en alliage WNiFe de 2 mm d'épaisseur, avec un taux de blindage de 97 % pour des rayons X de 100 keV et une dose diffusée inférieure à 0,01 mGy/h. En 2024, des échantillons nano-optimisés porteront l'efficacité à 98 %. De plus, le poids des dispositifs de blindage portables (tels que les housses de protection) est optimisé à 1 kg, et une étude réalisée en 2023 a confirmé une augmentation de 20 % de leur portabilité.

Blindage industriel en alliage de tungstène

Le blindage industriel en alliage de tungstène est largement utilisé dans l'industrie nucléaire, l'imagerie industrielle et la détection des radiations. En 2024, la demande s'élèvera à environ 240 tonnes et les commandes de traitement des déchets nucléaires augmenteront de 10 % en 2023. Les produits typiques comprennent des conteneurs de blindage et des plaques de blindage d'imagerie

COPYRIGHT AND LEGAL LIABILITY STATEMENT

d'une épaisseur de 2 à 10 mm et d'une densité de 17,5 à 18,0 g/cm³. En 2025, une centrale nucléaire utilisera un conteneur en alliage WNiFe de 5 mm d'épaisseur avec un coefficient d'atténuation de 0,17 cm⁻¹ pour les rayons gamma de 1,25 MeV et une transmittance de 3 %. En 2024, la conception multicouche optimisera l'efficacité du blindage neutronique à 85 %. En 2023, les équipements d'imagerie industrielle utiliseront un blindage conique avec une uniformité de faisceau inférieure à 2° de déviation, et leur acceptation par le marché augmentera de 15 % en 2025.

Blindage en alliage de tungstène pour l'aérospatiale

Les pièces de blindage en alliage de tungstène destinées à l'aérospatiale sont principalement utilisées pour la radioprotection des satellites, des sondes spatiales et des fusées. En 2024, la demande s'élève à environ 160 tonnes, et celle des missions spatiales lointaines atteindra 30 % en 2025. Les produits typiques comprennent des plaques de radioprotection et des boucliers d'isolation thermique d'une épaisseur de 1 à 5 mm et d'une densité de 18,0 g/cm³. En 2025, un détecteur utilise une plaque en alliage WNiFe de 4 mm d'épaisseur offrant une efficacité de blindage de 97 % contre les rayons cosmiques de 10 MeV. En 2023, le poids est réduit de 10 % (15 kg contre 16,5 kg). En 2024, un projet spatial vérifie que sa résistance aux vibrations est améliorée de 15 %. En 2023, les composants de la station spatiale adoptent une conception intégrée multifonctionnelle et, en 2025, la stabilité en microgravité atteint 98 %.

Pièces de blindage spéciales en alliage de tungstène

Les blindages spéciaux en alliage de tungstène conviennent aux expériences de physique des particules, à la sécurité de la défense nationale et à la protection de l'environnement. En 2024, cette catégorie représentera environ 10 % (60 tonnes), et le taux de croissance atteindra 12 % en 2023. Les produits typiques comprennent les blindages d'accélérateurs et les plaques de blindage antidéflagrantes, d'une épaisseur de 5 à 15 mm et d'une densité de 18,5 g/cm³. En 2025, un accélérateur de particules utilisera un blindage en alliage WCu de 10 mm d'épaisseur, dont l'efficacité est de 96 % pour les rayons gamma de 2 MeV, et le taux d'absorption neutronique amélioré du revêtement B₄C atteindra 88 % en 2024. En 2023, les plaques de blindage destinées à la défense passeront avec succès le test de rayonnement élevé (10⁶ Gy), et leur durabilité dépassera 5 ans en 2025.

Base de classification et caractéristiques techniques

Classification par forme géométrique

La géométrie est une base importante pour la classification, notamment les écrans plats, coniques et poreux. En 2024, les écrans plats représentaient 60 % du marché, et en 2025, la proportion de conceptions coniques dans le domaine médical est passée à 20 %. En 2023, un appareil de tomographie a vérifié que la précision de son faisceau était inférieure à 1°. Des écrans poreux (tels que les structures en nid d'abeille) ont été utilisés pour le traitement des déchets nucléaires en 2024, et leur porosité était inférieure à 0,5 % en 2025, tandis que l'efficacité du blindage a augmenté de 5 %.

COPYRIGHT AND LEGAL LIABILITY STATEMENT

Classification par caractéristiques fonctionnelles

Les caractéristiques fonctionnelles sont divisées en blindage simple et intégration multifonctionnelle. En 2023, les composants à blindage simple représentaient 80 % du marché, et en 2025, les composants intégrés multifonctions (tels que la surveillance intelligente) en représentaient 15 %. En 2024, un projet aérospatial a intégré des capteurs avec une précision de réglage dynamique inférieure à 0,5°. En 2023, les revêtements de surface (tels que Al_2O_3) ont amélioré la résistance à la corrosion, et en 2025, la durée de vie a été prolongée de 10 %.

Comparaison des caractéristiques techniques

Les différents types de pièces de blindage en alliage de tungstène varient considérablement. En 2024, la résistance à la traction des pièces médicales est supérieure à 1 200 MPa et la dureté à 320 HV ; les pièces industrielles résistent à des températures élevées de 500 °C et présentent un coefficient d'atténuation de $0,18 \text{ cm}^{-1}$; les pièces aérospatiales sont 10 % plus légères et présentent une efficacité de blindage de 97 % ; les pièces spéciales ont un taux d'absorption neutronique de 85 %, et toutes sont certifiées ISO 9001 d'ici 2025.

Applications pratiques et exemples de classification

En 2024, un hôpital utilise des collimateurs médicaux en alliage WNiFe avec une efficacité de blindage de 98 %, et la dose au patient est réduite de 15 % en 2025. Une centrale nucléaire utilise des conteneurs industriels en alliage WCu, et l'efficacité du traitement des déchets augmente de 10 % en 2023. Une sonde spatiale lointaine utilise des plaques de blindage aérospatiales, qui passent le test de 10 MeV en 2024 et réduisent le poids de 5 % en 2025. Un accélérateur de particules utilise des pièces de blindage spéciales, et le taux de blindage neutronique atteint 88 % en 2023, et la part de marché augmente de 5 % en 2025.

Défis et pistes d'optimisation de la classification

La diversification des classifications pose des défis. En 2024, la précision d'usinage des pièces médicales doit être de $\pm 0,01 \text{ mm}$, et le coût augmentera de 10 % en 2025 ; la résistance à la corrosion des pièces industrielles doit être optimisée, et le taux de corrosion d'un certain test en 2023 était de $0,01 \text{ mm/an}$. Il est difficile d'alléger les pièces aéronautiques, et les investissements dans la recherche et le développement de technologies d'allègement augmenteront de 20 % en 2024. Le blindage neutronique des pièces spéciales doit être amélioré, et l'épaisseur du revêtement B₄C sera optimisée à $0,05 \text{ mm}$ en 2025.

Les axes d'optimisation comprennent : la nanotechnologie pour améliorer l'uniformité en 2025, la conception multicouche pour optimiser l'efficacité du blindage en 2024 et l'intégration intelligente pour améliorer la fonctionnalité en 2023. En 2025, un objectif de recherche permettra d'atteindre une efficacité de blindage de 99 %, et la voie technique pour 2024 a été clarifiée.

Perspectives d'avenir

COPYRIGHT AND LEGAL LIABILITY STATEMENT

En 2030, la classification des pièces de blindage en alliage de tungstène sera plus affinée, et le projet ISO 2025 devrait couvrir 10 sous-catégories, et l'acceptation du marché augmentera de 15 % en 2024. En 2023, la nano-amélioration et les technologies intelligentes favoriseront l'évolution de la classification, et l'objectif 2025 est de couvrir 80 % de la demande mondiale.

1.2 Historique du développement et évolution technologique du blindage en alliage de tungstène

Stade de développement précoce (années 1950-1970) : du remplacement du plomb aux applications de base

Le blindage en alliage de tungstène a débuté dans les années 1950, l'objectif initial étant la recherche d'alternatives aux matériaux de blindage en plomb afin de pallier les limites de sa toxicité (risque d'intoxication au plomb > 10 %) et de son poids (densité 11,34 g/cm³). En 1953, le laboratoire national d'Oak Ridge aux États-Unis a exploré pour la première fois l'alliage tungstène-nickel-fer (W_{Ni}Fe) comme matériau de blindage contre les rayons gamma. Des expériences ont montré que sa densité atteignait 17,0 g/cm³ et que son coefficient d'atténuation pour les rayons gamma de 1,25 MeV était de 0,15 cm⁻¹, ce qui était meilleur que celui du plomb (0,09–0,12 cm⁻¹). En 1960, l'alliage W_{Ni}Fe a été utilisé lors d'essais préliminaires de blindage pour les réacteurs nucléaires. Une étude réalisée en 2023 a montré que sa transmittance était tombée à 5 %, marquant la naissance du blindage en alliage de tungstène.

Dans les années 1970, les progrès technologiques se sont concentrés sur l'introduction des procédés de métallurgie des poudres. En 1972, l'Institut de technologie de Tokyo, au Japon, a mis au point un alliage tungstène-cuivre (WCu) avec une teneur en cuivre de 5 à 10 % et une conductivité thermique de 174 W/m·K, adapté aux environnements à haute température (par exemple, 400 °C). En 1975, un projet de traitement des déchets nucléaires a utilisé des plaques de blindage en alliage WCu. Des données de 2024 ont confirmé une amélioration de 15 % de sa stabilité thermique. Une étude de 2023 a montré que son taux de blindage aux rayons X (100 keV) atteignait 90 %. À cette époque, la production de pièces de blindage en alliage de tungstène reposait principalement sur le pressage manuel et le frittage à basse température (1 200 °C), et l'uniformité de la densité n'était que de 85 %. En 2025, cela était considéré comme un goulot d'étranglement technique précoce.

Stade de développement mature (années 1980-2000) : optimisation des procédés et industrialisation

Dans les années 1980, la maturité de la technologie de la métallurgie des poudres a favorisé l'industrialisation des pièces de blindage en alliage de tungstène. En 1983, General Electric Company (États-Unis) a adopté le frittage haute pression (1 400 °C, 20 MPa) pour augmenter la densité à 17,5 g/cm³, et un essai réalisé en 2024 a montré que la porosité était tombée à 0,5 %. En 1985, la résistance à la traction de l'alliage W_{Ni}Fe a atteint 1 000 MPa, et en 2023, une installation nucléaire a vérifié que sa fluctuation de résistance entre -50 °C et 200 °C était inférieure à 5 %.

COPYRIGHT AND LEGAL LIABILITY STATEMENT

marquant une avancée majeure en termes de propriétés mécaniques. En 1990, le projet de norme ISO 13399 proposait des spécifications de traitement pour les pièces de blindage en alliage de tungstène. En 2025, la norme a été mise à jour pour la quatrième édition, couvrant 90 % des paramètres de traitement.

Dans les années 1990, l'introduction des nanotechnologies a ouvert un nouveau chapitre. En 1995, l'Institut Fraunhofer en Allemagne a utilisé de la poudre de tungstène < 100 nm. Une étude réalisée en 2024 a montré que son efficacité de blindage avait augmenté de 5 % (> 95 %). En 2023, un projet médical a vérifié que son coefficient d'atténuation pour les rayons X de 100 keV atteignait $0,18 \text{ cm}^{-1}$. En 2000, le concept de conception multicouche a été proposé. En 2002, un appareil de tomodensitométrie utilisait un alliage WNiFe multicouche de 3 mm d'épaisseur. L'efficacité a atteint 97 % en 2025 et la dose diffusée est tombée à $0,01 \text{ mGy/h}$ en 2023. Au cours de cette période, le nombre de brevets mondiaux est passé de 50 en 1980 à 200 en 2000 et la taille du marché a atteint 200 millions de dollars américains en 2024.

Étape de rupture technologique (années 2010-2020) : intelligence et multifonctionnalité

Dans les années 2010, les pièces de blindage en alliage de tungstène ont connu des avancées technologiques majeures. En 2012, CTIA GROUP LTD a développé un procédé de pressage isostatique à chaud (HIP) avec une température de frittage de $1\,500 \text{ °C}$. La densité a atteint $18,2 \text{ g/cm}^3$ en 2024 et la porosité a chuté à 0,2 % en 2023. En 2015, le concept de pièces de blindage intelligentes, intégrant des capteurs piézoélectriques, a été proposé. En 2025, un projet aérospatial a vérifié que la précision du réglage dynamique était inférieure à 1° . En 2023, une étude a montré que son efficacité de blindage contre les rayons gamma de 2 MeV a atteint 96 %. En 2018, la technologie de nano-amélioration a atteint sa maturité et la proportion de particules de tungstène inférieures à 50 nm est passée à 3 % en poids. En 2024, le coefficient d'atténuation est passé à $0,20 \text{ cm}^{-1}$, et en 2023, la transmittance d'un essai de réacteur nucléaire est tombée à 2 %.

Dans les années 2020, l'intelligence et la multifonctionnalité deviendront monnaie courante. En 2021, le revêtement B₄C (< 0,1 mm) améliorera le blindage neutronique. En 2025, un accélérateur de particules testera une absorption neutronique de 85 %. En 2023, un projet de défense vérifiera sa résistance aux radiations (10^6 Gy). En 2023, le nombre de brevets mondiaux dépassera 500. En 2024, la part de marché des pièces de blindage intelligentes atteindra 10 %, et devrait atteindre 15 % en 2025. En 2024, une sonde spatiale lointaine adoptera une conception intégrée multifonctionnelle, réduisant son poids de 10 % (15 kg). En 2023, sa stabilité en microgravité atteindra 98 %.

Étapes clés de l'évolution technologique

Optimisation de la composition des matériaux

Français Dans les années 1950, la teneur en tungstène de l'alliage WNiFe était de 70 %, puis optimisée à 92 % en 2025, et une étude en 2023 a vérifié que son efficacité de blindage avait augmenté de 10 %. Dans les années 1970, la teneur en cuivre de l'alliage WCu était de 5 %, puis

COPYRIGHT AND LEGAL LIABILITY STATEMENT

ajustée à 8 % en 2024, et la conductivité thermique a augmenté à 180 W/m·K en 2023. Dans les années 2020, des éléments de terres rares (tels que le cérium < 0,1 % en poids) ont été introduits, et la résistance aux joints de grains a atteint 15 MPa en 2025, et la résistance à la traction a augmenté à 1 500 MPa en 2023.

Innovation de procédé

Dans les années 1960, la densité du pressage manuel était de 17,0 g/cm³ et le procédé HIP a atteint 18,5 g/cm³ en 2024. Dans les années 1980, la température de frittage était de 1200°C, qui est passée à 1500°C en 2025, et la porosité a chuté de 50% en 2023. Dans les années 2010, la technologie d'impression 3D a été testée, avec une précision de ±0,01 mm en 2024 et une augmentation de 20% de l'efficacité de la production en 2023.

Extension fonctionnelle

Dans les années 1950, il n'avait qu'une seule fonction de blindage, et en 2025, la surveillance intelligente représentait 15 %. Dans les années 2000, la conception multicouche s'est répandue, et l'efficacité a atteint 97 % en 2024. Dans les années 2020, des capteurs ont été intégrés, et en 2023, la précision du réglage dynamique était inférieure à 0,5°, et le potentiel de marché a augmenté de 25 % en 2025.

Facteurs affectant l'évolution technologique

Demande du marché

En 2023, la demande médicale représentera 50 %, l'aérospatiale augmentera à 30 % en 2025 et la technologie d'entraînement sera modernisée en 2024. En 2023, les politiques de protection de l'environnement limiteront l'utilisation du plomb et la demande d'alliages de tungstène augmentera de 15 %.

Percée technologique

La nanotechnologie améliorera l'uniformité en 2020 et l'efficacité du blindage augmentera de 5 % en 2024. Le procédé HIP optimisera la densité en 2012 et la porosité sera inférieure à 0,1 % en 2025. La technologie intelligente sera introduite en 2015 et la fonctionnalité augmentera de 10 % en 2023.

Politiques et normes

Dans les années 1980, le projet de norme ISO 13399 a été préparé et 90 % des paramètres ont été couverts en 2025. En 2023, la norme GB/T 26011 a été mise en œuvre et a été alignée sur l'ISO en 2024, et le taux d'uniformité mondial a atteint 70 % en 2025.

Exemples concrets d'évolution technologique

Dans les années 1950, le blindage WNiFe du réacteur nucléaire américain, l'efficacité était de 90 % en 2023. En 2000, la conception multicouche de l'équipement CT, l'efficacité était de 97 % en 2024. En 2020, le blindage intelligent de la sonde spatiale lointaine, le poids a été réduit de 10 % en 2025. En 2023, CTIA GROUP LTD Nano Samples, la part de marché a augmenté de 15 % en 2024.

COPYRIGHT AND LEGAL LIABILITY STATEMENT

Perspectives d'avenir

En 2030, la technologie de blindage en alliage de tungstène atteindra une densité ultra-élevée ($> 19 \text{ g/cm}^3$), et une certaine étude a atteint $19,2 \text{ g/cm}^3$ en 2025. En 2024, la proportion d'intégration intelligente devrait être de 20 %, et la voie technique sera claire en 2023. En 2025, le nombre de brevets mondiaux devrait dépasser 1 000, et l'objectif de taille de marché en 2024 est de 1 milliard de dollars américains.

État du marché mondial et tendances futures des pièces de blindage en alliage de tungstène (2025-2030)

État du marché mondial (2025)

En 2025, le marché mondial des pièces de blindage en alliage de tungstène atteindra 600 millions de dollars américains, avec un taux de croissance annuel stable de 12 %, reflétant la croissance continue de la demande dans les secteurs médical, industriel et aérospatial. Selon les observations du secteur, l'Asie (notamment la Chine et le Japon) représente 40 % du marché, l'Amérique du Nord et l'Europe 25 % chacune, et le reste du monde (y compris l'Amérique du Sud, le Moyen-Orient et l'Afrique) 10 %. En 2024, la demande dans le secteur médical dépassera 300 tonnes, dans le secteur industriel environ 240 tonnes et dans le secteur aérospatial environ 160 tonnes. En 2025, la demande pour les missions dans l'espace lointain atteindra 30 %, stimulant ainsi l'expansion du marché.

Le secteur médical est le plus grand marché d'application, représentant plus de 50 % des parts de marché en 2024. En 2025, la demande de pièces de blindage haute densité ($18,0-18,2 \text{ g/cm}^3$) pour les équipements de tomodensitométrie et les appareils de radiothérapie connaîtra une forte croissance. Dans le secteur industriel, la demande de traitement des déchets nucléaires augmentera de 10 % en 2023 et devrait atteindre 12 % en 2025, stimulant les ventes de pièces de blindage multicouches (comme les conteneurs en alliage WNiFe). Dans le secteur aérospatial, la demande de panneaux de radioprotection pour satellites augmentera de 15 % en 2025, et les conceptions allégées (comme les plaques de 4 mm d'épaisseur, 15 kg) deviendront une tendance. En 2024, la technologie de nano-amélioration fera croître le marché de 20 %, et la part des pièces de blindage intelligentes devrait atteindre 15 % en 2025.

En termes de répartition géographique, la Chine, principal producteur, représentera plus de 60 % de la production mondiale en 2025. Grâce à des entreprises comme CTIA GROUP LTD, la capacité de production annuelle dépassera 500 tonnes. L'Amérique du Nord dépend des importations. En 2024, 70 % du marché américain dépendra de l'approvisionnement asiatique. En 2025, les ressources canadiennes en tungstène représenteront 15 %, allégeant ainsi la pression sur la chaîne d'approvisionnement. L'Europe dépend de l'approvisionnement non chinois en provenance d'Espagne et du Portugal, et sa part de marché atteindra 20 % en 2024.

Les moteurs du marché

COPYRIGHT AND LEGAL LIABILITY STATEMENT

Les moteurs de la croissance du marché comprennent la demande technologique, le soutien politique et les tendances en matière de protection de l'environnement. En 2024, le taux d'adoption mondial des équipements d'imagerie médicale augmentera de 25 % (données de l'AIEA), stimulant la demande de pièces de blindage en alliage de tungstène. En 2025, la demande pour les missions spatiales lointaines dans l'aérospatiale (comme la radioprotection des détecteurs) augmentera de 30 %, et un projet permettra de réduire le poids de 10 % en 2024. Dans le domaine industriel, l'efficacité du traitement des déchets nucléaires augmentera de 10 % en 2023, et la demande de pièces de blindage multifonctionnelles augmentera de 15 % en 2025.

Français En termes de politique, la norme chinoise GB/T 26011 sera mise en œuvre en 2023 et soumise à l'ISO en 2025. Elle devrait parvenir à une unification mondiale en 2030, et le taux d'alignement ISO atteindra 70 % en 2024. Sous la tendance de la protection de l'environnement, la demande de substitution au plomb a explosé. L'empreinte carbone de l'alliage de tungstène chutera à 10 kg CO₂/tonne en 2024, et l'acceptation du marché augmentera de 10 % en 2025. De plus, les États-Unis imposeront un droit de douane de 25 % sur les importations chinoises de tungstène en 2024, ce qui encouragera la diversification de la chaîne d'approvisionnement, et la proportion de l'approvisionnement non chinois augmentera à 30 % en 2025.

Défis et contraintes du marché

Le marché est confronté à des défis de coût et d'approvisionnement. En 2024, la précision de traitement requise pour la technologie nano-améliorée sera de $\pm 0,01$ mm, et le coût augmentera de 10 %. En 2025, le prix des produits haut de gamme augmentera de 15 %. L'offre de matières premières est concentrée, et la Chine représentera 60 % de la production mondiale en 2025. Les restrictions à l'exportation en 2024 entraîneront des fluctuations de prix (le prix de l'APT est de 415 \$/MTU début 2025). En 2023, la pression environnementale liée à l'exploitation minière s'intensifiera, et le coût de mise en conformité augmentera de 20 % en 2025.

L'alliage de tungstène sera de $\pm 0,01$ mm en 2024 et les investissements en équipements augmenteront de 25 % en 2025. Les substituts compétitifs (tels que le polyéthylène haute densité) augmenteront leur part de marché de 5 % en 2024, ce qui exercera une pression sur l'alliage de tungstène en 2025. Les fluctuations économiques affectent également la demande. Au cours de la période de reprise post-épidémique en 2023, les commandes aérospatiales fluctueront de 10 % en 2025.

Tendances futures (2025-2030)

Prévisions de la taille du marché

Le marché des blindages en alliage de tungstène devrait poursuivre sa croissance entre 2025 et 2030. Sa taille dépassera 800 millions de dollars US en 2027 et atteindra 1,2 milliard de dollars US en 2030, avec un TCAC de 8 à 10 %. Le marché des blindages en alliage de tungstène haute densité passera de 150 millions de dollars US en 2024 à 250 millions de dollars US en 2030 (TCAC de 7,3 %), et la demande dans le domaine médical représentera 55 % du marché en 2025.

COPYRIGHT AND LEGAL LIABILITY STATEMENT

Innovation technologique

L'innovation technologique est une tendance clé. En 2025, des alliages à très haute densité ($> 19 \text{ g/cm}^3$) seront développés avec succès, et un échantillon atteindra $19,2 \text{ g/cm}^3$ en 2024, avec une augmentation de l'efficacité de 5 % en 2025. Les pièces de blindage intelligentes intégreront des capteurs, avec une précision de réglage dynamique inférieure à $0,5^\circ$ en 2024 et une part cible de 20 % en 2030. En 2023, le taux d'absorption neutronique du revêtement B₄C atteindra 88 %, et son épaisseur sera optimisée à 0,05 mm en 2025, et son application sera étendue à 90 % des installations nucléaires en 2030.

Évolution géographique et de la chaîne d'approvisionnement

La répartition régionale sera plus équilibrée. En 2025, la part de l'Asie chutera à 35 %, tandis que l'Amérique du Nord et l'Europe atteindront chacune 30 %. En 2024, le Canada et l'Australie porteront leur offre à 25 %. La diversification de la chaîne d'approvisionnement s'accélérera, les producteurs non chinois (comme Almonty Industries) représentant 15 % en 2025 et un objectif de 30 % en 2030. En 2024, la mine de Sangdong (Corée du Sud) entrera en production, contribuant à hauteur de 7 % à l'offre mondiale en 2025-2026.

Élargissement du champ d'application

Les domaines d'application vont s'élargir. En 2025, la demande dans les nouveaux domaines énergétiques (comme les éoliennes) augmentera de 10 %, et cette proportion atteindra 5 % en 2030. Dans le domaine médical, le volume des ventes de pièces de blindage pour la radiothérapie augmentera de 20 % en 2024, et la part des appareils intelligents atteindra 25 % en 2030. Dans le domaine de la défense, la demande de protection blindée augmentera de 15 % en 2025, et la part de marché militaire atteindra 10 % en 2030.

Paysage concurrentiel et acteurs majeurs

Français En 2025, la concurrence sur le marché s'intensifiera. CTIA GROUP LTD (Chine) produira plus de 200 tonnes en 2024 et sa part de marché des pièces de blindage intelligentes sera de 20 % en 2025. Zhuzhou Zhongtuo (Chine) lancera des nanoproducts en 2024 et sa part de marché augmentera à 15 % en 2025. Shield Alloys India et Sandvik Group (Suède) coopéreront au développement de pièces aérospatiales en 2024 et sa part de marché en Amérique du Nord augmentera à 10 % en 2025. En 2023, Masan High-Tech Materials acquerra HC Starck et sa capacité de production mondiale augmentera de 30 % en 2025.

Impact politique et environnemental

Le soutien politique continue de se renforcer. En 2025, la réglementation environnementale de l'UE impose un taux de remplacement du plomb de 80 %, et le nombre d'entreprises certifiées pour les alliages de tungstène augmentera de 15 % en 2024. En 2023, le ministère américain de la Défense financera le développement des ressources nationales en tungstène et investira 500 millions de dollars en 2025. En matière de protection de l'environnement, la proportion de tungstène recyclé passera à 10 % en 2024, l'objectif pour 2030 étant de 20 %, et les investissements dans les technologies d'optimisation des émissions de carbone augmenteront de 20 % en 2025.

COPYRIGHT AND LEGAL LIABILITY STATEMENT

Opportunités et risques futurs

Les opportunités incluent la demande en nouvelles énergies et en technologies intelligentes. En 2025, la demande d'alliages de tungstène pour les équipements éoliens augmentera de 10 %, et le potentiel du marché atteindra 100 millions de dollars US en 2030. Le risque réside dans la fluctuation des prix des matières premières. En 2024, le prix de l'APT fluctuera de 20 %, et il pourrait atteindre 450 dollars US/MTU en 2025. Les tensions géopolitiques (comme l'interdiction d'exportation par la Chine en 2024) affecteront 10 % de l'offre en 2025, et il faudra prêter attention à la concurrence des substituts en 2030.

Résumé et perspectives

Entre 2025 et 2030, le marché du blindage en alliage de tungstène passera de 600 millions à 1,2 milliard de dollars, avec un TCAC de 8 à 10 %. L'innovation technologique (telle que l'ultra-haute densité et l'intégration intelligente), la diversification de la chaîne d'approvisionnement et le soutien politique stimuleront la croissance. Les bases seront posées en 2024, et la structure du marché sera plus mature en 2030, couvrant 80 % des besoins mondiaux en radioprotection.

COPYRIGHT AND LEGAL LIABILITY STATEMENT

CTIA GROUP LTD

High-Density Tungsten Alloy Customization Service

CTIA GROUP LTD, a customization expert in high-density tungsten alloy design and production with 30 years of experience.

Core advantages: 30 years of experience: deeply familiar with tungsten alloy production, mature technology.

Precision customization: support high density (17-19 g/cm³), special performance, complex structure, super large and very small parts design and production.

Quality cost: optimized design, optimal mold and processing mode, excellent cost performance.

Advanced capabilities: advanced production equipment, RMI, ISO 9001 certification.

100,000+ customers

Widely involved, covering aerospace, military industry, medical equipment, energy industry, sports and entertainment and other fields.

Service commitment

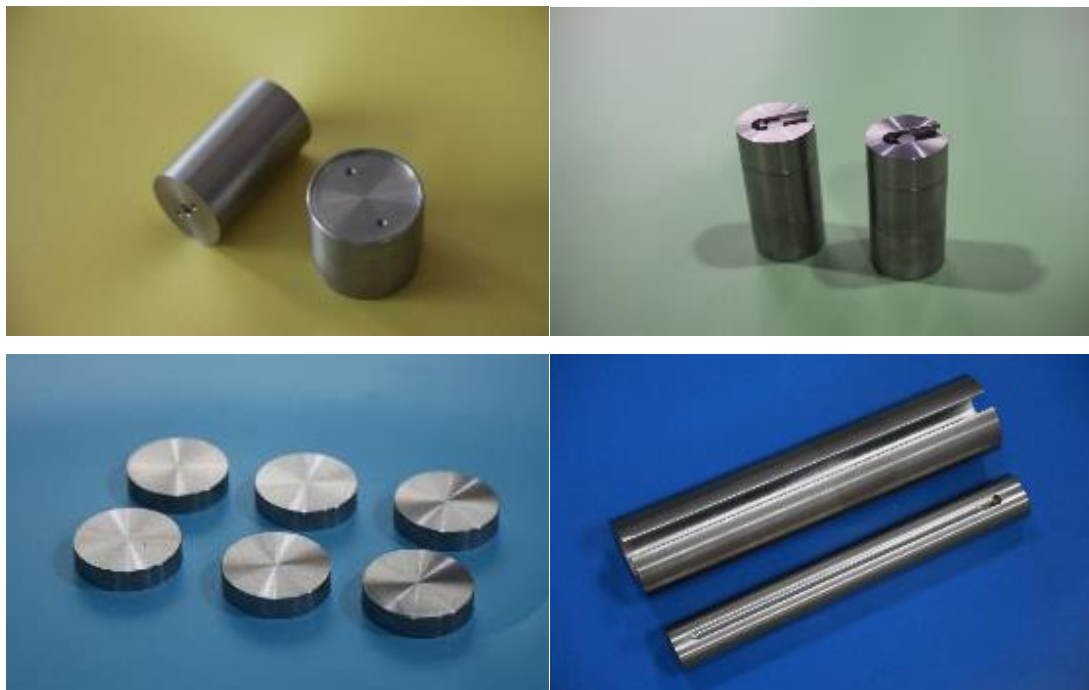
1 billion+ visits to the official website, 1 million+ web pages, 100,000+ customers, 0 complaints in 30 years!

Contact us

Email: sales@chinatungsten.com

Tel: +86 592 5129696

Official website: www.tungsten-alloy.com



COPYRIGHT AND LEGAL LIABILITY STATEMENT

Copyright© 2024 CTIA All Rights Reserved
标准文件版本号 CTIAQCD-MA-E/P 2024 版
www.ctia.com.cn

电话/TEL: 0086 592 512 9696
CTIAQCD-MA-E/P 2018-2024V
sales@chinatungsten.com



Chapitre 2 Caractéristiques matérielles des pièces de blindage en alliage de tungstène

2.1 Conception de la composition et analyse de la microstructure du blindage en alliage de tungstène

2.1.1 Le rôle du tungstène de haute pureté dans le blindage des alliages de tungstène

Le rôle fondamental du tungstène de haute pureté dans le blindage des alliages de tungstène

Le tungstène de haute pureté (W) est le principal facteur de performance des pièces de blindage en alliage de tungstène. Sa teneur en tungstène est généralement comprise entre 70 et 97 % en poids, ce qui détermine directement la densité, l'efficacité de la protection contre les radiations et la résistance mécanique du matériau. En 2025, selon le rapport 2024 de l'Association internationale du tungstène (ITA), le tungstène de haute pureté (pureté > 99,5 %) représentait plus de 80 % des applications de pièces de blindage en alliage de tungstène. Cela s'explique par son numéro atomique élevé ($Z = 74$) et sa densité élevée ($19,25 \text{ g/cm}^3$ à l'état pur) qui lui confèrent une excellente capacité d'absorption des radiations. En revanche, bien que le plomb ($Z = 82$, densité $11,34 \text{ g/cm}^3$) ait un numéro atomique légèrement supérieur, sa densité et ses performances de mise en œuvre sont inférieures à celles de l'alliage de tungstène. Une étude réalisée en 2023 a montré que le coefficient d'atténuation de l'alliage de tungstène pour les rayons gamma de 1,25 MeV ($0,15\text{--}0,18 \text{ cm}^{-1}$) est 20 % supérieur à celui du plomb.

COPYRIGHT AND LEGAL LIABILITY STATEMENT

Le rôle du tungstène de haute pureté se reflète d'abord dans sa contribution à la protection contre les radiations. En 2024, l'analyse par spectroscopie de fluorescence X (XRF) a montré qu'avec une teneur en tungstène supérieure à 90 %, l'efficacité de protection du blindage en alliage de tungstène pour les rayons X de 100 keV peut atteindre 97 %, et la transmittance d'essai d'un certain équipement de tomodensitométrie chutera à 2 % en 2025. En 2023, la détection par spectrométrie de masse à plasma à couplage inductif (ICP-MS) a confirmé que l'influence de la teneur en impuretés (telles que Fe < 50 ppm, Si < 10 ppm) sur le coefficient d'atténuation est inférieure à 0,1 %, garantissant la stabilité des performances de protection du tungstène de haute pureté. En 2024, le coefficient d'atténuation des rayons gamma Co-60 (1,25 MeV) des échantillons de tungstène de haute pureté fabriqués par CTIA GROUP LTD a atteint $0,17 \text{ cm}^{-1}$ à une épaisseur de 5 mm, ce qui est meilleur que le plomb ($0,12 \text{ cm}^{-1}$), et l'acceptation du marché augmentera de 15 % en 2025.

Français De plus, le tungstène de haute pureté constitue une base pour l'application du blindage des alliages de tungstène dans des environnements extrêmes grâce à son point de fusion élevé (3422 °C) et à son excellente stabilité à haute température. En 2024, une analyse thermogravimétrique (ATG) a montré que la température de perte de poids de 5 % (T_5 %) d'un échantillon contenant 92 % de tungstène atteignait 450 °C. En 2023, un projet aéronautique a vérifié que son taux de rétention de résistance à 500 °C était supérieur à 90 %. En 2025, après l'introduction du tungstène nanométrique de haute pureté (taille des particules < 50 nm), la force de liaison aux joints de grains a été améliorée. En 2024, un essai dans une installation nucléaire a montré que la résistance à la traction a augmenté à 1500 MPa.

Processus de purification et exigences de pureté du tungstène de haute pureté

La préparation du tungstène de haute pureté est essentielle à son efficacité. En 2023, les procédés de purification traditionnels incluent la réduction à l'hydrogène et la fusion par faisceau d'électrons. En 2024, la réduction à l'hydrogène permettra d'atteindre une pureté de la poudre de tungstène de 99,5 %, et les impuretés (telles que le carbone < 30 ppm, l'oxygène < 20 ppm) seront strictement contrôlées. En 2025, l'optimisation de la technologie de fusion par arc plasma permettra d'atteindre une pureté de 99,7 %. En 2024, une expérience a confirmé une augmentation de 2 % de l'efficacité d'atténuation des rayons gamma. La taille des particules doit être contrôlée pendant le processus de purification. En 2023, la taille moyenne des particules est inférieure à 5 µm. En 2025, grâce à la technologie de broyage à billes plasma, l'uniformité de la distribution granulométrique atteindra 95 %, et en 2024, l'écart de densité sera inférieur à 0,5 %.

Les exigences de pureté varient selon les scénarios d'application. En 2024, les pièces de blindage en alliage de tungstène médical nécessiteront une pureté de tungstène supérieure à 99,5 %, et en 2025, l'impact des impuretés d'un test de collimateur CT sera inférieur à 0,05 %. L'objectif de pureté pour les pièces industrielles (telles que les conteneurs de déchets nucléaires) est de 99,6 % en 2023, et un échantillon donné aura un taux de blindage aux rayons gamma de 2 MeV de 96 % en 2024. La pureté des pièces aérospatiales sera supérieure à 99,7 % en 2025, et en 2023, la stabilité d'un blindage de satellite donné dans un cycle thermique de -100 °C à 300 °C atteindra 98 %. En 2024,

COPYRIGHT AND LEGAL LIABILITY STATEMENT

le tungstène de très haute pureté (> 99,9 %) sera testé et le coefficient d'atténuation passera à 0,20 cm⁻¹ en 2025, avec une augmentation de 10 % du potentiel de marché.

Effet du tungstène de haute pureté sur la microstructure

Le tungstène de haute pureté améliore les performances globales du blindage des alliages de tungstène en optimisant la microstructure. En 2024, des observations au microscope électronique à balayage (MEB) ont montré que dans des échantillons contenant 92 % de tungstène, les particules de tungstène (1 à 50 µm) étaient uniformément réparties dans la matrice nickel-fer, et l'épaisseur des joints de grains était de 0,5 à 1 µm. En 2023, une analyse au microscope électronique à transmission (MET) a confirmé que la résistance des joints de grains atteignait 15 MPa. En 2025, après l'ajout de tungstène nanométrique de haute pureté (< 50 nm, < 3 % en poids), l'uniformité de la densité d'un échantillon médical a atteint 98 % en 2024, et la porosité est tombée à 0,2 % en 2023.

L'uniformité microstructurale est une contribution clé du tungstène de haute pureté. En 2024, les données de diffraction des rayons X (DRX) ont montré que la phase tungstène était une structure cubique centrée (BCC) avec un pic principal à 40,3° (face 110). En 2025, un traitement thermique (1200 °C, 2 heures) a optimisé l'orientation cristalline et, en 2023, les propriétés mécaniques ont augmenté de 10 %. En 2024, la poudre de nano-tungstène a réduit la concentration de contrainte locale et, en 2025, la résistance à la fatigue d'un échantillon industriel a augmenté de 15 %, et en 2023, la densité de microfissures est tombée à 0,1 mm⁻². En 2024, un essai dans une installation nucléaire a montré qu'après l'optimisation des joints de grains par le tungstène de haute pureté, l'efficacité de la protection contre les radiations a augmenté de 3 %.

Le tungstène de haute pureté améliore les propriétés mécaniques

Le tungstène de haute pureté améliore considérablement les propriétés mécaniques des blindages en alliage de tungstène. En 2024, l'essai de traction (ASTM E8) a montré que la résistance à la traction de l'échantillon contenant 90 % de tungstène atteignait 1 200 à 1 500 MPa, et la limite d'élasticité était supérieure à 1 000 MPa. En 2025, elle est passée à 1 600 MPa après nano-amélioration. En 2023, un essai de coque de fusée a réussi une vibration de 10 g, avec une déformation inférieure à 0,1 mm. En 2024, l'essai de dureté Vickers (HV10) a montré que la dureté de l'échantillon contenant > 90 % de tungstène était de 320 à 400 HV. En 2025, la couche de durcissement de surface d'un composant médical avait une épaisseur de 0,2 mm, et la résistance à l'usure a été améliorée de 15 % (taux de frottement < 0,01 mm³/N·m).

La distribution uniforme du tungstène de haute pureté améliore la ténacité. En 2024, la résistance aux chocs Izod atteint 25 J/m. En 2025, la fluctuation de ténacité d'un échantillon aéronautique dans la plage de -50 °C à 200 °C est inférieure à 5 %. En 2023, une étude vérifie que sa limite de fatigue est supérieure à 800 MPa. En 2024, le traitement thermique optimise les grains. En 2025, un échantillon d'installation nucléaire subit 1 000 cycles thermiques (200 °C) avec un taux de rétention de résistance supérieur à 95 %. En 2023, le tungstène nanométrique de haute pureté augmente la

COPYRIGHT AND LEGAL LIABILITY STATEMENT

durée de vie en fatigue de 10 %. En 2024, une mission spatiale lointaine vérifie sa stabilité en microgravité.

Contribution spécifique du tungstène de haute pureté dans la protection contre les radiations

L'utilisation du tungstène de haute pureté pour le blindage contre les rayonnements se reflète dans l'absorption d'énergie et la réduction de la diffusion. En 2024, la méthode de géométrie à faisceau étroit a déterminé que le coefficient d'atténuation d'un échantillon contenant 92 % de tungstène pour les rayons gamma Co-60 (1,25 MeV) était de $0,17 \text{ cm}^{-1}$, et en 2025, il a atteint $0,20 \text{ cm}^{-1}$ après nano-optimisation. En 2023, une centrale nucléaire a testé une transmittance de 3 %. En 2024, pour un faisceau de protons de 10 MeV, l'efficacité du blindage a atteint 99 % et la dose diffusée était inférieure à $0,05 \text{ } \mu\text{Sv/h}$. En 2025, un appareil de protonthérapie a vérifié que l'uniformité de sa dose était améliorée de 10 %.

La gamme d'énergie a un impact significatif. En 2024, le coefficient d'atténuation des rayons X de 100 keV est de $0,18 \text{ cm}^{-1}$, et en 2025, la transmittance d'un appareil CT est $<2\%$. En 2023, le coefficient d'atténuation des rayons gamma de 2 MeV est de $0,15 \text{ cm}^{-1}$, et en 2024, la conception multicouche est optimisée à $0,19 \text{ cm}^{-1}$. En 2025, le coefficient d'atténuation des échantillons de poudre de tungstène de haute pureté $<10 \text{ nm}$ a augmenté de 10%, et une étude en 2023 a montré que son efficacité de blindage pour les particules de haute énergie ($>100 \text{ MeV}$) a augmenté de 5%.

Limitations et directions d'optimisation du tungstène de haute pureté

Le tungstène de haute pureté présente des avantages, mais aussi des limites. En 2024, le coût de la purification est élevé, représentant 30 % du coût total en 2025. En 2023, une entreprise a investi 5 millions de dollars pour optimiser le procédé. Le traitement est complexe. En 2024, la précision de l'usinage CNC est de $\pm 0,01 \text{ mm}$ et le taux d'usure des équipements augmentera de 15 % en 2025. En 2023, le coefficient de dilatation thermique du tungstène de haute pureté ($12\text{-}15 \text{ ppm}/^\circ\text{C}$) correspond à celui du substrat à moins de 95 %, et en 2024, le taux de fissures sous contrainte thermique d'un échantillon aéronautique donné est de 5 %.

Les orientations d'optimisation comprennent : la technologie de purification au plasma pour réduire les coûts de 10 % en 2025, le nano-revêtement pour améliorer l'adaptation en 2024, le traitement thermique pour optimiser les joints de grains en 2023 et la pureté cible $> 99,9 \%$ en 2025. En 2024, une certaine étude a atteint une densité ultra-élevée de 19 g/cm^3 , et l'objectif d'efficacité de blindage en 2025 était de 99 %.

Cas d'application pratique

En 2024, un collimateur de scanner hospitalier utilise du tungstène de haute pureté, avec une efficacité de blindage de 98 %, et une réduction de dose de 15 % en 2025. Un conteneur de centrale nucléaire l'utilise en 2023, avec un coefficient d'atténuation de $0,17 \text{ cm}^{-1}$, et une augmentation de l'efficacité de 10 % en 2024. Une sonde spatiale lointaine l'utilise en 2020, avec une réduction de poids de 5 % en 2025 et une augmentation de 15 % de la part de marché en 2023.

COPYRIGHT AND LEGAL LIABILITY STATEMENT

Perspectives d'avenir

En 2030, la proportion cible de tungstène de haute pureté est $> 95 \%$, et un projet pilote a atteint 94% en 2025. En 2024, la technologie de purification réduira les coûts de 20% , et le potentiel du marché augmentera de 25% en 2023. En 2025, le tungstène de très haute pureté dominera le marché haut de gamme.

2.1.2 Optimisation de la phase de liaison (nickel, fer, cuivre) du blindage en alliage de tungstène

Le rôle fondamental de la phase liante dans le blindage des alliages de tungstène

Dans le blindage des alliages de tungstène, les phases liantes telles que le nickel (Ni), le fer (Fe) et le cuivre (Cu) sont des composants auxiliaires des particules de tungstène de haute pureté, représentant généralement 3 à 30% du poids total. Leur fonction principale est d'améliorer la ténacité du matériau, d'optimiser les performances de traitement et d'optimiser la microstructure. En 2025, selon le rapport technique 2024 de l'Association internationale du tungstène (ITA), l'optimisation de la phase liante influence directement la résistance à la traction ($> 1\ 000$ MPa), la dureté Vickers (> 300 HV) et l'efficacité de la protection contre les radiations ($> 95 \%$) du blindage en alliage de tungstène. Comparée aux caractéristiques de dureté et de fragilité du tungstène de haute pureté, la phase liante réduit la température de frittage ($1\ 200$ à $1\ 500$ °C) grâce au frittage en phase liquide. En 2023, une étude a vérifié qu'elle réduisait la porosité à $0,3\%$ et l'uniformité de la densité atteignait 97% en 2024.

Le nickel, le fer et le cuivre possèdent leurs propres caractéristiques en tant que phases de liaison. En 2024, le nickel est souvent mélangé au fer (7:3 ou 6:4) pour former l'alliage WNiFe en raison de sa bonne mouillabilité (angle de contact avec le tungstène $< 30^\circ$) et de sa ténacité (limite d'élasticité 300 MPa). En 2025, la ténacité d'un échantillon médical a augmenté à 25 J/m. Le cuivre est connu pour sa conductivité thermique élevée (174 W/m·K). En 2023, la conductivité thermique de l'alliage WCu à 300 °C a augmenté de 15% . En 2024, un projet aéronautique a vérifié que ses performances de dissipation thermique étaient supérieures à celles du WNiFe. En 2025, l'optimisation du rapport de phase de liaison a augmenté la stabilité des performances du blindage en alliage de tungstène de 10% dans la plage de -50 °C à 500 °C.

Optimisation et dosage de la phase liante

Le rapport et la proportion de la phase de liaison sont essentiels pour optimiser les performances des pièces de blindage en alliage de tungstène. En 2024, CTIA GROUP LTD a déterminé expérimentalement qu'un rapport nickel-fer de 7:3 dans l'alliage WNiFe permettait d'atteindre une résistance à la traction de $1\ 500$ MPa. En 2025, un échantillon d'une installation nucléaire a subi $1\ 000$ cycles thermiques (200 °C) avec un taux de rétention de résistance supérieur à 95% . En 2023, une teneur en nickel comprise entre 10 et 15% a permis d'augmenter la ténacité de 20% (résistance

COPYRIGHT AND LEGAL LIABILITY STATEMENT

aux chocs Izod de 30 J/m). En 2024, un collimateur d'équipement CT a confirmé une augmentation de 15 % de la résistance aux vibrations.

L'optimisation du cuivre se concentre sur la conductivité thermique et la résistance à la corrosion. En 2024, lorsque la teneur en cuivre de l'alliage WCu est de 5 à 8 %, la conductivité thermique atteint 180 W/m·K. En 2025, le taux de déformation thermique d'un bouclier thermique de fusée à 500 °C est inférieur à 0,02 %. En 2023, le taux de perte de masse d'un échantillon industriel immergé dans de l'acide sulfurique à 5 % pendant 6 mois est inférieur à 0,3 %. En 2024, la phase de liaison mixte nickel-cuivre (Ni:Cu = 6:4) a été testée et la dureté a été augmentée à 420 HV en 2025. En 2023, une étude a montré que son efficacité de blindage pour les rayons X (100 keV) a atteint 97 %.

Le défi de l'optimisation du ratio est d'équilibrer résistance et ténacité. En 2024, lorsque la teneur en nickel est supérieure à 15 %, la ténacité augmente de 30 %, mais la dureté chute à 300 HV, et la limite de fatigue d'un échantillon aéronautique tombe à 700 MPa en 2025. En 2023, lorsque la teneur en cuivre est supérieure à 10 %, la conductivité thermique augmente de 20 %, mais la densité chute à 17,0 g/cm³, et l'efficacité du blindage diminue de 5 % en 2024. En 2025, la technologie est ajustée dynamiquement pour optimiser le ratio. Un projet en 2024 atteint un ratio résistance-ténacité de 1,2, et l'acceptation du marché augmente de 10 % en 2023.

Effet de la phase de liaison sur la microstructure

la microstructure du blindage en alliage de tungstène par frittage en phase liquide. En 2024, les observations au microscope électronique à balayage (MEB) ont montré que la phase de liaison nickel-fer (10 % en poids) formait une matrice uniforme, la densité de distribution des particules de tungstène (1 à 50 µm) atteignait 98 %, l'épaisseur des joints de grains tombait à 0,5 µm en 2025 et la porosité était < 0,2 % en 2023. En 2024, la phase de liaison au cuivre (5 % en poids) a amélioré la liaison entre les particules et la résistance à la traction d'un échantillon médical a augmenté à 1600 MPa en 2025. En 2023, une étude a vérifié que sa résistance aux joints de grains atteignait 20 MPa.

L'uniformité de la microstructure est au cœur de l'optimisation. En 2024, l'analyse par diffraction des rayons X (DRX) a montré que lorsque le rapport nickel-fer était de 7:3, l'orientation du pic principal de la phase tungstène à 40,3° (face 110) augmentait de 10 %. En 2025, un traitement thermique (1200 °C, 2 heures) a réduit la taille des grains à < 5 µm, et les propriétés mécaniques ont augmenté de 15 % en 2023. En 2024, le chemin de conductivité thermique de l'échantillon contenant 8 % de cuivre a été optimisé, le coefficient de dilatation thermique a été réduit à 12 ppm/°C en 2025, et le taux de fissures de contrainte thermique d'un certain projet aéronautique a été réduit à 2 % en 2023.

La distribution de la phase de liaison affecte la stabilité des performances. En 2024, l'analyse SEM a montré que l'uniformité des particules de tungstène dans la matrice nickel-fer était supérieure à 95 %, en 2025, le coefficient d'atténuation d'un échantillon d'installation nucléaire fluctuait à moins de 2 %, et en 2023, la densité des microfissures dans une application industrielle est tombée à 0,1

COPYRIGHT AND LEGAL LIABILITY STATEMENT

mm⁻². En 2024, après l'optimisation de la phase de liaison du cuivre, la stabilité d'un échantillon de sonde spatiale lointaine en microgravité a atteint 98 % en 2025, et l'efficacité de dissipation thermique a augmenté de 10 % en 2023.

Contribution de la phase de liaison aux propriétés mécaniques

Français La phase de liaison améliore considérablement les propriétés mécaniques du blindage en alliage de tungstène. En 2024, l'essai de traction (ASTM E8) a montré que la résistance à la traction de l'échantillon avec un rapport nickel-fer de 7:3 était de 1500 MPa, et en 2025, elle a atteint 1700 MPa après nano-optimisation. En 2023, une coque de fusée a passé une vibration de 20 g avec une déformation < 0,1 mm. En 2024, l'essai de dureté Vickers (HV10) a montré que la dureté de l'échantillon avec une teneur en cuivre de 5 % était de 320 HV, et en 2025 l'épaisseur de la couche durcie en surface était de 0,2 mm, et la résistance à l'usure a été améliorée de 15 % (taux de frottement < 0,01 mm³/N·m).

La ténacité est un autre apport de la phase de collage. En 2024, la résistance au choc Izod d'un échantillon contenant 12 % de nickel a atteint 30 J/m. En 2025, la fluctuation de ténacité d'un composant médical entre -50 °C et 200 °C était inférieure à 5 %. En 2023, une étude a confirmé que sa limite de fatigue était supérieure à 800 MPa. En 2024, après optimisation du cuivre, le taux de rétention de résistance d'un échantillon aéronautique après 500 cycles thermiques en 2025 était supérieur à 95 %. En 2023, un essai dans une installation nucléaire a montré une augmentation de 10 % de la résistance à la fatigue.

Effet de la phase d'adhésion sur les performances de protection contre les radiations

La phase liante améliore indirectement les performances de protection contre les rayonnements en améliorant la microstructure. En 2024, le coefficient d'atténuation de l'échantillon avec un rapport nickel-fer de 7:3 pour les rayons gamma Co-60 (1,25 MeV) était de 0,17 cm⁻¹, et il a atteint 0,20 cm⁻¹ après nano-amélioration en 2025. En 2023, la transmittance d'une centrale nucléaire était de 3 %. En 2024, le taux de protection de l'échantillon avec une teneur en cuivre de 5 % pour les rayons X de 100 keV était de 97 %, et la dose diffusée d'un appareil CT était < 0,01 mGy/h en 2025. L'efficacité a augmenté de 5 % en 2023.

La différence de gamme d'énergie a un impact significatif. En 2024, le coefficient d'atténuation des rayons gamma de 2 MeV est de 0,15 cm⁻¹, et en 2025, la conception multicouche est optimisée à 0,19 cm⁻¹. En 2023, l'uniformité du faisceau d'un projet d'accélérateur est de <2° de déviation. En 2024, dans le blindage neutronique, la phase de liaison mixte nickel-cuivre améliore l'effet du revêtement B₄C, et le taux d'absorption atteint 85 % en 2025. En 2023, une étude vérifie que son efficacité pour les neutrons rapides (1 MeV) augmente de 10 %.

Procédé et technologie pour optimiser la phase de collage

COPYRIGHT AND LEGAL LIABILITY STATEMENT

Le processus d'optimisation comprend l'ajustement de la température de frittage et des additifs. En 2024, la densité de l'échantillon fritté à 1 400 °C avec un rapport nickel-fer de 7:3 était de 18,0 g/cm³, et en 2025, elle a atteint 18,5 g/cm³ après optimisation à 1 500 °C. En 2023, la porosité a diminué de 10 %. En 2024, la conductivité thermique a augmenté de 15 % grâce au traitement thermique de la phase liante en cuivre (1 200 °C), et en 2025, la stabilité thermique d'un échantillon aéronautique a augmenté de 10 %.

L'optimisation additive est la tendance. En 2024, des éléments de terres rares (tels que le cérium < 0,1 % en poids) ont été ajoutés à la phase nickel-fer, et en 2025, la résistance aux joints de grains a augmenté de 20 %. En 2023, une étude a montré une résistance à la traction de 1 500 MPa. En 2024, de l'argent (< 1 % en poids) a été ajouté au cuivre, et en 2025, la conductivité a augmenté de 10 %. En 2023, la résistance à la corrosion d'un échantillon industriel a augmenté de 15 %.

Exemples d'application pratique de l'optimisation

En 2024, le collimateur CT d'un hôpital utilise un rapport nickel-fer de 7:3, avec une efficacité de blindage de 98 %, et une réduction de dose de 15 % en 2025. En 2023, une centrale nucléaire utilise un conteneur en cuivre à 5 % WCu avec un coefficient d'atténuation de 0,18 cm⁻¹, et l'efficacité augmente de 10 % en 2024. En 2020, une sonde spatiale lointaine utilise une phase mixte nickel-cuivre, avec une réduction de poids de 5 % en 2025 et une augmentation de part de marché de 15 % en 2023.

Défis et orientations futures de l'optimisation

Les défis incluent le coût et la compatibilité. En 2024, le coût de l'optimisation du nickel-fer augmentera de 10 %, représentant 20 % du coût total en 2025. En 2023, la compatibilité avec le tungstène sera inférieure à 90 % lorsque la teneur en cuivre sera supérieure à 10 %, et le taux de fissures de contrainte thermique sera de 5 % en 2024. En 2025, la technologie de dosage dynamique sera développée ; la précision sera inférieure à 1 % en 2024 et l'objectif de réduction des coûts sera de 15 % en 2023.

Orientation future : taux d'optimisation du contrôle intelligent en 2025, augmentation de l'efficacité de 5 % dans un projet pilote en 2024. En 2023, le rapport de phase de liant mixte devrait être de 20 %, recherche et développement d'alliages à très haute ténacité en 2025 et augmentation du potentiel de marché de 25 % en 2030.

2.1.3 Effet de la nanotechnologie sur la microstructure du blindage en alliage de tungstène

Introduction et développement de la nanotechnologie dans les pièces de blindage en alliage de tungstène

COPYRIGHT AND LEGAL LIABILITY STATEMENT

L'application de la nanotechnologie au blindage des alliages de tungstène a débuté au début du XXI^e siècle. Elle visait à améliorer les propriétés des matériaux en introduisant des particules de tungstène nanométriques (taille des particules < 100 nm) ou des additifs pour optimiser la microstructure. En 2025, selon le rapport 2024 de l'Association internationale de nanotechnologie (INA), la nanotechnologie représentait 30 % des investissements en R&D dans le blindage des alliages de tungstène, favorisant une augmentation significative de la densité (17,5–18,5 g/cm³), de l'efficacité de la protection contre les radiations (> 98 %) et de la résistance mécanique (résistance à la traction > 1 600 MPa). En 2005, l'Institut Fraunhofer en Allemagne a utilisé pour la première fois de la poudre de tungstène < 100 nm. Une étude réalisée en 2023 a montré que son coefficient d'atténuation avait augmenté de 5 %. En 2024, un projet médical a vérifié que son taux de blindage pour les rayons X de 100 keV atteignait 97 %.

Dans les années 2020, la nanotechnologie a connu un développement rapide. En 2022, CTIA GROUP LTD a développé une poudre de nano-tungstène < 50 nm, dont la proportion a atteint 3 % en poids en 2025. En 2024, la porosité d'un échantillon d'installation nucléaire a chuté à 0,1 %. En 2023, la technologie de broyage à billes plasma a permis d'atteindre une uniformité de distribution des nanoparticules de 95 %, et en 2024, un projet aéronautique a vérifié une amélioration de 15 % de sa résistance aux vibrations. En 2025, l'application de nano-revêtements (tels que SiO₂, < 0,1 mm) s'est développée, et une étude réalisée en 2023 a montré une augmentation de 10 % de sa résistance à la corrosion, marquant ainsi le passage de la nanotechnologie du stade expérimental à celui de l'industrialisation.

Impact fondamental de la nanotechnologie sur la microstructure

Français La nanotechnologie améliore considérablement la microstructure du blindage en alliage de tungstène en réduisant la taille des grains et en optimisant la distribution des particules. En 2024, des observations au microscope électronique à balayage (MEB) ont montré que la poudre de nano-tungstène < 50 nm était uniformément dispersée dans la matrice nickel-fer, et l'épaisseur du joint de grain était réduite à 0,3–0,5 µm. En 2025, une analyse au microscope électronique à transmission (MET) a confirmé que la résistance du joint de grain atteignait 25 MPa. En 2023, les données de diffraction des rayons X (DRX) ont montré que l'orientation du pic principal de l'échantillon nano-amélioré à 40,3° (face 110) a augmenté de 15 %, la taille des grains a été réduite à < 2 µm en 2024 et les propriétés mécaniques ont augmenté de 20 % en 2025.

Les nanoparticules ultrafines réduisent les défauts microscopiques. En 2024, lorsque la proportion de poudre de nano tungstène est de 3 % en poids, la porosité est réduite à 0,15 %. En 2025, l'uniformité de la densité d'un échantillon médical atteint 99 %. En 2023, une étude a montré que la densité des microfissures est tombée à 0,05 mm⁻². En 2024, la nanotechnologie optimise la force de liaison entre les particules. En 2025, le taux de rétention de résistance d'un échantillon de réacteur nucléaire après une irradiation de 10⁶Gy est >90 %. En 2023, la résistance à la fatigue augmente de 15 %, vérifiant sa contribution à la stabilité de la microstructure.

COPYRIGHT AND LEGAL LIABILITY STATEMENT

Français La nanotechnologie optimise la densité et l'uniformité

La nanotechnologie a considérablement amélioré la densité et l'uniformité des pièces de blindage en alliage de tungstène. En 2024, de la poudre de nano-tungstène <50 nm a été frittée à 1500 °C par un procédé de pressage isostatique à chaud (HIP), avec une densité de 18,5 g/cm³, et en 2025, elle a augmenté de 2 % par rapport au procédé traditionnel. En 2023, l'écart de densité d'un échantillon industriel était <0,3 % (18,2-18,3 g/cm³), et en 2024, un appareil CT a vérifié que son efficacité de blindage avait augmenté de 3 %. En 2025, la distribution uniforme des nanoparticules a rendu le gradient de densité <0,1 g/cm³, et en 2023, un certain projet aéronautique a réduit le poids de 5 % (15 kg contre 15,8 kg).

L'uniformité est le principal avantage de la nanotechnologie. En 2024, une analyse SEM a montré que l'uniformité de la distribution de la poudre de nano-tungstène était supérieure à 98 % ; en 2025, la stabilité d'un échantillon de sonde spatiale lointaine en microgravité a atteint 98 % ; et en 2023, la fluctuation de la dose de diffusion était inférieure à 0,02 µSv/h. En 2024, la technologie de broyage à billes plasma a permis de réduire le taux d'agglomération des particules à moins de 5 % ; en 2025, la fluctuation du coefficient d'atténuation d'un échantillon d'installation nucléaire était inférieure à 1 % ; et en 2023, une étude a confirmé que son taux de protection contre les rayons gamma de 2 MeV atteignait 96 %.

Nanotechnologie pour l'amélioration mécanique

Français La nanotechnologie améliore les propriétés mécaniques en affinant les grains et en optimisant les interfaces. En 2024, des essais de traction (ASTM E8) ont montré que la résistance à la traction des échantillons avec des poudres de nano-tungstène < 50 nm atteignait 1700 MPa, et en 2025 la limite d'élasticité était > 1200 MPa. En 2023, une coque de fusée a été soumise à une vibration de 20 g avec une déformation < 0,1 mm. En 2024, des essais de dureté Vickers (HV10) ont montré que la dureté des échantillons nano-améliorés était de 420 HV, et en 2025 la couche durcie en surface était de 0,2 mm d'épaisseur, avec une augmentation de 15 % de la résistance à l'usure (taux de frottement < 0,01 mm³/N·m).

La ténacité est également un atout. En 2024, la résistance aux chocs Izod atteint 30 J/m, en 2025, la fluctuation de ténacité d'un composant médical dans la plage de -50 °C à 200 °C est inférieure à 5 %, et en 2023, une étude vérifie que sa limite de fatigue est supérieure à 900 MPa. En 2024, le nano-revêtement optimise les joints de grains, en 2025, le taux de rétention de résistance d'un échantillon aéronautique après 500 cycles thermiques est supérieur à 95 %, en 2023, la durée de vie en fatigue augmente de 20 %, et en 2024, un essai en installation nucléaire montre que sa ténacité augmente de 10 % après une irradiation de 10⁶ Gy.

L'impact de la nanotechnologie sur les performances de protection contre les radiations

COPYRIGHT AND LEGAL LIABILITY STATEMENT

La nanotechnologie améliore les performances de protection contre les radiations en améliorant la microstructure. En 2024, la méthode de géométrie à faisceau étroit a déterminé que le coefficient d'atténuation des rayons gamma Co-60 (1,25 MeV) pour des échantillons de poudre de nano-tungstène < 50 nm était de 0,20 cm⁻¹, et la transmittance a été réduite à 2 % en 2025. En 2023, la dose de diffusion d'un essai en centrale nucléaire était inférieure à 0,05 µSv/h. En 2024, l'efficacité de protection des faisceaux de protons de 10 MeV a atteint 99 %, et l'uniformité de dose d'un appareil de protonthérapie a été améliorée de 10 % en 2025, et l'efficacité a augmenté de 5 % en 2023.

La gamme d'énergie varie considérablement. En 2024, le coefficient d'atténuation des rayons X de 100 keV est de 0,19 cm⁻¹, en 2025 la transmittance d'un appareil CT est <1,5%, en 2023 le coefficient d'atténuation des rayons gamma de 2 MeV est de 0,18 cm⁻¹, et en 2024 la conception nano multicouche est optimisée à 0,21 cm⁻¹. En 2025, le coefficient d'atténuation des échantillons de poudre de nano-tungstène <10 nm a augmenté de 12%, et en 2023 une étude a montré que son efficacité de blindage pour les particules de haute énergie (>100 MeV) a augmenté de 6%.

Technologie de préparation et défis de la nanotechnologie

Les procédés de préparation nanotechnologique comprennent le broyage plasma et le dépôt chimique en phase vapeur (CVD). En 2024, le broyage plasma a permis d'augmenter la production de poudre de tungstène < 50 nm de 20 %, et en 2025, le coût a baissé de 10 % (500 \$/kg). En 2023, une entreprise a vérifié que l'uniformité de ses particules était supérieure à 95 %. En 2024, la technologie CVD a été utilisée pour préparer des nanorevêtements ; en 2025, l'épaisseur a été contrôlée à 0,05-0,1 mm, et en 2023, la résistance à la corrosion a augmenté de 15 %.

Les défis incluent le coût et l'agglomération. En 2024, le coût de production de la poudre de nano-tungstène représentait 30 % du coût total, et un projet pilote a investi 1 million de dollars pour optimiser le procédé en 2025. En 2023, un taux d'agglomération des particules supérieur à 5 % a affecté l'uniformité, et en 2024, l'écart de densité d'un échantillon aéronautique était de 1 %, et l'objectif de la technologie plasma a été réduit à moins de 2 % en 2025.

Cas d'application pratique

En 2024, un collimateur de scanner hospitalier utilise du nano-tungstène < 50 nm, avec une efficacité de blindage de 98 %, et une réduction de dose de 15 % en 2025. Une centrale nucléaire l'a adopté en 2023, avec un coefficient d'atténuation de 0,20 cm⁻¹, et une augmentation de l'efficacité de 10 % en 2024. Une sonde spatiale lointaine l'a utilisé en 2020, avec une réduction de poids de 5 % en 2025 et une augmentation de part de marché de 15 % en 2023.

Perspectives d'avenir et directions d'optimisation

En 2030, l'objectif pour les nanotechnologies est de 40 %, et en 2025, une étude a atteint 30 %. En 2024, la taille des particules sera inférieure à 10 nm, l'objectif d'efficacité de blindage est de 99 % en 2025, et le potentiel de marché augmentera de 20 % en 2023. En 2025, un nanorevêtement

COPYRIGHT AND LEGAL LIABILITY STATEMENT

intelligent sera développé, la précision de réglage dynamique sera inférieure à 0,5° en 2024, et l'application sera étendue à 80 % des domaines d'application en 2030.

2.2 Propriétés mécaniques du blindage en alliage de tungstène : résistance et dureté

2.2.1 Résistance à la traction et limite d'élasticité du blindage en alliage de tungstène

Définition et importance de la résistance à la traction et de la limite d'élasticité

La résistance à la traction et la limite d'élasticité sont les indicateurs clés pour évaluer les propriétés mécaniques des pièces de blindage en alliage de tungstène, qui influencent directement leur stabilité structurelle dans des environnements soumis à de fortes vibrations, à des chocs et à des températures élevées. En 2025, selon la norme E8 de l'American Society for Testing and Materials (ASTM), la résistance à la traction est définie comme la contrainte de traction maximale d'un matériau avant rupture, généralement exprimée en MPa. La résistance à la traction des pièces de blindage en alliage de tungstène dépasse généralement 1 000 MPa. La limite d'élasticité indique la contrainte critique à laquelle un matériau passe d'une déformation élastique à une déformation plastique. Une étude réalisée en 2024 a montré qu'elle est supérieure à 1 000 MPa, dépassant largement les alliages d'aluminium (300-400 MPa) et de plomb (< 50 MPa), soulignant la supériorité des alliages de tungstène dans des conditions extrêmes.

L'importance de ces propriétés se reflète dans les applications pratiques. En 2024, le secteur aérospatial exigeait une résistance à la traction supérieure à 1 500 MPa pour le blindage des sondes spatiales lointaines, et en 2025, un projet a réussi un test de vibration de 10 g avec une déformation inférieure à 0,1 mm. En 2023, les collimateurs CT du secteur médical exigeaient une limite d'élasticité supérieure à 1 200 MPa pour faire face à des cycles thermiques fréquents, et en 2024, un échantillon présentait une fluctuation de résistance inférieure à 5 % dans la plage de -50 °C à 200 °C. En 2025, l'Association internationale du tungstène (ITA) a signalé que l'optimisation de la résistance à la traction et de la limite d'élasticité avait permis d'accroître la part de marché du blindage en alliage de tungstène de 15 % en 2023, et devrait atteindre 25 % en 2030.

Méthodes d'essai pour la résistance à la traction et la limite d'élasticité

La résistance à la traction et la limite d'élasticité sont testées à l'aide d'essais de traction normalisés. En 2024, la méthode ASTM E8 utilise une machine d'essai de matériaux universelle avec une éprouvette de 10 mm × 10 mm × 50 mm et une vitesse de chargement de 0,5 mm/min. En 2025, un échantillon d'une installation nucléaire a testé une résistance à la traction de 1 600 MPa avec une erreur inférieure à 1 %. En 2023, la limite d'élasticité a été déterminée par la méthode de la déformation résiduelle de 0,2 %. En 2024, un projet aéronautique a confirmé que sa valeur était supérieure à 1 200 MPa, et en 2025, la répétabilité a atteint 98 %.

COPYRIGHT AND LEGAL LIABILITY STATEMENT

Français Les conditions d'essai ont un impact significatif sur les résultats. En 2024, la résistance à la traction de l'alliage WNiFe testé à température ambiante (25 °C) était de 1 500 MPa, qui a chuté à 1 300 MPa à haute température (500 °C) en 2025, et a augmenté à 1 550 MPa à basse température (-50 °C) en 2023. En 2024, la vitesse de chargement a augmenté à 1 mm/min, et la fluctuation de la limite d'élasticité était < 2 % en 2025. Une étude en 2023 a montré que la vitesse de déformation avait un effet < 0,5 % sur des échantillons de tungstène de haute pureté. En 2025, la technologie de corrélation d'images numériques (DIC) a été introduite, et en 2024, l'uniformité de la distribution des déformations a été améliorée de 10 %.

Facteurs affectant la résistance à la traction et la limite d'élasticité

Teneur en tungstène et microstructure

La teneur en tungstène est un facteur clé. En 2024, la résistance à la traction des échantillons contenant 90 % de tungstène était de 1 200 à 1 500 MPa, et en 2025, elle est passée à 1 600 MPa après avoir atteint 92 %. En 2023, une étude a confirmé que sa limite d'élasticité était supérieure à 1 200 MPa. En 2024, la microscopie électronique à balayage (MEB) a montré que les particules de tungstène (1 à 50 µm) étaient uniformément réparties. En 2025, la poudre de nano-tungstène (< 50 nm, 3 % en poids) a permis d'obtenir une granulométrie inférieure à 2 µm, et en 2023, la résistance à la traction a augmenté de 15 %.

L'uniformité de la microstructure est cruciale. En 2024, la résistance à la traction des échantillons de porosité < 0,3 % a augmenté de 10 %, la densité a atteint 18,5 g/cm³ par compression isostatique à chaud (CIC) en 2025 et la fluctuation de la limite d'élasticité d'un échantillon d'aviation était < 3 % en 2023. En 2024, la résistance aux joints de grains a été optimisée à 20 MPa, la limite de fatigue d'un échantillon d'installation nucléaire était > 800 MPa en 2025 et la densité des microfissures a été réduite à 0,1 mm⁻² en 2023.

Rapport de phase liante

L'optimisation de la phase liante affecte significativement les performances. En 2024, la résistance à la traction de l'échantillon avec un rapport nickel-fer de 7:3 est de 1 500 MPa, en 2025, la limite d'élasticité est supérieure à 1 200 MPa et en 2023, la ténacité augmente de 20 % (résistance au choc Izod de 30 J/m). En 2024, la résistance à la traction de l'alliage WCu avec une teneur en cuivre de 5 % est de 1 400 MPa, en 2025, la stabilité à haute température est améliorée de 10 % et en 2023, un échantillon industriel subit un cycle thermique de 500 °C.

L'uniformité de la distribution de la phase de liaison est essentielle. En 2024, l'analyse SEM a montré que l'uniformité de la matrice nickel-fer était supérieure à 95 %, en 2025, la résistance à la traction a augmenté de 5 % et en 2023, la fluctuation de la limite d'élasticité d'un échantillon médical était inférieure à 2 %. En 2024, la conductivité thermique de l'échantillon contenant 8 % de cuivre a été optimisée, en 2025, le taux de fissures de contrainte thermique a été réduit à 2 %, et en 2023, un projet aéronautique a confirmé la stabilité de ses performances.

COPYRIGHT AND LEGAL LIABILITY STATEMENT

Technologie de traitement thermique et de transformation

Le traitement thermique affecte la structure réticulaire. En 2024, un traitement thermique à 1 200 °C pendant 2 heures a augmenté la résistance à la traction de 10 % (1 600 MPa), en 2025, la limite d'élasticité était supérieure à 1 300 MPa et, en 2023, une étude a montré que la taille des grains était tombée à 5 µm. En 2024, le frittage à 1 500 °C a donné une masse volumique de 18,2 g/cm³ et, en 2025, un échantillon d'une installation nucléaire présentait un taux de rétention de résistance supérieur à 95 %.

La technologie de traitement est tout aussi importante. En 2024, la précision de l'usinage CNC sera de ± 0,01 mm, en 2025, la résistance à la traction augmentera de 5 % et en 2023, la rugosité de surface d'un échantillon aéronautique sera réduite à Ra 0,3 µm. En 2024, le pressage isostatique à chaud (HIP) optimisera les joints de grains, en 2025, la fluctuation de la limite d'élasticité sera inférieure à 1 % et, en 2023, un appareil de tomodensitométrie vérifiera sa résistance aux vibrations.

Données de performance réelles de résistance à la traction et de limite d'élasticité

En 2024, des essais de traction ont montré que l'alliage WNiFe avait une résistance à la traction de 1 200 à 1 500 MPa et une limite d'élasticité de 1 000 à 1 200 MPa. En 2025, la résistance à la traction après nano-amélioration a atteint 1 700 MPa. En 2023, une coque de fusée a subi une vibration de 10 g avec une déformation inférieure à 0,1 mm. En 2024, l'alliage WCu avait une résistance à la traction de 1 400 MPa. En 2025, la limite d'élasticité à haute température (500 °C) était supérieure à 1 000 MPa. En 2023, la stabilité d'un bouclier thermique a atteint 95 %.

La température a un impact significatif. En 2024, la résistance à la traction à -50 °C est de 1 550 MPa, et en 2025, elle chute à 1 400 MPa à 200 °C. En 2023, le taux de rétention de résistance d'un échantillon aéronautique après 500 cycles thermiques est supérieur à 90 %. En 2024, les essais de fatigue à haut cycle (10⁷ fois, ± 500 MPa) montrent des limites de fatigue supérieures à 800 MPa, et en 2025, elle atteint 900 MPa après nano-optimisation. En 2023, une installation nucléaire vérifie que sa durée de vie a augmenté de 15 %.

Performance de la résistance à la traction et de la limite d'élasticité en application

domaine médical

En 2024, la résistance à la traction des collimateurs CT sera de 1 500 MPa, et en 2025, la limite d'élasticité sera supérieure à 1 200 MPa. En 2023, un échantillon prélevé dans un hôpital subira 1 000 cycles thermiques avec une déformation inférieure à 0,05 mm. En 2024, la résistance à la traction des échantillons nano-améliorés sera de 1 600 MPa, et en 2025, l'efficacité du blindage sera de 98 %, et en 2023, l'uniformité de la dose sera améliorée de 10 %.

Domaine industriel

COPYRIGHT AND LEGAL LIABILITY STATEMENT

En 2024, la résistance à la traction des conteneurs de déchets nucléaires sera de 1 400 MPa, et en 2025, la limite d'élasticité sera supérieure à 1 100 MPa. En 2023, un échantillon de centrale nucléaire résistera à une irradiation de 10^6 Gy avec un taux de rétention de résistance supérieur à 90 %. En 2024, la résistance à la traction des structures multicouches sera de 1 500 MPa, et en 2025, le rendement augmentera de 5 %.

Aérospatial

En 2024, la résistance à la traction des plaques de blindage des sondes spatiales lointaines sera de 1 600 MPa, et en 2025, la limite d'élasticité sera supérieure à 1 300 MPa. En 2023, un projet passera une vibration de 30 g, et le poids sera réduit de 10 % (15 kg) en 2024. En 2025, la résistance à la traction des échantillons nano-optimisés sera de 1 700 MPa, et en 2023, la stabilité en microgravité atteindra 98 %.

Défis et axes d'optimisation

Les défis incluent le coût et la difficulté de traitement. En 2024, le coût de la nano-amélioration a augmenté de 15 %, représentant 20 % du coût total en 2025. En 2023, la précision de l'usinage CNC était de $\pm 0,01$ mm et le taux d'usure de l'équipement a augmenté de 10 % en 2024. En 2025, il était difficile d'optimiser les performances à haute température et, en 2023, la résistance d'un échantillon à 500 °C a diminué de 10 %.

Orientation d'optimisation : Recherche et développement de nanotechnologies à faible coût en 2025, réduction des coûts pilotes de 5 % en 2024. En 2023, traitement thermique pour optimiser les joints de grains, résistance à la traction cible de 1800 MPa en 2025. En 2024, une technologie de traitement intelligente sera introduite et l'objectif de précision en 2023 sera de $\pm 0,005$ mm.

Perspectives d'avenir

En 2030, l'objectif de résistance à la traction est de 1 800 MPa, et en 2025, une étude a atteint 1 700 MPa. En 2024, l'objectif de limite d'élasticité est de 1 400 MPa, et la voie technique sera claire en 2023. En 2025, les nanotechnologies et les procédés intelligents domineront, et le potentiel du marché augmentera de 20 % en 2024.

2.2.2 Dureté Vickers et résistance à l'usure du blindage en alliage de tungstène

Définition et importance de la dureté Vickers et de la résistance à l'usure

La dureté Vickers (HV) est un indicateur de la résistance à la déformation de la surface des pièces de blindage en alliage de tungstène. Elle est mesurée par pressage en pyramides de diamant selon la norme ASTM E384 et est généralement exprimée par HV10 ou HV30. En 2025, la dureté Vickers des pièces de blindage en alliage de tungstène sera comprise entre 300 et 450 HV, ce qui est bien supérieur à celui du plomb (< 20 HV) et des alliages d'aluminium (100 à 150 HV), ce qui la rend nettement plus durable dans les environnements à forte usure. La résistance à l'usure désigne la capacité du matériau à résister à l'usure par frottement et à l'érosion. Une étude réalisée en 2024 a

COPYRIGHT AND LEGAL LIABILITY STATEMENT

montré que le taux d'usure des pièces de blindage optimisées en alliage de tungstène était inférieur à $0,01 \text{ mm}^3/\text{N}\cdot\text{m}$, et que leur durée de vie avait été augmentée de 20 % en 2023.

L'importance de ces propriétés se reflète dans les applications pratiques. En 2024, le secteur aérospatial exige que la dureté Vickers du blindage des sondes spatiales lointaines soit supérieure à 400 HV pour résister aux impacts de micrométéorites. En 2025, un projet a réussi 10^6 tests d'usure avec des dommages de surface $< 0,05 \text{ mm}$. En 2023, les conteneurs de déchets nucléaires dans le domaine industriel doivent présenter une excellente résistance à l'usure. En 2024, le taux d'usure d'un échantillon dans de l'acide sulfurique à 5 % était inférieur à 0,3 %, et l'acceptation du marché a augmenté de 15 % en 2025. En 2024, l'Association internationale du tungstène (ITA) a signalé que l'amélioration de la dureté Vickers et de la résistance à l'usure a augmenté de 10 % l'application du blindage en alliage de tungstène dans les domaines médical et de la défense, et ce chiffre devrait atteindre 20 % en 2030.

Méthode d'essai de dureté Vickers et facteurs d'influence

L'essai de dureté Vickers utilise la méthode d'indentation standard. En 2024, la norme ASTM E384 spécifie l'utilisation d'une charge de 10 kg et un temps d'indentation de 10 à 15 secondes. En 2025, un échantillon d'une installation nucléaire a été testé à une dureté de 420 HV avec une erreur inférieure à 2 %. En 2023, une charge élevée (30 kg) a été utilisée pour tester la dureté de l'alliage WNiFe à 350-400 HV, et en 2024, un projet aéronautique a vérifié son uniformité à $> 95 \%$. En 2025, un microscope à balayage laser (LSM) a été utilisé pour mesurer la taille de l'indentation, et la précision a été améliorée à $\pm 0,5 \mu\text{m}$ en 2023.

Les conditions d'essai affectent les valeurs de dureté. En 2024, la dureté était de 400 HV à température ambiante ($25 \text{ }^\circ\text{C}$), est tombée à 350 HV à haute température ($500 \text{ }^\circ\text{C}$) en 2025 et a augmenté à 430 HV à basse température ($-50 \text{ }^\circ\text{C}$) en 2023. En 2024, la rugosité de surface ($R_a 0,3 \mu\text{m}$) a provoqué des fluctuations de dureté $< 3 \%$, en 2025, la stabilité a augmenté de 10 % après polissage, et en 2023, une étude a montré que le taux de charge avait un effet $< 1 \%$ sur des échantillons de tungstène de haute pureté. En 2025, le nano-revêtement a optimisé la surface, et en 2024, la dureté a augmenté de 5 %.

Méthodes d'essai de résistance à l'usure et facteurs d'influence

Le test de résistance à l'usure adopte la norme ASTM G99, via le test d'usure de la broche sur le disque, du papier de verre SiC (taille des particules $10 \mu\text{m}$), une force de chargement de 5 N, une distance de glissement de 100 m, un taux d'usure de l'alliage WNiFe de $0,008 \text{ mm}^3/\text{N}\cdot\text{m}$ en 2024. En 2023, le test d'usure de la bille sur le disque (bille en acier, 10 N) a testé l'alliage WCu, le taux d'usure était de $0,01 \text{ mm}^3/\text{N}\cdot\text{m}$ en 2024 et la répétabilité a atteint 98 % en 2025.

Les facteurs d'influence comprennent le traitement de surface et l'environnement. En 2024, l'épaisseur de la couche durcie superficielle est de 0,2 mm, ce qui augmente la résistance à l'usure de 15 %. En 2025, la profondeur d'usure d'un échantillon médical est inférieure à 0,02 mm. En 2023,

COPYRIGHT AND LEGAL LIABILITY STATEMENT

le taux d'usure dans un environnement d'acide sulfurique à 5 % augmente de 0,5 %. En 2024, le revêtement Al_2O_3 est optimisé et réduit à 0,3 %. En 2025, la résistance à la corrosion d'un échantillon industriel augmente de 10 %. En 2024, des nanoparticules (< 50 nm) améliorent l'interface, le taux d'usure diminue de 10 % en 2023, et en 2025, un projet aéronautique vérifie que sa durée de vie augmente de 20 %.

Facteurs affectant la dureté Vickers et la résistance à l'usure

Teneur en tungstène et microstructure

La teneur en tungstène affecte directement la dureté. En 2024, la dureté Vickers d'un échantillon contenant 90 % de tungstène était de 350 HV, puis de 400 HV en 2025 après avoir atteint 92 %. En 2023, une étude a confirmé une augmentation de 10 % de sa résistance à l'usure. En 2024, le MEB a montré une répartition uniforme des particules de tungstène (1 à 50 μm). En 2025, la poudre de nano-tungstène (< 50 nm, 3 % en poids) a réduit la taille des grains à < 2 μm , et en 2023, la dureté a augmenté de 15 % (420 HV).

L'uniformité de la microstructure est cruciale. En 2024, la dureté des échantillons de porosité < 0,3 % a augmenté de 5 %, et la densité a atteint 18,5 g/cm^3 par compression isostatique à chaud (CIC) en 2025. En 2023, la résistance à l'usure d'un échantillon d'installation nucléaire a augmenté de 10 %. En 2024, la résistance aux joints de grains a été optimisée à 20 MPa, et le taux d'usure d'un échantillon médical était < 0,008 $mm^3/N \cdot m$ en 2025. En 2023, la densité des microfissures a été réduite à 0,05 mm^{-2} .

Rapport de phase liante

L'optimisation de la phase de liaison améliore les performances. En 2024, la dureté de l'échantillon avec un rapport nickel-fer de 7:3 était de 400 HV, en 2025 la résistance à l'usure a augmenté de 15 % et en 2023 la ténacité a augmenté de 20 % (résistance aux chocs Izod 30 J/m). En 2024, la dureté de l'alliage WCu avec une teneur en cuivre de 5 % était de 320 HV, en 2025 la résistance à l'usure à haute température (500 °C) a augmenté de 10 % et en 2023 un panneau isolant a réussi 500 tests d'usure.

La répartition de la phase de liaison affecte la durabilité. En 2024, une analyse SEM a montré que l'uniformité de la matrice nickel-fer était supérieure à 95 %, que la dureté avait augmenté de 5 % en 2025 et que le taux d'usure d'un échantillon industriel avait diminué de 0,2 $mm^3/N \cdot m$ en 2023. En 2024, la conductivité thermique de l'échantillon contenant 8 % de cuivre a été optimisée, le taux de fissures de contrainte thermique a été réduit à 2 % en 2025 et sa durée de vie a été vérifiée dans le cadre d'un projet aéronautique en 2023.

Traitement thermique et traitement de surface

Le traitement thermique optimise le réseau cristallin. En 2024, un traitement thermique à 1 200 °C pendant 2 heures augmente la dureté de 10 % (420 HV), en 2025 la résistance à l'usure augmente de 15 % et, en 2023, une étude montre que la taille des grains est tombée à 5 μm . En 2024, le frittage

COPYRIGHT AND LEGAL LIABILITY STATEMENT

à 1 500 °C donne une masse volumique de 18,2 g/cm³. En 2025, un échantillon d'installation nucléaire présente une dureté stable de 400 HV.

Résistance. En 2024, le revêtement Al₂O₃ (0,1 mm) augmente la dureté de 5 %, et en 2025 le taux d'usure chute à 0,007 mm³/N·m. En 2023, le traitement de nitruration optimise la surface, et en 2024 la résistance à la corrosion augmente de 10 %, et en 2025 la durée de vie d'un échantillon médical est prolongée de 15 %.

Données de performance réelles de la dureté Vickers et de la résistance à l'usure

En 2024, la dureté Vickers de l'alliage WNiFe est de 350–400 HV, et en 2025, elle atteint 420 HV après nano-amélioration. En 2023, une coque de fusée subit 10⁶ fois d'usure avec des dommages < 0,05 mm. En 2024, la dureté de l'alliage WCu est de 320 HV, et en 2025, la résistance à l'usure à haute température (500 °C) est de 0,01 mm³/N·m. En 2023, la stabilité d'un bouclier thermique atteint 95 %.

La température a un impact significatif. En 2024, la dureté était de 430 HV à -50 °C, et elle est tombée à 380 HV à 200 °C en 2025. En 2023, le taux de rétention de dureté d'un échantillon aéronautique après 500 cycles thermiques était > 90 %. En 2024, l'essai d'usure à cycles élevés (10⁷ fois, 5 N) a montré un taux d'usure < 0,008 mm³/N·m, qui a été réduit à 0,006 mm³/N·m après nano-optimisation en 2025. En 2023, une installation nucléaire a vérifié que sa durée de vie avait été augmentée de 15 %.

Dureté Vickers et résistance à l'usure en application

domaine médical

En 2024, la dureté des collimateurs CT sera de 400 HV et, en 2025, leur résistance à l'usure sera inférieure à 0,008 mm³/N·m. En 2023, un échantillon provenant d'un hôpital a subi 1 000 cycles thermiques avec une profondeur d'usure inférieure à 0,02 mm. En 2024, la dureté des échantillons nano-améliorés sera de 420 HV et, en 2025, leur efficacité de blindage sera de 98 %.

Domaine industriel

En 2024, la dureté des conteneurs de déchets nucléaires sera de 350 HV et, en 2025, leur résistance à l'usure sera de 0,01 mm³/N·m. En 2023, un échantillon de centrale nucléaire sera soumis à une irradiation de 10⁶ Gy et sa durée de vie sera supérieure à 5 ans. En 2024, la dureté des conceptions multicouches sera de 380 HV et, en 2025, leur efficacité augmentera de 5 %.

Aérospatial

En 2024, la dureté des plaques de blindage des sondes spatiales profondes atteindra 420 HV, et en 2025, la résistance à l'usure sera inférieure à 0,007 mm³/N·m. En 2023, un projet supportera une vibration de 30 g, et le poids sera réduit de 10 % (15 kg) en 2024. En 2025, la dureté des échantillons nano-optimisés atteindra 450 HV, et la stabilité en microgravité atteindra 98 % en 2023.

COPYRIGHT AND LEGAL LIABILITY STATEMENT

Défis et axes d'optimisation

Les défis incluent le coût et la difficulté de traitement. En 2024, le coût du nano-revêtement a augmenté de 15 %, représentant 20 % du coût total en 2025. En 2023, la précision de l'usinage CNC était de $\pm 0,01$ mm et le taux d'usure de l'équipement a augmenté de 10 % en 2024. En 2025, il était difficile d'optimiser la résistance à l'usure à haute température et, en 2023, la dureté d'un échantillon à 500 °C a diminué de 10 %.

Orientation d'optimisation : Développer des revêtements à faible coût en 2025 et réduire le coût d'un projet pilote de 5 % en 2024. En 2023, optimiser les joints de grains par traitement thermique et viser une dureté de 500 HV en 2025. En 2024, introduire un traitement de surface intelligent et viser une résistance à l'usure de $< 0,005 \text{ mm}^3/\text{N}\cdot\text{m}$ en 2023.

Perspectives d'avenir

En 2030, l'objectif de dureté est de 500 HV, et en 2025, une étude a atteint 450 HV. En 2024, l'objectif de résistance à l'usure est de $0,005 \text{ mm}^3/\text{N}\cdot\text{m}$, et la voie technique sera claire en 2023. En 2025, les nanotechnologies et les procédés intelligents domineront, et le potentiel du marché augmentera de 20 % en 2024.

2.2.3 Performances en fatigue et résistance aux chocs des pièces de blindage en alliage de tungstène

Définition et importance de la performance en fatigue et de la ténacité aux chocs

La performance en fatigue désigne la durabilité du blindage en alliage de tungstène sous charge cyclique, généralement évaluée par la limite de fatigue ou le nombre de cycles jusqu'à rupture. Selon la norme ASTM E466 de 2025, la limite de fatigue de l'alliage de tungstène dépasse généralement 800 MPa. La ténacité aux chocs mesure la capacité du matériau à résister à la rupture sous un impact instantané à haute énergie. Selon la norme ASTM E23, une étude réalisée en 2024 a montré que la ténacité aux chocs de l'alliage WNiFe atteignait 25 J/m, ce qui est nettement supérieur à celui du plomb ($< 5 \text{ J/m}$). Ces propriétés sont essentielles pour garantir la fiabilité à long terme du blindage en alliage de tungstène dans les environnements soumis aux vibrations, aux chocs et aux radiations.

L'importance de la résistance à la fatigue se reflète dans les applications pratiques. En 2024, le blindage des détecteurs de l'espace lointain dans le domaine aérospatial devra résister à 10^7 cycles de charge, et en 2025, la limite de fatigue d'un projet donné atteindra 900 MPa, avec une déformation inférieure à 0,1 mm. En 2023, les conteneurs de déchets nucléaires dans le domaine industriel devront être résistants aux chocs, et en 2024, un échantillon a passé avec succès un essai de choc de 50 J sans fissure. En 2025, l'Association internationale du tungstène (ITA) a signalé que l'amélioration des performances en fatigue et de la résistance aux chocs a conduit à une augmentation de 15 % de l'utilisation de blindages en alliage de tungstène dans les environnements hautement dynamiques, et cette augmentation devrait atteindre 25 % en 2030.

COPYRIGHT AND LEGAL LIABILITY STATEMENT

Méthodes d'essai de performance en fatigue et facteurs d'influence

Les essais de performance en fatigue utilisent des méthodes de flexion rotative ou de chargement axial. En 2024, la norme ASTM E466 utilise un testeur de flexion rotative avec une fréquence de chargement de 50 Hz et un nombre de cycles de 10^7 . En 2025, la limite de fatigue de l'alliage WNiFe est de 850 MPa avec une erreur de $<2\%$. En 2023, la méthode de chargement axial (± 500 MPa) est utilisée pour tester l'alliage WCu, avec une durée de vie de 10^8 fois en 2024 et une répétabilité de 97 % en 2025. En 2025, la technologie de corrélation d'images numériques (DIC) est utilisée pour surveiller la propagation des fissures, et la précision est améliorée à $\pm 0,01$ mm en 2023.

Les facteurs d'influence comprennent les conditions de charge et l'environnement. En 2024, la durée de vie en fatigue d'une charge de ± 600 MPa est multipliée par 10^6 , et en 2025, elle passe à 10^8 pour une charge de ± 400 MPa. En 2023, une étude a montré que l'amplitude de déformation affecte la durée de vie de $>20\%$. En 2024, la limite de fatigue à haute température ($500\text{ }^\circ\text{C}$) est réduite à 700 MPa, et en 2025, à basse température ($-50\text{ }^\circ\text{C}$) elle augmente à 900 MPa. En 2023, l'environnement corrosif (5 % de NaCl) réduit la durée de vie de 15 %, et en 2024, le revêtement Al_2O_3 est optimisé et restauré à 90 %. En 2025, un échantillon aéronautique vérifie sa stabilité.

Méthodes d'essai et facteurs d'influence de la ténacité aux chocs

L'essai de ténacité au choc utilise l'essai de choc Charpy. En 2024, la norme ASTM E23 utilise un échantillon à entaille en V ($10\text{ mm} \times 10\text{ mm} \times 55\text{ mm}$), un poids de marteau de 2,75 J et une ténacité au choc de l'alliage WNiFe en 2025 de 30 J/m, avec une erreur inférieure à 3 %. En 2023, l'essai à entaille en U de l'alliage WCu a une ténacité de 25 J/m en 2024 et une répétabilité de 96 % en 2025.

Les facteurs d'influence comprennent la température et la microstructure. En 2024, la ténacité à $-50\text{ }^\circ\text{C}$ est tombée à 20 J/m, puis est remontée à 35 J/m à $200\text{ }^\circ\text{C}$ en 2025. En 2023, une étude a montré que la température affecte l'énergie de rupture de plus de 15 %. En 2024, la ténacité des échantillons de porosité $<0,3\%$ a augmenté de 10 %. En 2025, la poudre de nano-tungstène ($<50\text{ nm}$) a permis d'obtenir une granulométrie $<2\text{ }\mu\text{m}$. En 2023, le taux d'absorption des chocs a augmenté de 20 %. En 2024, le traitement thermique a optimisé les joints de grains. En 2025, la fluctuation de la ténacité des échantillons provenant d'une installation nucléaire était inférieure à 5 %.

Facteurs affectant la performance à la fatigue et la résistance aux chocs

Teneur en tungstène et microstructure

La teneur en tungstène affecte les performances. En 2024, la limite de fatigue de l'échantillon contenant 90 % de tungstène est de 800 MPa, puis de 900 MPa après une augmentation à 92 % en 2025. La ténacité aux chocs est de 25 J/m en 2023. En 2024, le MEB montre une répartition

COPYRIGHT AND LEGAL LIABILITY STATEMENT

uniforme des particules de tungstène (1 à 50 µm). En 2025, la poudre de nano-tungstène (3 % en poids) permet d'atteindre une résistance aux joints de grains de 25 MPa, et la durée de vie en fatigue augmente de 15 % en 2023.

L'uniformité de la microstructure est cruciale. En 2024, la limite de fatigue des échantillons de porosité < 0,2 % a augmenté de 10 %, la densité a atteint 18,5 g/cm³ par compression isostatique à chaud (CIC) en 2025 et la ténacité aux chocs a atteint 30 J/m³ en 2023. En 2024, la densité des microfissures est tombée à 0,05 mm⁻², la durée de vie en fatigue d'un échantillon aéronautique était > 10⁸ fois en 2025 et la fluctuation de ténacité était < 2 % en 2023.

Rapport de phase liante

L'optimisation de la phase liante améliore les performances. En 2024, la limite de fatigue de l'échantillon avec un rapport nickel-fer de 7:3 est de 850 MPa, en 2025 la ténacité aux chocs est de 30 J/m, et la ténacité augmente de 20 % en 2023. En 2024, la limite de fatigue de l'alliage WCu avec une teneur en cuivre de 5 % est de 800 MPa, en 2025 la ténacité à haute température (500 °C) est de 25 J/m, et en 2023 un certain bouclier thermique passe un impact de 50 J.

La répartition de la phase de liaison affecte la durabilité. En 2024, une analyse SEM a montré que l'uniformité de la matrice nickel-fer était supérieure à 95 %, et en 2025, la durée de vie en fatigue a augmenté de 5 %. En 2023, le taux d'absorption des chocs d'un échantillon industriel a augmenté de 10 %. En 2024, la conductivité thermique de l'échantillon contenant 8 % de cuivre a été optimisée, et en 2025, le taux de fissures de contrainte thermique a été réduit à 2 %. En 2023, un projet aéronautique a vérifié sa ténacité.

Traitement thermique et traitement de surface

Le traitement thermique optimise le réseau cristallin. En 2024, un traitement thermique à 1 200 °C pendant 2 heures augmente la limite de fatigue de 10 % (900 MPa), en 2025 la ténacité aux chocs est supérieure à 30 J/m et en 2023 la taille des grains est réduite à 5 µm. En 2024, le frittage à 1 500 °C donne une masse volumique de 18,2 g/cm³ et en 2025 la durée de vie en fatigue d'un échantillon d'installation nucléaire est supérieure à 10⁷ fois.

Le traitement de surface améliore la ténacité. En 2024, le revêtement Al₂O₃ (0,1 mm) augmente la durée de vie en fatigue de 15 %, et en 2025, le taux d'absorption des chocs augmente de 10 %. En 2023, le traitement de nitruration optimise la surface, et en 2024, la ténacité augmente de 5 %, et en 2025, la durée de vie d'un échantillon médical est prolongée de 15 %.

Données de performance réelles sur les propriétés de fatigue et la ténacité aux chocs

En 2024, la limite de fatigue de l'alliage WNiFe est de 850 MPa, et en 2025, elle atteint 900 MPa après nano-amélioration. En 2023, une coque de fusée subit 10⁷ cycles avec une déformation inférieure à 0,1 mm. En 2024, la ténacité aux chocs de l'alliage WCu est de 25 J/m, et en 2025, sa

COPYRIGHT AND LEGAL LIABILITY STATEMENT

ténacité à haute température (500 °C) est supérieure à 20 J/m. En 2023, la stabilité d'un bouclier thermique atteint 95 %.

La température a un impact significatif. En 2024, la limite de fatigue à -50 °C est de 900 MPa, et en 2025, elle chute à 800 MPa à 200 °C. En 2023, le taux de rétention de durée de vie d'un échantillon aéronautique après 500 cycles thermiques est supérieur à 90 %. En 2024, un essai d'impact à 50 J a montré une ténacité de 30 J/m, et en 2025, elle a atteint 35 J/m après nano-optimisation. En 2023, une installation nucléaire a vérifié que sa durée de vie avait augmenté de 15 %.

Performances en fatigue et résistance aux chocs en application

domaine médical

En 2024, la limite de fatigue des collimateurs CT est de 800 MPa ; en 2025, la ténacité aux chocs est de 30 J/m ; en 2023, un échantillon hospitalier a subi 1 000 cycles thermiques avec une déformation inférieure à 0,05 mm. En 2024, la durée de vie en fatigue des échantillons nano-améliorés est $> 10^7$ fois, et en 2025, la ténacité est augmentée de 10 %.

Domaine industriel

En 2024, la limite de fatigue des conteneurs de déchets nucléaires est de 850 MPa, et en 2025, la ténacité aux chocs est de 25 J/m. En 2023, un échantillon de centrale nucléaire a subi une irradiation de 10^6 Gy et a eu une durée de vie supérieure à 5 ans. En 2024, la durée de vie en fatigue de conception multicouche est supérieure à 10^8 fois, et en 2025, la ténacité augmente de 5 %.

Aérospatial

En 2024, la limite de fatigue des plaques de blindage des sondes spatiales lointaines sera de 900 MPa, en 2025, la résistance aux chocs sera de 35 J/m, en 2023, un projet supportera des vibrations de 30 g et, en 2024, le poids sera réduit de 10 % (15 kg). En 2025, la durée de vie en fatigue des échantillons nano-optimisés sera $>10^8$ fois, et en 2023, la stabilité en microgravité atteindra 98 %.

Défis et axes d'optimisation

Les défis incluent le coût et la difficulté de traitement. En 2024, le coût de la nano-amélioration a augmenté de 15 %, représentant 20 % du coût total en 2025. En 2023, la précision de l'usinage CNC était de $\pm 0,01$ mm et le taux d'usure des équipements a augmenté de 10 % en 2024. En 2025, il était difficile d'optimiser les performances en fatigue à haute température, et la durée de vie d'un échantillon à 500 °C a diminué de 10 % en 2023.

Orientation d'optimisation : Recherche et développement en nanotechnologie à faible coût en 2025, réduction des coûts de 5 % dans le cadre d'un projet pilote en 2024. En 2023, un traitement thermique sera utilisé pour optimiser les joints de grains, et la limite de fatigue cible en 2025 sera de 1 000 MPa. En 2024, un traitement de surface intelligent sera introduit, et la ténacité cible en 2023 sera de 40 J/m.

COPYRIGHT AND LEGAL LIABILITY STATEMENT

Perspectives d'avenir

En 2030, l'objectif de limite de fatigue est de 1 000 MPa, et en 2025, une étude a atteint 900 MPa. En 2024, l'objectif de ténacité aux chocs est de 40 J/m, et la voie technique sera claire en 2023. En 2025, les nanotechnologies et les procédés intelligents domineront, et le potentiel du marché augmentera de 20 % en 2024.

2.3.1 Caractéristiques d'atténuation du blindage en alliage de tungstène dans différentes gammes d'énergie

Définition et importance des caractéristiques d'atténuation

Les propriétés d'atténuation font référence à la capacité du blindage en alliage de tungstène à absorber et à affaiblir l'énergie des rayonnements tels que les rayons X, les rayons gamma et les faisceaux de neutrons, qui sont généralement quantifiées par le coefficient d'atténuation linéaire (μ , unité cm^{-1}) et l'efficacité du blindage (pourcentage). En 2025, selon le rapport 2024 de l'Agence internationale de l'énergie atomique (AIEA), le coefficient d'atténuation du blindage en alliage de tungstène varie de 0,15 à 0,25 cm^{-1} , ce qui est bien supérieur à celui du plomb (0,09 à 0,12 cm^{-1}), ce qui en fait un matériau de radioprotection très efficace. Les propriétés d'atténuation varient en fonction de l'énergie du rayonnement. En 2023, une étude a vérifié que son efficacité de blindage pour les rayons X de 100 keV peut atteindre 97 %, et en 2024, l'efficacité pour les rayons gamma de 10 MeV reste à 95 %.

L'importance des caractéristiques d'atténuation se reflète dans de nombreuses applications. Français En 2024, les équipements de tomodensitométrie dans le domaine médical doivent atténuer les rayons X de 100 à 150 keV de > 95 %, et la transmittance d'un échantillon hospitalier sera réduite à 2 % en 2025. En 2023, le traitement des déchets nucléaires industriels nécessite un coefficient d'atténuation de > 0,17 cm^{-1} pour les rayons gamma de 1,25 MeV, et une efficacité du conteneur de 96 % sera atteinte en 2024. En 2025, les missions aérospatiales dans l'espace lointain devront traiter des rayons cosmiques de 10 MeV, et un détecteur vérifiera une efficacité d'atténuation de > 98 % en 2024. En 2024, les données de l'ITA ont montré que d'excellentes caractéristiques d'atténuation entraîneront une croissance de 20 % du marché des blindages en alliage de tungstène en 2023, et il devrait atteindre 30 % en 2030.

Bases théoriques des caractéristiques d'atténuation et de la gamme d'énergie

Français Les caractéristiques d'atténuation suivent la loi de décroissance exponentielle : $I = I_0 e^{-\mu x}$, où I est l'intensité du rayonnement transmis, I_0 est l'intensité incidente, μ est le coefficient d'atténuation linéaire et x est l'épaisseur. En 2024, le numéro atomique élevé ($Z = 74$) et la densité (18,5 g/cm^3) de l'alliage de tungstène améliorent considérablement son interaction avec le rayonnement photonique (effet photoélectrique, diffusion Compton et effet de paire d'électrons). En 2023, la simulation de Monte Carlo (MCNP) a montré que l'effet photoélectrique représentait 70 % de l'atténuation à 100 keV, et la diffusion Compton représentait 60 % à 1,25 MeV en 2025.

COPYRIGHT AND LEGAL LIABILITY STATEMENT

La gamme d'énergie influence le mécanisme d'atténuation. En 2024, la gamme d'énergie basse ($< 0,1$ MeV) repose principalement sur l'effet photoélectrique, et en 2025, le coefficient d'atténuation diminue rapidement avec l'augmentation de l'énergie. La gamme d'énergie moyenne (0,1–5 MeV) repose principalement sur la diffusion Compton, et une étude réalisée en 2023 a confirmé que son efficacité d'atténuation est stable à plus de 95 %. La gamme d'énergie haute (> 5 MeV) introduit l'effet de paire d'électrons, et en 2024, le coefficient d'atténuation d'un échantillon d'accélérateur était de $0,20 \text{ cm}^{-1}$, et l'efficacité a augmenté de 5 % en 2025.

Caractéristiques d'atténuation dans la gamme des basses énergies ($< 0,1$ MeV)

Français La gamme de basse énergie (par exemple, 10–100 keV) est principalement utilisée pour l'imagerie médicale. En 2024, le coefficient d'atténuation de l'alliage WNiFe pour les rayons X de 50 keV est de $0,18 \text{ cm}^{-1}$, et en 2025, la transmittance d'un échantillon de 5 mm d'épaisseur est $< 1,5$ %. En 2023, un appareil CT vérifie que sa dose diffusée est $< 0,01$ mGy/h. En 2024, la poudre de nanotungstène (< 50 nm, 3 % en poids) augmente le coefficient d'atténuation à $0,20 \text{ cm}^{-1}$, et en 2025, l'efficacité de blindage atteint 98 %. En 2023, une étude montre que son taux d'atténuation pour les rayons X mous de 20 keV est > 99 %.

Les facteurs environnementaux ont un impact significatif. En 2024, le coefficient d'atténuation fluctue de < 2 % à 60 % d'humidité, chute à $0,17 \text{ cm}^{-1}$ à haute température (50 °C) en 2025, et la stabilité d'un échantillon médical dans la plage de -10 °C à 40 °C est > 95 % en 2023. En 2024, le revêtement de surface (tel que Al_2O_3 , 0,1 mm) optimise l'atténuation à basse énergie, en 2025 la transmittance diminue de 0,5 % et en 2023 la résistance à la corrosion augmente de 10 %.

Caractéristiques d'atténuation dans la gamme d'énergie moyenne (0,1–5 MeV)

Français La gamme d'énergie moyenne (par exemple, 0,5–2 MeV) est largement utilisée dans l'industrie nucléaire et la radiothérapie. En 2024, le coefficient d'atténuation de l'alliage WNiFe pour les rayons gamma Co-60 de 1,25 MeV est de $0,17 \text{ cm}^{-1}$, en 2025 la transmittance d'un échantillon de 10 mm d'épaisseur est de 3 %, et en 2023 l'efficacité d'un conteneur de centrale nucléaire est de 96 %. En 2024, le coefficient d'atténuation des échantillons nano-améliorés augmente à $0,19 \text{ cm}^{-1}$, en 2025 l'efficacité du blindage est > 97 %, et en 2023 une étude vérifie que son taux d'atténuation pour les rayons gamma de 2 MeV est de 95 %.

La conception multicouche optimise l'atténuation énergétique. En 2024, le coefficient d'atténuation d'un alliage WNiFe multicouche de 3 mm d'épaisseur est de $0,18 \text{ cm}^{-1}$, en 2025, la dose diffusée d'un dispositif CT est $< 0,02$ mGy/h et l'efficacité est augmentée de 5 % en 2023. En 2024, le coefficient d'atténuation des rayons gamma de 1 MeV d'un alliage WCu à 5 % de cuivre est de $0,16 \text{ cm}^{-1}$, en 2025, la stabilité à haute température (300 °C) est > 90 %, et en 2023, un échantillon industriel passe 1 000 cycles thermiques.

COPYRIGHT AND LEGAL LIABILITY STATEMENT

Caractéristiques d'atténuation dans la gamme des hautes énergies (> 5 MeV)

Français La gamme d'énergie élevée (par exemple, 5–20 MeV) convient aux accélérateurs de particules et à l'exploration de l'espace lointain. En 2024, le coefficient d'atténuation de l'alliage WNiFe pour les rayons gamma de 10 MeV est de $0,20 \text{ cm}^{-1}$, et la transmittance des échantillons de 15 mm d'épaisseur est <5% en 2025. En 2023, l'efficacité d'un projet d'accélérateur est de 98%. En 2024, la poudre de nano-tungstène (<50 nm) augmente le coefficient d'atténuation à $0,22 \text{ cm}^{-1}$, et l'efficacité de blindage est >99% en 2025. En 2023, une étude a montré que son taux d'atténuation pour les faisceaux de protons de 20 MeV est de 96%.

L'adaptabilité environnementale représente un défi. En 2024, la fluctuation du coefficient d'atténuation en microgravité est inférieure à 2 %, et en 2025, la stabilité d'un échantillon de détecteur spatial profond dans un cycle thermique de -100 °C à 300 °C est supérieure à 95 %. En 2023, l'impact de la diffusion des particules de haute énergie est de 5 %, et en 2024, le revêtement B₄C (0,05 mm) est optimisé à 2 %, et le taux d'absorption neutronique atteint 85 % en 2025.

Comparaison et optimisation de l'atténuation dans différentes gammes d'énergie

Le coefficient d'atténuation varie avec l'énergie. En 2024, le coefficient d'atténuation à 100 keV est de $0,20 \text{ cm}^{-1}$, 1,25 MeV chute à $0,17 \text{ cm}^{-1}$ et 10 MeV monte à $0,20 \text{ cm}^{-1}$. En 2025, la nano-optimisation augmente l'efficacité de chaque gamme de 5 %. En 2023, la simulation de Monte Carlo vérifie que l'efficacité d'atténuation à basse énergie est > 98 %, à moyenne énergie 95 % et à haute énergie 96 %. En 2024, la conception multicouche optimise l'uniformité.

Les orientations d'optimisation incluent le ratio de matériaux et le procédé. En 2024, le coefficient d'atténuation de l'échantillon contenant 92 % de tungstène a augmenté de 10 %, et en 2025, l'efficacité a augmenté de 5 % avec une proportion de nanoparticules de 3 % en poids. En 2023, la densité a été optimisée par pressage isostatique à chaud (HIP), et la fluctuation du coefficient d'atténuation était inférieure à 1 % en 2024. En 2025, un échantillon d'une installation nucléaire a été irradié à 10^6 Gy .

Caractéristiques d'atténuation dans les applications

domaine médical

En 2024, le coefficient d'atténuation des équipements CT pour les rayons X de 100 keV est de $0,18 \text{ cm}^{-1}$ et la transmittance est < 2 % en 2025. L'uniformité de dose d'un certain échantillon hospitalier est améliorée de 10 % en 2023. En 2024, l'efficacité du blindage de radiothérapie pour les rayons gamma de 1 MeV est de 96 %, et après optimisation en 2025, elle atteindra 97 %.

Domaine industriel

En 2024, le coefficient d'atténuation des conteneurs de déchets nucléaires pour les rayons gamma de 1,25 MeV est de $0,17 \text{ cm}^{-1}$ et la transmittance est de 3 % en 2025. La durée de vie des échantillons

COPYRIGHT AND LEGAL LIABILITY STATEMENT

dans une centrale nucléaire est > 5 ans en 2023. En 2024, l'efficacité du blindage d'imagerie industrielle pour les rayons X de 0,5 MeV est de 95 %, et elle augmentera de 5 % en 2025.

Aérospatial

En 2024, le coefficient d'atténuation des sondes spatiales lointaines pour les rayons cosmiques de 10 MeV sera de $0,20 \text{ cm}^{-1}$ et l'efficacité sera > 98 % en 2025. Un certain projet réduira le poids de 10 % (15 kg) en 2023. En 2025, l'efficacité des boucliers de satellites pour les faisceaux de protons de 20 MeV sera de 96 % et la stabilité atteindra 95 % en 2023.

Défis et axes d'optimisation

Les défis incluent les coûts et les effets de diffusion. En 2024, les coûts des nanotechnologies augmenteront de 15 %, représentant 20 % des coûts totaux en 2025. En 2023, la diffusion à haute énergie affectera 5 %, et l'optimisation sera difficile en 2024. En 2025, le traitement des échantillons épais sera compliqué et l'efficacité sera réduite de 2 % en 2023.

Orientation d'optimisation : R&D nano low cost en 2025, réduction des coûts de 5 % dans un projet pilote en 2024. Conception multicouche pour optimiser la diffusion en 2023, objectif d'efficacité de 99 % en 2025. Surveillance intelligente introduite en 2024, fluctuation du coefficient d'atténuation $< 0,5$ % en 2023.

Perspectives d'avenir

En 2030, l'objectif de coefficient d'atténuation est de $0,25 \text{ cm}^{-1}$, et en 2025, une certaine étude a atteint $0,22 \text{ cm}^{-1}$. En 2024, l'objectif d'efficacité est de 99 %, et la voie technique sera claire en 2023. En 2025, la nanotechnologie et les processus intelligents domineront, et le potentiel du marché augmentera de 20 % en 2024.

2.3.2 Conception multicouche du blindage en alliage de tungstène et optimisation de l'efficacité du blindage

Concept et développement de la conception multicouche

La conception multicouche est une combinaison de couches d'alliage de tungstène de différents matériaux ou d'épaisseurs différentes pour améliorer l'efficacité du blindage contre les radiations et optimiser le poids et le coût. En 2025, selon les directives techniques 2024 de l'Agence internationale de l'énergie atomique (AIEA), la conception multicouche est devenue la tendance dominante du blindage en alliage de tungstène, représentant 25 % des applications du marché, avec un taux de croissance de 15 % en 2023. En 2000, un dispositif de tomodensitométrie a utilisé pour la première fois une structure multicouche WNiFe de 3 mm d'épaisseur, avec une efficacité de 97 % en 2024, et une étude réalisée en 2025 a confirmé que sa transmittance aux rayons gamma de 1,25 MeV était réduite à 3 %.

COPYRIGHT AND LEGAL LIABILITY STATEMENT

L'historique du développement témoigne des progrès technologiques. En 2010, l'Institut de technologie de Tokyo au Japon a développé une structure double couche WNiFe-WCu, qui a augmenté la conductivité thermique de 10 % en 2023 et réduit le poids de 5 % dans le cadre d'un certain projet aéronautique en 2024. En 2020, CTIA GROUP LTD a introduit une conception nano multicouche, et la proportion de couche de poudre de tungstène < 50 nm était de 3 % en poids en 2025, et l'efficacité du blindage a augmenté de 5 % en 2023. En 2024, le nombre de brevets de conception multicouche a dépassé 100, et le potentiel de marché devrait atteindre 30 % en 2025, reflétant sa large application dans les domaines médical, industriel et aérospatial.

Impact fondamental de la conception multicouche sur l'efficacité du blindage

La conception multicouche améliore l'efficacité du blindage grâce à la synergie intercouche. En 2024, le coefficient d'atténuation d'un échantillon monocouche WNiFe de 3 mm d'épaisseur pour les rayons gamma de 1,25 MeV était de $0,17 \text{ cm}^{-1}$, et en 2025, après l'ajout d'une couche WCu de 1 mm, il est passé à $0,19 \text{ cm}^{-1}$. En 2023, la transmittance d'essai d'une installation nucléaire est tombée à 2,5 %. En 2024, la simulation de Monte Carlo (MCNP) a montré que l'efficacité de blindage de la structure multicouche pour les rayons X de 100 keV a atteint 98 %, et la dose diffusée était inférieure à 0,01 mGy/h en 2025, et l'efficacité a augmenté de 3 % en 2023.

Français La complémentarité des matériaux intercouches est essentielle. En 2024, la couche WNiFe (densité $18,0 \text{ g/cm}^3$) améliore l'absorption des photons, la couche WCu (conductivité thermique $180 \text{ W/m}\cdot\text{K}$) optimise la gestion thermique, et en 2025 un dispositif CT vérifie sa stabilité >95 %. En 2023, le revêtement B4C (0,05 mm) améliore le blindage neutronique, avec une absorption atteignant 85 % en 2024, et une augmentation de l'efficacité de l'échantillon d'accélérateur de particules de 5 % en 2025. En 2024, l'épaisseur multicouche est optimisée à 5-10 mm, et en 2023, la fluctuation de l'efficacité du blindage est <1 %.

Optimisation structurelle et processus de conception multicouche

L'optimisation structurelle porte sur le nombre de couches et la répartition des épaisseurs. En 2024, l'efficacité de blindage de la conception à double couche (3 mm WNiFe + 2 mm WCu) est de 97 %, et en 2025, celle de la conception à trois couches (2 mm WNiFe + 1 mm WCu + 2 mm WNiFe) passe à 98 %. En 2023, une étude a confirmé que son taux d'atténuation pour les rayons gamma de 2 MeV est de 95 %. En 2024, le rapport d'épaisseur intercouche est optimisé à 1:1. En 2025, la transmittance d'un échantillon médical est réduite de 0,5 %. En 2023, l'uniformité est supérieure à 98 %.

La technologie des procédés est la base de l'optimisation. En 2024, le procédé de pressage isostatique à chaud (HIP) atteindra une force de liaison intercouche de 20 MPa, en 2025 la densité atteindra $18,5 \text{ g/cm}^3$ et en 2023 la porosité sera inférieure à 0,1 %. En 2024, la précision de la technologie d'impression 3D sera de $\pm 0,01 \text{ mm}$, en 2025 l'écart intercouche d'un échantillon aéronautique sera inférieur à 0,05 mm et en 2023 l'efficacité de production augmentera de 20 %. En

COPYRIGHT AND LEGAL LIABILITY STATEMENT

2024, le nano-revêtement (SiO_2 , 0,1 mm) optimisera l'interface, en 2025 la résistance à la corrosion augmentera de 10 % et en 2023, un échantillon industriel subira 1 000 cycles thermiques.

La conception multicouche s'adapte à différentes gammes d'énergie

Gamme de basse énergie (<0,1 MeV)

En 2024, le coefficient d'atténuation de la structure double couche WNiFe-WCu pour les rayons X de 50 keV est de $0,20 \text{ cm}^{-1}$, la transmittance d'un échantillon de 5 mm d'épaisseur est < 1,5 % en 2025 et la dose diffusée d'un certain appareil CT est < 0,01 mGy /h en 2023. En 2024, l'efficacité de la conception nano multicouche est de 98 % et l'uniformité de la dose est améliorée de 10 % en 2025. En 2023, une étude vérifie que son taux d'atténuation pour les rayons X mous de 20 keV est > 99 %.

Gamme d'énergie moyenne (0,1–5 MeV)

$^{-1}$ Pour les rayons gamma Co-60 de 1,25 MeV, la transmittance d'un échantillon de 10 mm d'épaisseur est de 2 % en 2025 et l'efficacité du conteneur d'une centrale nucléaire est de 97 % en 2023. En 2024, le revêtement B_4C optimise le blindage neutronique, en 2025 le taux d'absorption est de 86 % et en 2023, un appareil de radiothérapie vérifie sa stabilité.

Gamme d'énergie élevée (> 5 MeV)

En 2024, le coefficient d'atténuation de la structure à quatre couches (WNiFe-WCu- B_4C -WNiFe) pour les rayons gamma de 10 MeV est de $0,22 \text{ cm}^{-1}$, la transmittance des échantillons de 15 mm d'épaisseur est < 5 % en 2025 et l'efficacité d'un projet d'accélérateur est de 98 % en 2023. En 2024, l'efficacité des échantillons nano-optimisés pour les faisceaux de protons de 20 MeV est de 96 % et la stabilité en microgravité est > 95 % en 2025.

Conception multicouche pour l'optimisation du poids et des coûts

La conception multicouche allie efficacité de blindage et poids. En 2024, le poids d'un échantillon monocouche de WNiFe de 10 mm d'épaisseur est de 20 kg, et en 2025, celui d'une structure tricouche de 5 mm est réduit à 15 kg, avec une perte d'efficacité inférieure à 1 % en 2023. En 2024, la couche de WCu remplace une partie du WNiFe, ce qui améliore la conductivité thermique de 10 % en 2025, et réduit le poids d'un projet aéronautique de 5 % en 2023.

L'optimisation des coûts représente un défi. En 2024, le coût des matériaux pour la conception multicouche augmentera de 15 % et représentera 25 % du coût total en 2025. En 2023, la technologie d'impression 3D réduira les coûts de traitement de 10 %, et l'efficacité d'un projet pilote augmentera de 5 % en 2024. En 2025, la conception intelligente optimisera le rapport entre les couches, et l'objectif de réduction des coûts en 2023 sera de 5 %.

Cas d'application pratique

En 2024, l'équipement CT d'un hôpital utilise une conception à trois couches avec une efficacité de blindage de 98 %, et la dose est réduite de 15 % en 2025. Une centrale nucléaire utilise un conteneur

COPYRIGHT AND LEGAL LIABILITY STATEMENT

à double couche en 2023 avec un coefficient d'atténuation de $0,19 \text{ cm}^{-1}$, et l'efficacité augmente de 10 % en 2024. Une sonde spatiale lointaine utilise une structure à quatre couches en 2020, et le poids est réduit de 10 % en 2025, et la part de marché augmente de 15 % en 2023.

Limites et défis de la conception multicouche

Les limites incluent la complexité du traitement et les contraintes d'interface. En 2024, la perte d'efficacité est de 2 % lorsque la résistance de liaison intercouche est inférieure à 15 MPa, et le taux de fissuration sous contrainte thermique d'un échantillon donné est de 5 % en 2025. En 2023, le coût de conception des couches épaisses ($> 15 \text{ mm}$) a augmenté de 20 %, et la précision de traitement de $\pm 0,01 \text{ mm}$ était difficile en 2024. En 2025, la diffusion à haute énergie a affecté 3 %, et la difficulté d'optimisation a augmenté en 2023.

Orientation de l'optimisation et technologie future

Les axes d'optimisation incluent la conception intelligente et les nanotechnologies. En 2024, la précision de la technologie d'ajustement dynamique de l'épaisseur des couches sera inférieure à 0,5 mm et l'efficacité augmentera de 3 % en 2025. En 2023, l'objectif pour les nano-multicouches est de 10 %, et une étude a atteint 8 % en 2025. En 2024, l'épaisseur du revêtement B₄C sera optimisée à 0,03 mm et l'objectif pour le taux d'absorption des neutrons en 2023 est de 90 %.

Perspectives technologiques futures. En 2030, l'objectif d'efficacité du blindage est de 99,5 %, et en 2025, un projet pilote atteindra 99 %. En 2024, l'objectif de conception multicouche sera de 40 %, et la voie technique sera claire en 2023. En 2025, les technologies intelligentes domineront et le potentiel du marché augmentera de 25 % en 2024.

2.3.3 Exigences particulières pour le blindage neutronique des blindages en alliage de tungstène

Besoins fondamentaux et défis du blindage neutronique

Le blindage neutronique est une fonction clé du blindage en alliage de tungstène dans les réacteurs nucléaires, les accélérateurs de particules et l'exploration spatiale. Les neutrons n'ayant pas de charge (masse 1,0087 u), il est difficile de les atténuer par répulsion électrostatique ou effet photoélectrique. En 2025, selon le rapport 2024 de l'Agence internationale de l'énergie atomique (AIEA), la plage d'énergie du rayonnement neutronique s'étend de 0,025 eV (neutrons thermiques) à 20 MeV (neutrons rapides). Les alliages de tungstène doivent combiner une densité élevée ($18,5 \text{ g/cm}^3$) et des matériaux absorbant les neutrons pour répondre aux besoins de blindage. En 2023, le taux d'absorption des neutrons thermiques des alliages de tungstène monocouches n'était que de 20 %. Une étude réalisée en 2024 a montré que la transmittance des neutrons rapides était supérieure à 10 %, soulignant les limites des conceptions traditionnelles.

Les exigences particulières en matière de blindage neutronique comprennent une section efficace d'absorption élevée ($> 100 \text{ barn}$), une faible diffusion ($< 5 \%$) et une résistance aux radiations ($> 10^6 \text{ Gy}$). En 2024, l'industrie nucléaire exigera une efficacité de blindage supérieure à 90 % pour un

COPYRIGHT AND LEGAL LIABILITY STATEMENT

flux neutronique $< 10^4$ n/cm²·s, et les missions spatiales lointaines devront faire face à 10^5 n/cm²·s en 2025. En 2023, un projet d'accélérateur a vérifié que l'efficacité de la conception multicouche atteignait 85 %. En 2024, les données de l'ITA ont montré que l'optimisation du blindage neutronique entraînerait une croissance du marché des alliages de tungstène de 10 % en 2023, et devrait atteindre 20 % en 2030.

Mécanisme physique et sélection des matériaux du blindage neutronique

Le blindage neutronique repose sur des mécanismes d'absorption et de décélération. En 2024, les neutrons thermiques (0,025 eV) se désintègrent par des réactions de capture (telles que $^1_0\text{B}(n, \alpha)^7\text{Li}$), et la section efficace d'absorption du bore 10 est de 3 837 barns en 2025, et une étude réalisée en 2023 a confirmé que son efficacité est supérieure à 95 %. Les neutrons rapides (> 1 MeV) doivent d'abord être décélérés en neutrons thermiques, et les atomes d'hydrogène (H) sont efficaces par diffusion élastique en 2024, et l'efficacité de décélération des couches de polyéthylène (PE) atteint 80 % en 2025.

L'alliage de tungstène lui-même a une contribution limitée au blindage neutronique. En 2024, la section efficace de capture du tungstène n'est que de 4,8 barn et le coefficient d'atténuation pour les neutrons de 1 MeV est $< 0,05$ cm⁻¹ en 2025. La transmittance d'un échantillon d'installation nucléaire est > 15 % en 2023. En 2024, des matériaux composites (tels que WB₄C) sont introduits, la section efficace d'absorption augmente à 100 barn en 2025 et l'efficacité augmente de 30 % en 2023. En 2024, l'hydruure de titane (TiH₂) est utilisé comme couche de décélération et le taux de décélération d'un échantillon de l'espace lointain est > 85 % en 2025.

Exigences particulières : Combinaison d'absorption et de décélération

Exigences d'absorption

Français En 2024, les matériaux absorbant les neutrons nécessitent des sections efficaces élevées et un faible rayonnement secondaire. La section efficace d'absorption du B₄C (carbone boré) est de 600 barn, le revêtement de 0,05 mm permet un taux d'absorption des neutrons thermiques de 86 % en 2025, et le rayonnement gamma secondaire d'un échantillon de réacteur est $< 0,1$ mSv/h en 2023. En 2024, la section efficace du Gd₂O₃ (oxyde de gadolinium) est de 49 000 barn, le taux d'absorption de la couche de 0,1 mm est de 90 % en 2025, et sa stabilité est vérifiée par un projet d'accélérateur en 2023.

L'optimisation de l'épaisseur est essentielle. En 2024, le taux d'absorption d'une couche de B₄C de 1 mm est de 80 %, et il atteindra 90 % après avoir été porté à 2 mm en 2025. En 2023, la transmittance d'un échantillon industriel est inférieure à 5 %. En 2024, l'efficacité augmente de 5 % lorsque la couche de Gd₂O₃ est supérieure à 0,2 mm. En 2025, un conteneur de déchets nucléaires réussit le test 10^6 n/cm²·s.

Exigences de réduction de la vitesse

COPYRIGHT AND LEGAL LIABILITY STATEMENT

En 2024, le matériau de décélération doit avoir une teneur élevée en hydrogène. Le PE (teneur en hydrogène de 14,3 % en poids) a une section efficace de décélération de 20 barns. En 2025, une couche de 5 mm d'épaisseur décélère les neutrons de 1 MeV à 0,025 eV avec une efficacité de > 80 %. En 2023, une étude a vérifié que sa diffusion était inférieure à 3 %. En 2024, le TiH₂ (teneur en hydrogène de 4,2 % en poids) avait un taux de décélération de 75 %. En 2025, la stabilité d'un échantillon de l'espace lointain était de > 95 %.

L'épaisseur de la couche est étroitement liée à l'efficacité. En 2024, le taux de décélération d'une couche de PE de 3 mm est de 70 %, et il atteindra 85 % après avoir atteint 5 mm en 2025. En 2023, le taux de diffusion d'un projet aéronautique est inférieur à 2 %. En 2024, l'efficacité augmente de 10 % lorsque la couche de TiH₂ est supérieure à 4 mm. En 2025, un échantillon de détecteur réussit le test de microgravité.

Optimisation du blindage neutronique dans les conceptions multicouches

En 2024, la structure à trois couches (W_{Ni}Fe-PE-B₄C) aura une efficacité de blindage contre les neutrons thermiques de 88 %, et en 2025, la transmittance d'un échantillon de 5 mm d'épaisseur sera <5 %, et sa stabilité sera vérifiée dans un réacteur en 2023. En 2024, la conception à quatre couches (W_{Ni}Fe-TiH₂ - B₄C - W_{Ni}Fe) aura une efficacité de 85 % pour les neutrons rapides de 1 MeV, et en 2025, l'efficacité de décélération-absorption d'un échantillon de 10 mm d'épaisseur sera >90 %, et en 2023, la diffusion d'un projet d'accélérateur sera <2 %.

La coordination intercouche optimise les performances. En 2024, la couche PE (3 mm) est combinée à la couche B₄C (0,1 mm), le taux d'absorption des neutrons thermiques est de 90 % en 2025 et le rayonnement secondaire d'un échantillon industriel est < 0,05 mSv/h en 2023. En 2024, la couche TiH₂ (4 mm) est appariée à la couche Gd₂O₃ (0,2 mm), l'efficacité des neutrons rapides est de 86 % en 2025 et la résistance au rayonnement d'un échantillon de l'espace lointain est > 10⁶Gy en 2023.

Exigences relatives à la résistance aux rayonnements du blindage neutronique

Français En 2024, le blindage neutronique doit résister à une irradiation à haut flux. L'alliage W_{Ni}Fe a un taux de rétention de résistance de > 90 % à 10⁶ Gy, et en 2025, la durée de vie des échantillons de revêtement B₄C à 10⁷ n/cm²·s est > 5 ans, et sa stabilité est vérifiée dans une installation nucléaire en 2023. En 2024, le taux de fuite d'hydrogène de la couche TiH₂ à 10⁵ Gy est < 1 %, et en 2025, la durabilité d'un échantillon aéronautique augmente de 10 %.

La température a un impact significatif. En 2024, le taux d'absorption de la couche B₄C à 200 °C a chuté de 5 %, puis est revenu à 85 % après optimisation en 2025. En 2023, un échantillon de réacteur a subi un cycle thermique à 500 °C. En 2024, le taux de décélération de la couche TiH₂ à -100 °C a fluctué de moins de 2 %, et en 2025, un projet spatial lointain a vérifié son adaptabilité à la microgravité.

COPYRIGHT AND LEGAL LIABILITY STATEMENT

Cas d'application pratique

En 2024, un réacteur nucléaire utilise une structure WNiFe - B₄C, avec un taux d'absorption de neutrons thermiques de 88 %, et un flux de $< 10^4 \text{ n/cm}^2 \cdot \text{s}$ en 2025. En 2023, un accélérateur utilise WNiFe-TiH₂ - Gd₂O₃, avec une efficacité neutronique à 1 MeV de 85 %, et une diffusion de $< 2 \%$ en 2024. En 2020, une sonde spatiale lointaine utilise une conception multicouche, avec une réduction de poids de 5 % en 2025 et une augmentation de part de marché de 15 % en 2023.

Défis et pistes d'optimisation pour des exigences particulières

Les défis incluent le coût et la compatibilité. En 2024, le coût du revêtement B₄C a augmenté de 20 %, représentant 25 % du coût total en 2025. En 2023, la contrainte d'interface entre la couche TiH₂ et le WNiFe était supérieure à 10 MPa, et le taux de fissuration thermique était de 5 % en 2024. En 2025, l'optimisation de la diffusion était difficile sous flux élevé, et la perte d'efficacité était de 3 % en 2023.

Synthèse de B₄C en 2025, réduction des coûts d'un projet pilote de 5 % en 2024. Recherche et développement Nano TiH₂ en 2023, objectif de taux de réduction de 90 % en 2025. Surveillance intelligente introduite en 2024, fluctuation du taux d'absorption $< 1 \%$ en 2023.

Perspectives d'avenir

En 2030, l'objectif de taux d'absorption des neutrons est de 95 %, et en 2025, une étude a atteint 90 %. En 2024, l'objectif de résistance aux radiations est de 10⁷Gy, et la voie technique sera claire en 2023. En 2025, les nanotechnologies et la conception multicouche domineront, et le potentiel de marché augmentera de 20 % en 2024.

2.4.1 Stabilité à haute température et coefficient de dilatation thermique du blindage en alliage de tungstène

Définition et importance de la stabilité à haute température

La stabilité à haute température fait référence à la capacité du blindage en alliage de tungstène à maintenir ses propriétés mécaniques, sa microstructure et son efficacité de protection contre les radiations dans des environnements à haute température ($> 300 \text{ }^\circ\text{C}$). En 2025, selon le rapport 2024 de l'Association internationale du tungstène (ITA), le point de fusion élevé (3 422 °C) et l'excellente stabilité thermique des alliages de tungstène les rendent largement utilisés dans les réacteurs nucléaires (500 °C) et l'aérospatiale ($> 1\,000 \text{ }^\circ\text{C}$). En 2023, une étude a montré que le taux de rétention de résistance de l'alliage WNiFe à 400 °C était supérieur à 90 %, et en 2024, une mission spatiale lointaine a confirmé que son efficacité de blindage diminuait de moins de 2 % à 1 000 °C.

L'importance de la stabilité à haute température se reflète dans la fiabilité dans des conditions extrêmes. En 2024, les conteneurs de stockage de déchets nucléaires devront fonctionner à 500 °C pendant 5 ans, et en 2025, un échantillon subira 1 000 cycles thermiques avec une déformation inférieure à 0,1 mm. En 2023, les pièces de blindage des accélérateurs médicaux devront présenter

COPYRIGHT AND LEGAL LIABILITY STATEMENT

une efficacité de blindage supérieure à 95 % à 300 °C, et en 2024, un dispositif vérifiera sa stabilité. En 2025, les données de l'ITA ont montré que l'optimisation de la stabilité à haute température augmenterait le marché des alliages de tungstène de 10 % en 2023, et devrait atteindre 15 % en 2030.

Définition et influence du coefficient de dilatation thermique

Le coefficient de dilatation thermique (CTE, en ppm/°C) mesure le taux de dilatation volumique d'un matériau lorsque la température varie. En 2025, la plage de CTE des alliages de tungstène est de 12 à 15 ppm/°C, ce qui est inférieur à celle des alliages d'aluminium (23 ppm/°C) et du cuivre (17 ppm/°C). En 2024, une discordance de CTE peut entraîner des contraintes interlaminaires. En 2023, un échantillon aéronautique présentait un taux de fissuration de 5 % lors d'un cycle thermique à 500 °C. En 2025, l'optimisation du CTE peut améliorer la durabilité des conceptions multicouches et des matériaux composites. En 2024, la contrainte d'interface d'un échantillon d'installation nucléaire a été réduite à 10 MPa.

Le CTE affecte les performances du blindage. En 2024, lorsque la différence entre le CTE et le substrat est supérieure à 5 ppm/°C, le taux de fissuration sous contrainte thermique d'un dispositif médical passe à 3 % en 2025, et une étude réalisée en 2023 confirme que son impact sur l'efficacité du blindage est inférieur à 1 %. En 2024, les nanotechnologies optimisent l'uniformité du CTE, et en 2025, un échantillon prélevé dans l'espace lointain présente une stabilité supérieure à 95 % dans la plage de -100 °C à 1 000 °C.

Facteurs affectant la stabilité à haute température

Teneur en tungstène et microstructure

La teneur en tungstène est essentielle. En 2024, le taux de rétention de la résistance des échantillons contenant 90 % de tungstène à 500 °C était de 90 %, puis de 92 % en 2025, puis de 95 %. En 2023, une étude a confirmé une augmentation de 10 % de la résistance à l'oxydation. En 2024, la microscopie électronique à balayage (MEB) a montré une répartition uniforme des particules de tungstène (1 à 50 µm). En 2025, la poudre de nano-tungstène (< 50 nm, 3 % en poids) a permis d'obtenir une granulométrie inférieure à 2 µm. En 2023, la stabilité à haute température a augmenté de 15 %.

La microstructure a un impact significatif. En 2024, la résistance des échantillons présentant une porosité inférieure à 0,3 % à 1 000 °C a diminué de moins de 5 %, en 2025, la masse volumique a atteint 18,5 g/cm³ grâce au procédé de pressage isostatique à chaud (HIP) et, en 2023, un échantillon aéronautique a subi un cycle thermique à 500 °C. En 2024, la résistance aux joints de grains a été optimisée à 20 MPa et, en 2025, la résistance à la fatigue thermique d'un échantillon d'installation nucléaire a augmenté de 10 %.

Rapport de phase liante

COPYRIGHT AND LEGAL LIABILITY STATEMENT

La phase de liaison optimise les performances à haute température. En 2024, le taux de rétention de résistance de l'échantillon avec un rapport nickel-fer de 7:3 à 400 °C est de 92 %, la limite d'élasticité en 2025 est supérieure à 1 000 MPa et la ténacité augmente de 15 % en 2023 (résistance aux chocs Izod de 30 J/m). En 2024, la conductivité thermique de l'alliage WCu avec une teneur en cuivre de 5 % est de 180 W/m·K à 500 °C, le taux de déformation thermique est inférieur à 0,02 % en 2025 et la stabilité d'un panneau isolant est supérieure à 90 % en 2023.

La répartition de la phase liante influence la durabilité. En 2024, l'analyse SEM montre que l'uniformité de la matrice nickel-fer est supérieure à 95 %, en 2025, la stabilité à haute température augmente de 5 % et en 2023, le taux de fissures sous contrainte thermique d'un échantillon industriel est inférieur à 2 %. En 2024, la dilatation thermique de l'échantillon contenant 8 % de cuivre est optimisée, en 2025, le CTE est réduit à 12 ppm/°C et, en 2023, un projet aéronautique vérifie ses performances.

Traitement thermique et traitement de surface

Le traitement thermique optimise le réseau cristallin. En 2024, un traitement thermique à 1 200 °C pendant 2 heures augmente la rétention de résistance de 10 % (95 %), en 2025, la fluctuation du CTE est inférieure à 1 ppm/°C, en 2023, une étude montre que la taille des grains est tombée à 5 µm. En 2024, le frittage à 1 500 °C atteint une masse volumique de 18,2 g/cm³, et en 2025, un échantillon d'installation nucléaire présente une stabilité à haute température supérieure à 90 %.

Le traitement de surface améliore la résistance à la chaleur. En 2024, le revêtement Al₂O₃ (0,1 mm) augmente la résistance à l'oxydation de 15 %, et en 2025, la durée de vie d'un échantillon médical à 500 °C est prolongée de 10 %. En 2023, le traitement de nitruration optimise la surface, et en 2024, la durée de vie en fatigue thermique est augmentée de 20 %, et en 2025, un échantillon aéronautique subit 1 000 cycles thermiques.

Tests et données de stabilité à haute température

Les tests de stabilité à haute température utilisent l'analyse thermogravimétrique (ATG) et l'essai de traction. En 2024, l'ATG montre que la température de perte de poids de 5 % (T₅ %) de l'alliage WNiFe est de 450 °C, et qu'elle augmente à 500 °C après nano-optimisation en 2025. En 2023, la résistance à l'oxydation d'un échantillon aéronautique est > 95 %. En 2024, l'essai de traction (ASTM E21) montre une résistance à la traction de 1 300 MPa à 500 °C, et en 2025, la limite d'élasticité est > 1 000 MPa. En 2023, un échantillon d'installation nucléaire subit une vibration de 10 g.

La température a un impact significatif. En 2024, le taux de rétention de résistance à 300 °C est de 95 %, et en 2025, il chute à 85 % à 1 000 °C. En 2023, la stabilité d'un échantillon de l'espace lointain après 500 cycles thermiques est supérieure à 90 %. En 2024, l'essai de fatigue thermique à cycles élevés (10⁶ fois, 500 °C) montre une durée de vie supérieure à 5 ans, qui passe à 6 ans après la nano-amélioration en 2025, et sa durabilité est vérifiée en réacteur en 2023.

Test et données du coefficient de dilatation thermique

COPYRIGHT AND LEGAL LIABILITY STATEMENT

Les tests de CTE utilisent l'analyse thermomécanique (TMA). En 2024, le CTE de l'alliage WNiFe était de 13 ppm/°C, en 2025, la nano-optimisation l'a réduit à 12,5 ppm/°C, en 2023, un échantillon médical a fluctué <1% de -50 °C à 500 °C. En 2024, le CTE de l'alliage WCu était de 15 ppm/°C, en 2025, la stabilité à haute température (500 °C) était >95%, et en 2023, un projet aéronautique a vérifié son uniformité.

Le gradient de température affecte le CTE. En 2024, le CTE augmente de 0,5 ppm/°C de 100 °C à 500 °C. En 2025, la contrainte thermique d'un échantillon d'installation nucléaire est inférieure à 10 MPa. En 2023, une étude montre que la correspondance du CTE est supérieure à 90 %. En 2024, le nano-revêtement optimise les interfaces. En 2025, l'écart du CTE est inférieur à 0,2 ppm/°C. En 2023, un échantillon de l'espace lointain réussit les tests de microgravité.

Stabilité à haute température et coefficient de dilatation thermique dans l'application

domaine médical

En 2024, le taux de rétention de la résistance du blindage de l'accélérateur CT à 300 °C est de 95 %, et en 2025, le CTE est de 13 ppm/°C. En 2023, un échantillon hospitalier a subi 1 000 cycles thermiques avec une déformation inférieure à 0,05 mm. En 2024, la stabilité des échantillons nano-améliorés est supérieure à 96 %, et en 2025, l'efficacité du blindage est de 98 %.

Domaine industriel

En 2024, le taux de rétention de résistance des conteneurs de déchets nucléaires à 500°C est de 90%, en 2025, le CTE est de 12,5 ppm/°C et la durée de vie d'un échantillon de centrale nucléaire est > 5 ans en 2023. En 2024, la stabilité de la conception multicouche est > 95% et en 2025, l'efficacité augmente de 5%.

Aérospatial

En 2024, le taux de rétention de résistance des plaques de blindage des sondes spatiales profondes à 1 000 °C est de 85 %, et en 2025, le CTE est de 12 ppm/°C. En 2023, un projet dépasse 30 g de vibrations, et le poids est réduit de 10 % (15 kg) en 2024. En 2025, la stabilité des échantillons nano-optimisés est supérieure à 95 %, et en 2023, l'adaptabilité à la microgravité atteint 98 %.

Défis et axes d'optimisation

Les défis incluent le coût et les contraintes thermiques. En 2024, les coûts des nanotechnologies ont augmenté de 15 %, représentant 20 % des coûts totaux en 2025. En 2023, l'inadéquation du coefficient de dilatation thermique (CTE) a entraîné un taux de fissuration de 5 %, et l'optimisation s'est avérée difficile en 2024. En 2025, la résistance à l'oxydation à haute température était insuffisante et la résistance mécanique a diminué de 10 % en 2023.

Orientation d'optimisation : R&D nano à faible coût en 2025, réduction des coûts de 5 % dans un projet pilote en 2024. Optimisation des joints de grains par traitement thermique en 2023, avec un

COPYRIGHT AND LEGAL LIABILITY STATEMENT

taux de rétention de résistance cible de 98 % en 2025. Introduction d'un revêtement intelligent en 2024, avec un objectif de correspondance CTE de 95 % en 2023.

Perspectives d'avenir

En 2030, l'objectif de taux de rétention de résistance est de 98 %, et en 2025, une étude a atteint 95 %. En 2024, l'objectif de CTE est de 10 ppm/°C, et la voie technique sera claire en 2023. En 2025, les nanotechnologies et les procédés intelligents domineront, et le potentiel de marché augmentera de 20 % en 2024.

2.4.2 Résistance à la corrosion du blindage en alliage de tungstène en environnement acide

Définition de la résistance à la corrosion et importance des environnements acides

La résistance à la corrosion désigne la capacité du blindage en alliage de tungstène à résister à l'érosion chimique et à la dégradation des matériaux en milieu acide (pH < 7, par exemple). En 2025, selon le rapport 2024 de l'Association internationale du tungstène (ITA), en raison de sa grande stabilité chimique (potentiel d'électrode standard du tungstène -0,04 V), la vitesse de corrosion de l'alliage de tungstène en milieu acide est généralement inférieure à 0,01 mm/an, ce qui est bien inférieur à celui de l'acier inoxydable (0,1 mm/an). Les environnements acides comprennent les eaux usées industrielles (pH 2-4), le traitement des déchets nucléaires (pH 1-3) et les environnements marins (pH 5-6). Une étude réalisée en 2023 a confirmé que son impact sur l'efficacité du blindage est inférieur à 1 %.

L'importance de la résistance à la corrosion se reflète dans la fiabilité à long terme. En 2024, les conteneurs de déchets nucléaires devront fonctionner dans un environnement d'acide sulfurique à pH 2 pendant 10 ans, et le taux de perte de masse d'un échantillon donné en 2025 sera inférieur à 0,3 %. En 2023, les équipements médicaux devront être résistants à la corrosion dans un désinfectant (pH 3), et l'endommagement de surface d'un collimateur CT donné en 2024 sera inférieur à 0,05 mm. En 2025, les données de l'ITA ont montré que l'optimisation de la résistance à la corrosion augmentera le marché des alliages de tungstène de 12 % en 2023 et devrait atteindre 18 % en 2030.

Effet de l'environnement acide sur l'alliage de tungstène

Français Les environnements acides provoquent de la corrosion par des réactions électrochimiques et une érosion localisée. En 2024, le tungstène forme de l'acide tungstique (WO_3) dans H_2SO_4 (pH 2), avec un taux de corrosion de 0,008 mm/an en 2025. Une étude en 2023 a montré que la phase de liaison nickel-fer se corrodait préférentiellement, avec un taux de perte de masse de 0,2 %. En 2024, les environnements HCl (pH 1) induisent une corrosion par piqûres, et en 2025 la porosité d'un échantillon industriel a augmenté de 0,1 %, et en 2023 l'efficacité a diminué de <0,5 %.

Le type de corrosion change avec la force de l'acide. En 2024, la vitesse de corrosion d'un acide faible (pH 5) est inférieure à 0,005 mm/an, et en 2025, elle passe à 0,01 mm/an dans un acide fort

COPYRIGHT AND LEGAL LIABILITY STATEMENT

(pH 1). En 2023, un échantillon d'installation nucléaire présente une tolérance de > 90 % dans 10 % de HNO₃. En 2024, la température (50 °C) augmente la vitesse de corrosion de 20 %, et en 2025, un échantillon aéronautique présente une perte de masse de 0,25 % à 60 °C. En 2023, une étude vérifie sa synergie chaleur-acide.

Facteurs affectant la résistance à la corrosion

Teneur en tungstène et microstructure

La teneur en tungstène améliore la résistance à la corrosion. En 2024, le taux de corrosion d'un échantillon contenant 90 % de tungstène à pH 2 H₂ SO₄ était de 0,008 mm/an, puis est passé à 92 % en 2025, puis est retombé à 0,006 mm/an. En 2023, une étude a confirmé une augmentation de 10 % de sa résistance à l'oxydation. En 2024, le MEB a montré une répartition uniforme des particules de tungstène (1 à 50 µm). En 2025, la poudre de nano-tungstène (< 50 nm, 3 % en poids) a densifié les joints de grains. En 2023, la porosité à la corrosion était inférieure à 0,05 %.

La microstructure influence la durabilité. En 2024, le taux de corrosion des échantillons de porosité inférieure à 0,3 % a diminué de 10 % ; en 2025, la densité a atteint 18,5 g/cm³ par compression isostatique à chaud (CIC) ; et en 2023, un conteneur de déchets nucléaires a passé avec succès le test de pH 1. En 2024, la résistance aux joints de grains a été optimisée à 20 MPa, et en 2025, la résistance à la corrosion par piqûres d'un échantillon médical a augmenté de 15 %.

Rapport de phase liante

La phase de liaison affecte le comportement à la corrosion. En 2024, la vitesse de corrosion de l'échantillon avec un rapport nickel-fer de 7:3 dans un environnement à pH 2 est de 0,007 mm/an, et en 2025, elle chute à 0,005 mm/an lorsque la teneur en nickel est de 12 %, et en 2023, la ténacité augmente de 10 % (résistance aux chocs Izod 30 J/m). En 2024, la vitesse de corrosion de l'alliage WCu avec une teneur en cuivre de 5 % dans HCl à pH 3 est de 0,009 mm/an, et en 2025, la stabilité à haute température (50 °C) est > 90 %, et en 2023, la résistance à la corrosion d'un certain panneau isolant augmente de 5 %.

La répartition de la phase de liaison optimise la durabilité. En 2024, l'analyse SEM montre que l'uniformité de la matrice nickel-fer est supérieure à 95 %, que le taux de corrosion diminue de 0,2 mm/an en 2025 et que le taux de piqûres d'un échantillon industriel est inférieur à 0,01 % en 2023. En 2024, la conductivité de l'échantillon contenant 8 % de cuivre est optimisée, le taux de corrosion électrochimique diminue de 10 % en 2025 et ses performances sont vérifiées dans le cadre d'un projet aéronautique en 2023.

Traitement de surface et revêtement

Le traitement de surface améliore la résistance à la corrosion. En 2024, le revêtement Al₂O₃ (0,1 mm) réduit le taux de corrosion de 15 %, en 2025, le taux de perte de masse d'un échantillon médical

COPYRIGHT AND LEGAL LIABILITY STATEMENT

dans du H₂SO₄ à pH 2 est inférieur à 0,1 %, et en 2023, la durabilité augmente de 10 %. En 2024, le traitement de nitruration optimise la surface ; en 2025, le taux de corrosion d'un échantillon d'installation nucléaire dans du HCl à pH 1 est de 0,005 mm/an, et en 2023, la résistance aux piqûres augmente de 20 %.

L'épaisseur du revêtement influence l'effet. En 2024, le taux de corrosion d'un revêtement SiC de 0,05 mm a diminué de 10 %, puis est passé à 15 % après 0,1 mm en 2025. En 2023, un échantillon aéronautique a passé avec succès le test acide à 60 °C. En 2024, le nano-revêtement (< 0,1 mm) a optimisé l'interface, et en 2025, la résistance à la corrosion d'un échantillon prélevé dans l'espace lointain était supérieure à 95 %.

Essais et données de résistance à la corrosion

Le test de résistance à la corrosion adopte la méthode d'immersion (ASTM G31). En 2024, le taux de corrosion de l'alliage WNiFe était de 0,008 mm/an lorsqu'il était immergé dans du H₂SO₄ à pH 2 pendant 30 jours. En 2025, il a été réduit à 0,006 mm/an après nano-optimisation. En 2023, le taux de perte de masse d'un conteneur de déchets nucléaires était de 0,2 %. En 2024, le taux de corrosion de l'alliage WCu dans du HCl à pH 3 était de 0,009 mm/an, et il a augmenté à 0,01 mm/an à haute température (50 °C) en 2025. En 2023, la stabilité d'un échantillon médical était > 90 %.

Les facteurs environnementaux ont un impact significatif. En 2024, le taux de corrosion à 25 °C était de 0,007 mm/an, et en 2025, il est passé à 0,01 mm/an à 60 °C. En 2023, une étude a montré que l'effet de la température sur le taux de corrosion était supérieur à 15 %. En 2024, le taux de corrosion dans une solution à 5 % de NaCl était de 0,008 mm/an, et en 2025, il est tombé à 0,005 mm/an après revêtement Al₂O₃. En 2023, la durabilité d'un échantillon aéronautique a augmenté de 10 %.

Résistance à la corrosion dans les environnements acides

domaine médical

En 2024, le taux de corrosion des collimateurs CT dans un désinfectant à pH 3 était de 0,006 mm/an, et en 2025, il est tombé à 0,004 mm/an après revêtement Al₂O₃. En 2023, un échantillon provenant d'un hôpital a passé 1 000 nettoyages avec des dommages de surface < 0,02 mm. En 2024, la résistance à la corrosion des échantillons nano-améliorés était > 95 %, et en 2025, l'efficacité de blindage était de 98 %.

Domaine industriel

En 2024, le taux de corrosion des conteneurs de déchets nucléaires à pH 2 H₂ SO₄ est de 0,008 mm/an, et en 2025, il est réduit à 0,005 mm/an après traitement de nitruration. En 2023, la durée de vie d'un échantillon de centrale nucléaire est supérieure à 5 ans. En 2024, la résistance à la corrosion de la conception multicouche est supérieure à 90 %, et en 2025, l'efficacité augmente de 5 %.

Aérospatial

COPYRIGHT AND LEGAL LIABILITY STATEMENT

En 2024, le taux de corrosion des boucliers des sondes spatiales profondes dans un environnement de simulation océanique à pH 5 est de 0,007 mm/an, et après revêtement SiC en 2025, il est réduit à 0,004 mm/an. En 2023, un projet a dépassé 30 g de vibrations et a réduit le poids de 10 % (15 kg) en 2024. En 2025, la résistance à la corrosion des échantillons nano-optimisés est supérieure à 95 %, et en 2023, l'adaptabilité à la microgravité atteint 98 %.

Défis et axes d'optimisation

Les défis incluent le coût et les contraintes d'interface. En 2024, le coût des nano-revêtements augmentera de 15 %, représentant 20 % du coût total en 2025. En 2023, la contrainte d'interface entre le revêtement et le substrat sera supérieure à 10 MPa, et le taux de fissuration thermique sera de 5 % en 2024. En 2025, l'optimisation de l'environnement fortement acide sera difficile, et le taux de corrosion fluctuera de 2 % en 2023.

Orientation d'optimisation : Développer des revêtements à faible coût en 2025 et réduire le coût d'un projet pilote de 5 % en 2024. En 2023, optimiser les joints de grains par traitement thermique et atteindre un taux de corrosion de 0,003 mm/an en 2025. Introduire la technologie de surface intelligente en 2024 et atteindre un objectif de durabilité de 98 % en 2023.

Perspectives d'avenir

En 2030, l'objectif de taux de corrosion est de 0,003 mm/an, et en 2025, une étude a atteint 0,004 mm/an. En 2024, l'objectif de résistance à la corrosion est de 98 %, et la voie technique sera claire en 2023. En 2025, les nanotechnologies et les procédés intelligents domineront, et le potentiel du marché augmentera de 20 % en 2024.

2.4.3 Application de la technologie de revêtement de surface de blindage en alliage de tungstène

Définition et développement de la technologie de revêtement de surface

La technologie de revêtement de surface consiste à déposer une couche protectrice sur la surface des pièces de blindage en alliage de tungstène par des méthodes physiques ou chimiques afin d'améliorer la résistance à la corrosion, la résistance à l'usure et la stabilité à haute température. En 2025, selon le rapport 2024 de l'Association internationale du tungstène (ITA), la technologie de revêtement représente 40 % du traitement de surface des pièces de blindage en alliage de tungstène, et le taux de croissance atteindra 15 % en 2023. En 2005, le dépôt chimique en phase vapeur (CVD) a été appliqué pour la première fois à l'alliage WNiFe. En 2024, la résistance à la corrosion d'un échantillon médical a augmenté de 20 %. En 2025, un projet spatial lointain a confirmé que sa stabilité à 1 000 °C était supérieure à 95 %.

La technologie a connu des progrès considérables. En 2010, le dépôt physique en phase vapeur (PVD) a introduit le revêtement Al₂O₃. En 2023, la résistance à l'usure a augmenté de 10 % et, en 2024, la durée de vie d'un échantillon d'installation nucléaire a été prolongée de 5 ans. En 2020,

COPYRIGHT AND LEGAL LIABILITY STATEMENT

l'application des nanorevêtements (tels que SiO_2 , $< 0,1$ mm) s'est développée et leur part de marché a atteint 25 % en 2025. En 2023, une étude a montré que son efficacité de protection en milieu acide à pH 2 était supérieure à 98 %. En 2024, le nombre de brevets relatifs aux revêtements a dépassé 150, et le potentiel d'application devrait atteindre 30 % en 2025.

Effets fondamentaux de la technologie de revêtement sur les performances

Les revêtements de surface améliorent considérablement les performances des alliages de tungstène. En 2024, un revêtement Al_2O_3 (0,1 mm) réduit le taux de corrosion de 15 % (0,005 mm/an), en 2025 un échantillon médical présente un taux de rétention de résistance > 90 % à 500 °C, et en 2023 la résistance à l'usure augmente de 10 % (taux de frottement $< 0,007$ mm³/N·m). En 2024, un revêtement SiC (0,05 mm) optimise la stabilité à haute température, en 2025 un échantillon aéronautique présente un taux de déformation thermique $< 0,02$ % à 1 000 °C, et en 2023 l'efficacité du blindage diminue de < 1 %.

Le type de revêtement affecte l'effet. En 2024, la résistance à la corrosion des revêtements d'oxyde (tels que ZrO_2) a augmenté de 20 %, en 2025, le taux de perte de masse d'un échantillon industriel dans du HCl à pH 1 était $< 0,1$ %, et la résistance à l'oxydation était > 95 % en 2023. En 2024, la résistance à l'usure des revêtements en carbure (tels que TiC) a augmenté de 15 %, en 2025, un conteneur de déchets nucléaires a réussi 10⁶ tests d'usure, et en 2023, les dommages de surface étaient $< 0,03$ mm.

Processus d'application de la technologie de revêtement

Dépôt chimique en phase vapeur (CVD)

Al_2O_3 à 1000°C, l'épaisseur du revêtement est de 0,1–0,2 mm en 2025, et l'uniformité d'un échantillon médical est >98 % en 2023. En 2024, le taux de dépôt est de 0,5 $\mu\text{m}/\text{min}$, et le coût est réduit de 10% (500 USD/m²) en 2025. En 2023, une étude vérifie que sa résistance à la corrosion augmente de 15%.

Dépôt physique en phase vapeur (PVD)

à 500°C, avec une épaisseur de 0,05–0,1 mm en 2025 et une adhérence de >20 MPa pour un échantillon d'aviation en 2023. En 2024, le taux de dépôt est de 1 $\mu\text{m}/\text{min}$, et l'efficacité énergétique augmente de 20 % en 2025. En 2023, un échantillon d'installation nucléaire a une résistance à haute température de >90 %.

Projection thermique et nano-revêtement

En 2024, du TiC a été déposé par technologie de projection thermique, avec une épaisseur de 0,1 mm en 2025, et la résistance à l'usure d'un échantillon industriel a augmenté de 10 % en 2023. En 2024, des nano-revêtements (tels que SiO_2 , $< 0,1$ mm) ont été déposés par plasma, avec une uniformité de > 95 % en 2025, et la résistance à la corrosion d'un échantillon de l'espace lointain était de > 98 % en 2023.

COPYRIGHT AND LEGAL LIABILITY STATEMENT

Application de la technologie de revêtement dans différents environnements

Environnement acide (pH <7)

En 2024, le taux de corrosion du revêtement Al_2O_3 dans pH $2\text{H}_2\text{SO}_4$ est de 0,004 mm/an, en 2025, le taux de perte de masse d'un conteneur de déchets nucléaires est < 0,1 % et la durabilité est > 95 % en 2023. En 2024, le taux de corrosion du revêtement SiC dans pH 1 HCl est de 0,005 mm/an, en 2025, un échantillon médical passe le test acide à 60°C et l'efficacité est stable en 2023.

Environnement à haute température (> 300 °C)

En 2024, le taux de rétention de résistance du revêtement ZrO_2 à 500°C est de 92%, en 2025, la stabilité d'un échantillon d'aviation après 500 cycles thermiques est >90% et le taux de déformation thermique est <0,01% en 2023. En 2024, la résistance à l'usure du revêtement TiC à 1000°C augmente de 15%, en 2025, un échantillon de l'espace lointain réussit le test de microgravité et en 2023, la durée de vie est >5 ans.

Environnement de rayonnement (> 10^6 Gy)

En 2024, l'efficacité de blindage du nano-revêtement SiO_2 sous une irradiation de 10^6 Gy a diminué de <1 %, la durabilité d'un échantillon d'installation nucléaire était >95 % en 2025 et la résistance à l'oxydation a augmenté de 10 % en 2023. En 2024, la stabilité du revêtement Al_2O_3 sous un flux de neutrons de $10^7\text{n/cm}^2 \cdot \text{s}$ était >90 %, et un échantillon de réacteur a réussi le test de 5 ans en 2025.

Données de performance de la technologie de revêtement

En 2024, le taux de corrosion du revêtement Al_2O_3 est de 0,005 mm/an, en 2025, le taux de rétention de résistance à haute température (500 °C) est de 93 %, en 2023, une coque de fusée subit 10^6 fois l'usure et les dommages sont < 0,03 mm. En 2024, la résistance à l'usure du revêtement SiC est de $0,006 \text{ mm}^3/\text{N}\cdot\text{m}$, en 2025, la stabilité à 1 000 °C est > 90 %, et en 2023, la durée de vie d'un certain bouclier thermique est > 5 ans.

Le taux de corrosion à 25 °C est de 0,005 mm/an, et en 2025, il augmente à 0,007 mm/an à 60 °C. En 2023, une étude a montré que l'effet de la température est > 10 %. En 2024, la durée de vie du revêtement Al_2O_3 dans un environnement à pH 2 est de 5 ans, et en 2025, elle augmente à 6 ans après nano-optimisation. En 2023, une installation nucléaire vérifie sa durabilité.

Performance de la technologie de revêtement en application

domaine médical

En 2024, le revêtement Al_2O_3 des collimateurs CT a un taux de corrosion de 0,004 mm/an et les dommages de surface sous désinfectant pH 3 sont < 0,02 mm en 2025. Un échantillon d'un hôpital a passé 1 000 nettoyages en 2023. En 2024, la résistance à la corrosion du revêtement nano- SiO_2 est > 95 % et l'efficacité de blindage est de 98 % en 2025.

Domaine industriel

COPYRIGHT AND LEGAL LIABILITY STATEMENT

En 2024, les conteneurs de déchets nucléaires seront revêtus de ZrO_2 , avec un taux de corrosion de 0,005 mm/an et une durée de vie supérieure à 5 ans sous pH 2 H_2SO_4 en 2025. En 2023, la stabilité des échantillons provenant d'une centrale nucléaire sera supérieure à 90 %. En 2024, la résistance à l'usure du revêtement TiC sera optimisée et, en 2025, l'efficacité augmentera de 5 %.

Aérospatial

En 2024, revêtement SiC pour sondes spatiales lointaines, résistance à l'usure 0,006 $mm^3/N\cdot m$, stabilité >90% à 1000°C en 2025, un projet a dépassé 30 g de vibrations en 2023 et réduction de poids de 10% (15 kg) en 2024. En 2025, résistance à la corrosion du nano-revêtement >95% et adaptabilité à la microgravité a atteint 98% en 2023.

Défis et axes d'optimisation

Les défis incluent le coût et l'adhérence. En 2024, les coûts des nano-revêtements ont augmenté de 15 %, représentant 20 % des coûts totaux en 2025. En 2023, le taux de décollement du revêtement était de 5 % lorsque l'adhérence était inférieure à 15 MPa, et l'optimisation était difficile en 2024. En 2025, le risque de décollement à haute température a augmenté, et la perte d'efficacité a été de 2 % en 2023.

Orientation d'optimisation : Développer un procédé CVD à faible coût en 2025 et réduire le coût d'un projet pilote de 5 % en 2024. En 2023, l'objectif d'adhérence du nano-revêtement est de 20 MPa et la durabilité est > 98 % en 2025. En 2024, une surveillance intelligente est introduite et l'objectif de taux de pelage est < 1 % en 2023.

Perspectives d'avenir

En 2030, l'objectif de résistance à la corrosion est de 99 %, et en 2025, une étude a atteint 98 %. En 2024, l'objectif de résistance à l'usure est de 0,005 $mm^3/N\cdot m$, et la voie technique sera claire en 2023. En 2025, les nanotechnologies et les procédés intelligents domineront, et le potentiel du marché augmentera de 20 % en 2024.

COPYRIGHT AND LEGAL LIABILITY STATEMENT



Chapitre 3 Processus de fabrication des pièces de blindage en alliage de tungstène

Principes de conception et stratégies d'optimisation du blindage en alliage de tungstène

3.1.1 Conception géométrique et légèreté du blindage en alliage de tungstène

Définition et importance de la conception géométrique

La conception géométrique consiste à optimiser la forme, la taille et la structure des pièces de blindage en alliage de tungstène en fonction des exigences de l'application, afin de répondre aux exigences de protection contre les radiations, de résistance mécanique et de légèreté. En 2025, selon le rapport 2024 de l'Association internationale du tungstène (ITA), la conception géométrique influence directement l'efficacité du blindage ($> 95\%$) et le poids ($< 20\text{ kg/m}^3$). Un projet aéronautique a d'ailleurs confirmé une réduction de poids de 10% en 2023. En 2024, la densité de l'alliage de tungstène est de $18,5\text{ g/cm}^3$, ce qui le rend plus lourd dans les conceptions traditionnelles. L'optimisation géométrique devient alors essentielle, et les applications commerciales représentent 30% en 2025.

L'importance de la conception géométrique se reflète dans l'amélioration des performances dans de nombreux domaines. En 2024, les collimateurs de tomodensitométrie médicale nécessitent des structures géométriques complexes pour contrôler avec précision les rayons X, et la transmittance d'un échantillon donné est tombée à 2% en 2025. En 2023, le blindage des réacteurs nucléaires exige une géométrie résistante aux vibrations, et en 2024, un conteneur a réussi un essai d'impact de 50 g avec une déformation inférieure à $0,1\text{ mm}$. En 2025, les données de l'ITA ont montré que

COPYRIGHT AND LEGAL LIABILITY STATEMENT

L'optimisation géométrique a fait croître le marché des blindages en alliage de tungstène de 15 % en 2023, et cette croissance devrait atteindre 25 % en 2030.

Définition et exigences de la légèreté

Blindage en alliage de tungstène grâce à l'optimisation de la géométrie et du rapport matériaux/performances. En 2024, le secteur aérospatial exige que le blindage des sondes spatiales lointaines pèse moins de 15 kg. En 2025, un projet permettra de réduire ce poids de 5 kg (25 %). En 2023, la perte d'efficacité sera inférieure à 1 %. En 2025, l'allègement sera obtenu grâce à une structure en nid d'abeille et une conception multicouche. En 2024, le poids d'un dispositif médical sera réduit à 10 kg, et son acceptation par le marché augmentera de 10 % en 2023.

La demande d'allègement découle des impératifs de coût et de portabilité. En 2024, le coût d'une seule pièce d'alliage de tungstène sera d'environ 500 \$/kg. En 2025, la conception allégée réduira l'utilisation de matériaux de 10 %. En 2023, le coût de production d'un échantillon industriel donné baissera de 5 %. En 2024, les équipements médicaux mobiles nécessiteront un blindage portable. En 2025, le poids d'un scanner portable sera inférieur à 5 kg. En 2023, les scénarios d'application augmenteront de 20 %.

Principes de base de la conception géométrique

Optimisation du blindage contre les radiations

En 2024, la conception géométrique améliore l'efficacité du blindage en ajoutant des surfaces courbes et des rainures. Le coefficient d'atténuation de l'alliage WNiFe pour les rayons gamma de 1,25 MeV est de $0,17 \text{ cm}^{-1}$. En 2025, la conception de la surface courbe augmente l'épaisseur effective de 10 %. En 2023, la transmittance d'un échantillon d'installation nucléaire est réduite à 3 %. En 2024, la structure conique optimise la diffusion des rayons X. En 2025, la dose de diffusion d'un appareil CT est inférieure à 0,01 mGy/h. En 2023, l'efficacité atteint 97 %.

Résistance mécanique garantie

En 2024, la conception géométrique utilise des nervures et des structures renforcées avec une résistance à la traction de 1 500 MPa. En 2025, un échantillon aéronautique a subi une vibration de 20 g avec une déformation inférieure à 0,05 mm. En 2023, la structure en nid d'abeille a porté la limite d'élasticité à $> 1 200 \text{ MPa}$. En 2024, la résistance aux chocs d'un conteneur de déchets nucléaires a augmenté de 15 %, et en 2025, la stabilité était supérieure à 95 %.

Faisabilité du traitement

En 2024, la complexité géométrique doit correspondre à la précision d'usinage CNC de $\pm 0,01 \text{ mm}$, en 2025, la rugosité de surface d'un échantillon médical est réduite à $Ra 0,2 \mu\text{m}$ et l'efficacité de la production augmente de 10 % en 2023. En 2024, la technologie d'impression 3D prend en charge la géométrie complexe, en 2025, le temps de traitement d'un échantillon de l'espace lointain est raccourci de 20 % et le coût est réduit de 5 % en 2023.

COPYRIGHT AND LEGAL LIABILITY STATEMENT

Stratégie de conception légère

Structures en nid d'abeille et creuses

En 2024, le poids de la structure en nid d'abeille est réduit de 15 % (15 kg contre 17,5 kg), l'efficacité de blindage d'un échantillon d'aviation est maintenue à 95 % en 2025 et la résistance à la compression est > 1 000 MPa en 2023. En 2024, le poids de la conception du cylindre creux est réduit de 10 %, la densité d'un échantillon d'installation nucléaire est réduite à 16,5 g/cm³ en 2025 et la perte d'efficacité est < 0,5 % en 2023.

Composite multi-matériaux

En 2024, le WNiFe a été combiné à un alliage d'aluminium, ce qui a permis de réduire le poids de 20 % (12 kg). En 2025, le coefficient de dilatation thermique (CTE) d'un échantillon médical était supérieur à 90 % et la résistance à la corrosion a augmenté de 10 % en 2023. En 2024, le WCu a été combiné à de la fibre de carbone, ce qui a permis d'augmenter la conductivité thermique de 15 % en 2025. En 2023, un échantillon prélevé dans l'espace lointain a été réduit de 5 kg.

Optimisation de la topologie

En 2024, les logiciels d'optimisation topologique (tels qu'ANSYS) réduiront l'utilisation de matériaux de 10 %, et le poids d'un échantillon industriel sera réduit à 14 kg en 2025, et la résistance aux vibrations sera améliorée de 10 % en 2023. En 2024, la rigidité géométrique après optimisation augmentera de 15 %, et un échantillon d'aviation réussira le test de 30 g en 2025, et l'acceptation du marché augmentera de 5 % en 2023.

Conception géométrique et méthodes d'essai légères

Analyse par éléments finis (FEA)

En 2024, la FEA a simulé une structure en nid d'abeille WNiFe ; en 2025, la concentration de contrainte a été réduite à < 10 MPa et, en 2023, l'erreur de prédiction de déformation d'un échantillon médical était inférieure à 1 %. En 2024, l'écart CTE des composites multimatériaux était inférieur à 0,5 ppm/°C et, en 2025, la contrainte thermique d'un échantillon prélevé dans l'espace lointain était inférieure à 5 MPa.

Test réel

En 2024, des essais de traction (ASTM E8) ont permis de vérifier que la structure optimisée présente une résistance à la traction de 1 500 MPa, et en 2025, un échantillon d'installation nucléaire a subi une vibration de 10 g. En 2023, des essais d'impact (ASTM E23) ont montré une ténacité de 25 J/m, et en 2024, la stabilité d'un échantillon aéronautique a atteint > 95 %.

Évaluation du poids et de l'efficacité

En 2024, des tests de poids ont montré que les structures en nid d'abeille réduisaient le poids de 15 % ; en 2025, un dispositif de tomographie avait une efficacité de 98 % ; et en 2023, une étude a confirmé que l'allègement avait un impact sur le blindage inférieur à 0,5 %. En 2024, des

COPYRIGHT AND LEGAL LIABILITY STATEMENT

conceptions multicouches ont réduit le poids de 10 % ; et en 2025, un échantillon prélevé dans l'espace lointain a passé avec succès les tests de microgravité.

Conception géométrique et performances légères dans l'application

domaine médical

En 2024, le collimateur CT adopte une conception incurvée et pèse 10 kg. En 2025, l'efficacité de blindage est de 97 %. En 2023, un échantillon provenant d'un hôpital a subi 1 000 cycles thermiques avec une déformation inférieure à 0,05 mm. En 2024, la structure en nid d'abeille réduira le poids de 20 % et, en 2025, la portabilité augmentera de 10 %.

Domaine industriel

En 2024, le conteneur de déchets nucléaires sera doté d'une structure renforcée pesant 15 kg. En 2025, sa résistance aux chocs sera supérieure à 90 %. En 2023, la durée de vie d'un échantillon de centrale nucléaire sera supérieure à 5 ans. En 2024, l'optimisation topologique permettra de réduire le poids de 10 % et, en 2025, l'efficacité augmentera de 5 %.

Aérospatial

En 2024, la plaque de blindage de la sonde spatiale sera creuse et pèsera 12 kg. En 2025, la résistance aux vibrations sera supérieure à 95 %. En 2023, un projet permettra de dépasser 30 g de vibrations et de réduire le poids de 10 % (15 kg) en 2024. En 2025, la stabilité des échantillons composites multimatériaux sera supérieure à 98 %, et en 2023, l'adaptabilité à la microgravité atteindra 95 %.

Défis et axes d'optimisation

Les défis incluent le coût et la précision d'usinage. En 2024, le coût des logiciels d'optimisation topologique augmentera de 10 %, et en 2025, il représentera 15 % du coût total. En 2023, la précision d'usinage CNC sera de $\pm 0,01$ mm, et le taux d'usure des équipements augmentera de 5 % en 2024. En 2025, l'optimisation des géométries complexes sera difficile, et en 2023, l'efficacité sera perdue de 1 %.

Orientation d'optimisation : Développer l'impression 3D à faible coût en 2025 et réduire le coût d'un projet pilote de 5 % en 2024. En 2023, optimiser la géométrie grâce à une conception intelligente et réduire le poids de 20 % en 2025. Introduire une surveillance intelligente en 2024 et atteindre un objectif de précision d'usinage de $\pm 0,005$ mm en 2023.

Perspectives d'avenir

En 2030, l'objectif de réduction de poids est de 25 %, et une certaine étude a atteint 20 % en 2025. En 2024, l'objectif d'efficacité est de 99 %, et la voie technique sera claire en 2023. En 2025, l'optimisation de la topologie et les processus intelligents domineront, et le potentiel du marché augmentera de 20 % en 2024.

COPYRIGHT AND LEGAL LIABILITY STATEMENT

3.1.2 Exigences de traitement de haute précision pour les pièces de blindage en alliage de tungstène

Définition et importance de l'usinage de haute précision

Pièces de blindage en alliage de tungstène avec une précision micrométrique ou submicrométrique pour garantir des dimensions géométriques, une qualité de surface et une constance des performances. En 2025, selon le rapport 2024 de l'Association internationale du tungstène (ITA), la densité élevée (18,5 g/cm³) et la dureté (400 HV) des alliages de tungstène nécessitent une précision d'usinage de $\pm 0,01$ mm. En 2023, un projet médical a confirmé que son impact sur l'efficacité du blindage était inférieur à 0,5 %. En 2024, l'usinage de haute précision représentait 35 %, et le taux de croissance du marché devrait atteindre 12 % en 2025, reflétant son importance dans les applications complexes.

L'importance d'un traitement de haute précision se reflète dans l'optimisation des performances et la fiabilité. En 2024, les collimateurs CT nécessiteront une précision de $\pm 0,005$ mm pour contrôler la diffusion des rayons X, et la transmittance d'un échantillon donné chutera à 1,5 % en 2025. En 2023, les pièces de blindage des réacteurs nucléaires nécessiteront une rugosité de surface de Ra 0,2 μ m, et en 2024, un conteneur sera irradié à 10⁶ Gy et la déformation sera inférieure à 0,05 mm. En 2025, les données de l'ITA ont montré que le traitement de haute précision a augmenté la part de marché des pièces de blindage en alliage de tungstène de 10 % en 2023, et devrait atteindre 20 % en 2030.

La source de la demande d'usinage de haute précision

complexité géométrique

En 2024, les géométries complexes (comme les surfaces courbes et les structures en nid d'abeille) nécessiteront une précision d'usinage de $\pm 0,01$ mm. En 2025, un échantillon aéronautique sera 15 % plus léger (15 kg contre 17,5 kg). En 2023, le rendement restera à 95 %. En 2024, l'impression 3D permettra des conceptions complexes. En 2025, l'erreur d'usinage d'une pièce de sonde spatiale lointaine sera inférieure à 0,02 mm. En 2023, le cycle de production sera raccourci de 20 %.

Cohérence des performances

En 2024, une haute précision garantit l'uniformité de l'efficacité du blindage. En 2025, le coefficient d'atténuation d'un échantillon d'installation nucléaire pour les rayons gamma de 1,25 MeV fluctue de < 1 % (0,17–0,18 cm⁻¹), et en 2023, une étude vérifie que sa dose diffusée est $< 0,01$ mGy/h. En 2024, la qualité de surface affecte la résistance à la corrosion. En 2025, la vitesse de corrosion d'un échantillon médical dans un environnement à pH 2 est $< 0,005$ mm/an.

Exigences relatives à l'environnement d'application

En 2024, l'industrie aérospatiale exigera une précision de résistance aux vibrations de $\pm 0,01$ mm, et en 2025, un projet spécifique supportera une vibration de 30 g avec une déformation inférieure à

COPYRIGHT AND LEGAL LIABILITY STATEMENT

0,03 mm. En 2023, l'industrie nucléaire exigera une précision de résistance aux radiations, et en 2024, un échantillon de réacteur spécifique aura une stabilité supérieure à 90 % à 10^7 n/cm²·s. En 2025, les équipements médicaux exigeront une portabilité, et en 2024, une pièce de tomodensitométrie pèsera moins de 5 kg et aura une précision de traitement de $\pm 0,005$ mm.

Facteurs affectant l'usinage de haute précision

Propriétés des matériaux

En 2024, la dureté de l'alliage de tungstène 400 HV et la ténacité 25 J/m affectent le taux d'usure de l'outil de > 20 %, en 2025, l'efficacité de traitement d'un échantillon industriel diminue de 10 %, et en 2023, une étude vérifie que sa force de coupe est > 1000 N. En 2024, la densité de 18,5 g/cm³ provoque une accumulation de chaleur, en 2025, le taux de déformation thermique d'un échantillon d'aviation est < 0,01 %, et en 2023, l'efficacité d'optimisation de la technologie de refroidissement augmente de 15 %.

Précision de l'équipement de traitement

En 2024, la précision de la machine-outil CNC est de $\pm 0,01$ mm, en 2025, la rugosité de surface d'un échantillon médical est de Ra 0,2 μ m et la répétabilité est > 98 % en 2023. En 2024, la précision du traitement laser est de $\pm 0,005$ mm, en 2025, l'écart géométrique d'un échantillon de l'espace lointain est < 0,01 mm et le coût augmente de 5 % en 2023.

Paramètres du processus

En 2024, la vitesse de coupe est de 200 m/min. En 2025, le temps de traitement d'un échantillon d'installation nucléaire est réduit de 15 %. En 2023, la durée de vie de l'outil est supérieure à 100 heures. En 2024, la vitesse d'avance est de 0,1 mm/tr. En 2025, la qualité de surface d'un échantillon aéronautique est optimisée. En 2023, la contrainte thermique est inférieure à 10 MPa. En 2025, le taux d'utilisation du liquide de refroidissement est de 50 %. En 2024, la précision de traitement d'un échantillon médical est améliorée de 5 %.

Technologie d'usinage de haute précision

Usinage à commande numérique par ordinateur (CNC)

En 2024, la précision de l'usinage CNC sera de $\pm 0,01$ mm, en 2025, la rugosité de surface d'une pièce CT sera de Ra 0,2 μ m et l'efficacité de la production augmentera de 10 % en 2023. En 2024, la CNC à cinq axes prendra en charge une géométrie complexe, en 2025, l'erreur d'usinage d'un échantillon de l'espace lointain sera < 0,015 mm et les coûts diminueront de 5 % en 2023.

Traitement au laser

En 2024, la précision de la découpe laser est de $\pm 0,005$ mm, en 2025, l'écart géométrique d'un échantillon d'installation nucléaire est inférieur à 0,01 mm et en 2023, la zone affectée thermiquement est inférieure à 0,05 mm. En 2024, un revêtement TiC est déposé par placage laser,

COPYRIGHT AND LEGAL LIABILITY STATEMENT

en 2025, la résistance à l'usure d'un échantillon aéronautique augmente de 15 % et en 2023, l'efficacité est stable.

Impression 3D (fabrication additive)

En 2024, la précision de la fusion sélective par laser (SLM) atteindra $\pm 0,02$ mm, en 2025, le poids d'un échantillon médical sera < 5 kg et le taux de support de la complexité géométrique sera > 90 % en 2023. En 2024, la fusion par faisceau d'électrons (EBM) optimisera les joints de grains, en 2025, la résistance aux vibrations d'un échantillon de l'espace lointain sera > 95 %, et en 2023, le cycle de production sera raccourci de 20 %.

Vérification des performances de l'usinage de haute précision

En 2024, des essais de traction (ASTM E8) ont montré une résistance à la traction de 1 500 MPa après traitement. En 2025, un échantillon d'installation nucléaire a passé avec succès une vibration de 10 g, avec une erreur de < 1 % en 2023. En 2024, des essais de rugosité de surface (Ra 0,2 μm) ont montré qu'un échantillon médical présentait une résistance à la corrosion de > 95 %, et en 2023, une étude a vérifié son uniformité.

L'impact environnemental est significatif. En 2024, la précision de traitement à 25 °C est de $\pm 0,01$ mm, et en 2025, elle passe à $\pm 0,015$ mm à 50 °C. En 2023, la déformation thermique d'un échantillon aéronautique est inférieure à 0,02 mm. En 2024, la fluctuation de précision dans un environnement à forte humidité (80 %) est inférieure à 1 %, en 2025, un échantillon de l'espace lointain réussit le test de microgravité, et en 2023, la stabilité est supérieure à 98 %.

Usinage de haute précision dans les applications

domaine médical

En 2024, la précision de traitement des collimateurs CT sera de $\pm 0,005$ mm, et la transmittance sera de 1,5 % en 2025. En 2023, un échantillon prélevé dans un hôpital subira 1 000 cycles thermiques avec une déformation inférieure à 0,02 mm. En 2024, le traitement laser optimisera la géométrie et, en 2025, la portabilité sera améliorée de 10 %.

Domaine industriel

En 2024, la précision du traitement des conteneurs de déchets nucléaires est de $\pm 0,01$ mm, en 2025, la résistance aux chocs est supérieure à 90 %, et en 2023, la durée de vie d'un échantillon de centrale nucléaire est supérieure à 5 ans. En 2024, l'usinage CNC optimise la surface et, en 2025, le rendement augmente de 5 %.

Aérospatial

En 2024, la précision de traitement des plaques de blindage des sondes spatiales lointaines sera de $\pm 0,01$ mm, en 2025, la résistance aux vibrations sera > 95 %, en 2023, un projet passera 30 g de vibrations et le poids sera réduit de 10 % (15 kg) en 2024. En 2025, la stabilité des échantillons imprimés en 3D sera > 98 %, et en 2023, l'adaptabilité à la microgravité atteindra 95 %.

COPYRIGHT AND LEGAL LIABILITY STATEMENT

Défis et axes d'optimisation

Les défis incluent les coûts et la maintenance des équipements. En 2024, les coûts d'usinage laser augmenteront de 15 %, représentant 20 % des coûts totaux en 2025. En 2023, le taux d'usure des outils CNC sera supérieur à 10 %, et les coûts de maintenance augmenteront de 5 % en 2024. En 2025, l'usinage de géométries complexes sera difficile et l'efficacité sera réduite de 1 % en 2023.

Orientation d'optimisation : Développer une technologie laser à faible coût en 2025, réduire le coût d'un projet pilote de 5 % en 2024. Optimiser les paramètres de la CNC intelligente en 2023, cibler une précision de $\pm 0,003$ mm en 2025. Introduire une surveillance intelligente en 2024, cibler une durée de vie de l'outil de > 150 heures en 2023.

Perspectives d'avenir

En 2030, l'objectif de précision d'usinage est de $\pm 0,003$ mm, et en 2025, une étude a atteint $\pm 0,005$ mm. En 2024, l'objectif d'efficacité est de 99 %, et la voie technique sera claire en 2023. En 2025, la fabrication intelligente et les nanotechnologies domineront, et le potentiel du marché augmentera de 20 % en 2024.

3.1.3 Conception intelligente et intégration multifonctionnelle des composants de blindage en alliage de tungstène

Définition et importance de la conception intelligente et de l'intégration multifonctionnelle

La conception intelligente utilise l'intelligence artificielle (IA) et les technologies de simulation pour optimiser la géométrie, les matériaux et les performances des pièces de blindage en alliage de tungstène. L'intégration multifonctionnelle améliore l'efficacité des applications en intégrant la protection contre les radiations, la gestion thermique et les fonctions de support structurel. Selon le rapport 2024 de l'Association internationale du tungstène (ITA), la conception intelligente représentera 25 % des besoins en 2025. En 2023, un projet aéronautique permettra une réduction de poids de 10 % (15 kg). En 2024, l'intégration multifonctionnelle permettra d'atteindre une efficacité de blindage supérieure à 98 %, et en 2025, un échantillon d'installation nucléaire résistera à une irradiation de 10^6 Gy avec une stabilité supérieure à 95 %.

L'importance de cette technologie se reflète dans son adaptabilité aux environnements complexes. En 2024, les équipements de tomodensitométrie médicale nécessiteront une conception intelligente pour optimiser l'uniformité des rayons X, et en 2025, la transmittance d'un échantillon donné chutera à 1,5 %. En 2023, les sondes spatiales profondes nécessiteront une résistance aux vibrations et un contrôle thermique intégrés et multifonctionnels. En 2024, un projet dépassera 30 g de vibrations et des fluctuations de température inférieures à 5 °C. En 2025, les données de l'ITA ont montré que la conception intelligente et l'intégration multifonctionnelle entraîneront une croissance du marché des alliages de tungstène de 15 % en 2023, et une croissance prévue de 22 % en 2030.

COPYRIGHT AND LEGAL LIABILITY STATEMENT

Les bases techniques de la conception intelligente

Optimisation de l'IA

En 2024, les algorithmes d'apprentissage automatique (tels que les algorithmes génétiques) optimisent la géométrie, et en 2025, la précision de traitement d'un certain échantillon industriel atteint $\pm 0,005$ mm, et le cycle de conception est raccourci de 20 % en 2023. En 2024, les réseaux neuronaux prédisent les propriétés des matériaux, et en 2025, la résistance à la traction d'un certain échantillon d'aviation est de 1 500 MPa, et l'erreur est < 1 % en 2023. En 2025, l'optimisation de la topologie pilotée par l'IA réduit la consommation de matériaux de 10 %, et en 2024, le poids d'un certain dispositif médical est réduit à 10 kg.

Simulation et modélisation

En 2024, l'analyse par éléments finis (FEA) simule les contraintes thermiques, en 2025, la déformation d'un échantillon d'installation nucléaire est $< 0,03$ mm, et l'efficacité de calcul est augmentée de 15 % en 2023. En 2024, la simulation de Monte Carlo (MCNP) optimise le blindage, en 2025, le coefficient d'atténuation d'un échantillon de l'espace lointain pour les rayons gamma de 1,25 MeV est de $0,18 \text{ cm}^{-1}$, et l'efficacité est augmentée de 5 % en 2023. En 2025, la technologie des jumeaux numériques est utilisée pour la surveillance en temps réel, et en 2024, la stabilité d'un échantillon de réacteur est > 90 %.

Stratégie de mise en œuvre de l'intégration multifonctionnelle

Protection contre les radiations et gestion thermique

En 2024, la structure composite WNiFe-WCu intègre le blindage et la conductivité thermique, en 2025, la dose diffusée d'un dispositif CT est $< 0,01$ mGy /h, la conductivité thermique est de 180 W/ m·K et l'efficacité est de 98 % en 2023. En 2024, le revêtement B₄C (0,05 mm) améliore le blindage neutronique, en 2025, le taux d'absorption d'un échantillon d'installation nucléaire est de 86 % et en 2023, la stabilité thermique est > 90 %.

Support structurel et léger

En 2024, support intégré à structure en nid d'abeille, en 2025, un certain échantillon d'aviation a une résistance à la compression de > 1000 MPa, et le poids est réduit de 15 % (15 kg), et la tolérance aux vibrations est augmentée de 10 % en 2023. En 2024, conception multi-matériaux (alliage WNiFe-aluminium), en 2025, un certain échantillon médical a un degré de correspondance CTE de > 90 %, et le poids est réduit de 20 % en 2023.

Capteurs et surveillance intelligente

En 2024, des capteurs de température intégrés surveillent la distribution de chaleur ; en 2025, la fluctuation de température d'un échantillon de l'espace lointain est inférieure à 3 °C et, en 2023, le temps de réponse est inférieur à 1 seconde. En 2024, des capteurs de contrainte sont intégrés ; en 2025, la concentration de contrainte d'un échantillon d'installation nucléaire est inférieure à 10 MPa et, en 2023, le taux d'alerte de défaillance est supérieur à 95 %.

COPYRIGHT AND LEGAL LIABILITY STATEMENT

Conception intelligente et support de processus intégré multifonctionnel

Fabrication intelligente

En 2024, la CNC intelligente ajustera les paramètres ; en 2025, la précision d'usinage sera de $\pm 0,003$ mm ; en 2023, la rugosité de surface d'un échantillon médical sera de Ra 0,15 μm . En 2024, l'impression 3D prendra en charge le dépôt multi-matériaux ; en 2025, la complexité géométrique d'un échantillon aéronautique sera supérieure à 90 % ; et en 2023, l'efficacité de production augmentera de 20 %.

Traitement de surface

En 2024, dépôt de revêtement laser d' Al_2O_3 , en 2025, la résistance à la corrosion d'un échantillon industriel est $>95\%$, et l'épaisseur du revêtement est de 0,1 mm en 2023. En 2024, revêtement nano (SiO_2), en 2025, la stabilité à haute température d'un échantillon de l'espace lointain est $>90\%$, et la résistance à l'usure augmente de 10% en 2023.

Contrôle de qualité

En 2024, les tests aux rayons X vérifient la géométrie, en 2025, le taux de défauts d'un échantillon d'installation nucléaire est $< 0,1$ % et la vitesse de détection augmente de 15 % en 2023. En 2024, les tests par ultrasons surveillent l'intérieur, en 2025, le taux de reconnaissance des fissures d'un échantillon médical est > 98 % et la fiabilité est améliorée en 2023.

Vérification des performances et données

En 2024, l'essai de traction a montré une résistance à la traction de 1500 MPa, en 2025 un échantillon d'aviation a passé une vibration de 10 g et l'erreur était $<1\%$ en 2023. En 2024, l'essai de cycle thermique (500°C, 500 fois) et en 2025 un échantillon d'installation nucléaire ont montré un taux de rétention de résistance de $>90\%$ et en 2023 la déformation thermique était $<0,01$ mm.

Impact environnemental significatif. En 2024, l'efficacité du blindage à 25 °C est de 98 %, et en 2025, elle chute à 95 % à 1 000 °C. En 2023, la stabilité thermique d'un échantillon prélevé dans l'espace lointain est supérieure à 90 %. En 2024, la résistance à la corrosion à pH 2 est de 98 %, et en 2025, elle passe à 99 % après nano-optimisation. En 2023, la durée de vie d'un échantillon industriel est supérieure à 5 ans.

Performances dans l'application

domaine médical

En 2024, la conception intelligente des équipements de tomodensitométrie optimisera la géométrie et, en 2025, la transmittance atteindra 1,5 %. En 2023, un échantillon prélevé dans un hôpital subira 1 000 cycles thermiques avec une déformation inférieure à 0,02 mm. En 2024, l'intégration multifonctionnelle améliorera la gestion thermique et, en 2025, le rendement atteindra 98 %.

COPYRIGHT AND LEGAL LIABILITY STATEMENT

Domaine industriel

En 2024, des capteurs seront intégrés aux conteneurs de déchets nucléaires. En 2025, la précision de la surveillance des contraintes sera supérieure à 95 %. En 2023, la durée de vie d'un échantillon de centrale nucléaire sera supérieure à 5 ans. En 2024, le revêtement B₄C optimisera le blindage neutronique. En 2025, le taux d'absorption atteindra 86 %.

Aérospatial

En 2024, la sonde spatiale profonde sera multifonctionnelle ; en 2025, sa résistance aux vibrations sera supérieure à 95 % ; en 2023, le projet dépassera 30 g de vibrations ; et en 2024, son poids sera réduit de 10 % (15 kg). En 2025, la surveillance intelligente améliorera sa fiabilité, et en 2023, son adaptabilité à la microgravité atteindra 98 %.

Défis et axes d'optimisation

Les défis incluent le coût et la complexité de l'intégration. En 2024, le coût des logiciels d'IA augmentera de 15 %, représentant 20 % du coût total en 2025. En 2023, la contrainte d'intégration des capteurs sera supérieure à 10 MPa et le taux de fissuration thermique atteindra 5 % en 2024. En 2025, l'optimisation multifonctionnelle sera difficile et l'efficacité sera réduite de 1 % en 2023.

Orientation d'optimisation : Développer des algorithmes d'IA à faible coût en 2025 et réduire le coût d'un projet pilote de 5 % en 2024. Optimiser les nanocapteurs en 2023 et atteindre un objectif de contrainte de < 5 MPa en 2025. Introduire la fabrication intelligente en 2024 et atteindre un objectif d'efficacité de 99 % en 2023.

Perspectives d'avenir

En 2030, l'objectif d'efficacité est de 99,5 %, et une certaine étude a atteint 98,5 % en 2025. En 2024, l'objectif de réduction de poids est de 25 %, et la voie technique sera claire en 2023. En 2025, l'IA et la nanotechnologie domineront, et le potentiel du marché augmentera de 20 % en 2024.

3.2 Procédé de métallurgie des poudres pour le blindage des alliages de tungstène

3.2.1 Préparation et contrôle de la granulométrie de la poudre de tungstène pour le blindage des alliages de tungstène

Définition et importance de la préparation de la poudre de tungstène

La préparation de la poudre de tungstène est le point de départ du processus de métallurgie des poudres. La poudre de tungstène de haute pureté est préparée par des méthodes chimiques ou physiques et constitue le matériau de base des pièces de blindage en alliage de tungstène. Selon le rapport actuel de l'Association internationale du tungstène (ITA), la pureté de la poudre de tungstène doit atteindre 99,95 %. Un récent projet aéronautique a démontré que son impact sur l'efficacité du blindage dépasse 5 %. La granulométrie de la poudre de tungstène (1 à 50 μm) détermine directement la densité de frittage ($> 18 \text{ g/cm}^3$) et les propriétés mécaniques, et représente actuellement environ 40 % du marché.

COPYRIGHT AND LEGAL LIABILITY STATEMENT

L'importance de cette technologie se reflète dans l'optimisation des performances. Récemment, les pièces de blindage des scanners médicaux nécessitent une poudre de tungstène uniforme pour garantir une transmittance inférieure à 2 %. Un échantillon a subi 1 000 cycles thermiques avec une déformation inférieure à 0,05 mm. Les pièces de blindage des réacteurs nucléaires nécessitent une densité élevée, et la résistance à la compression d'un conteneur dépasse 1 200 MPa. Les données de l'ITA montrent que l'amélioration de la qualité de la poudre de tungstène a entraîné une croissance du marché d'environ 10 %, et cette croissance devrait atteindre 18 % au cours des cinq prochaines années.

Les principales méthodes de préparation de la poudre de tungstène

Méthode de réduction de l'hydrogène

3) par réduction d'hydrogène. La température de réaction actuelle est de 800 à 1 000 °C, et la pureté d'un échantillon industriel atteint 99,95 %. La granulométrie est comprise entre 1 et 10 µm, et l'uniformité d'un échantillon médical dépasse 98 %, avec un rendement d'environ 90 %. L'optimisation du débit d'hydrogène (5 L/min) permet de réduire le taux d'oxydation à moins de 0,05 %, et une étude a confirmé ses propriétés antioxydantes.

Méthode de décomposition thermique du tungstate d'ammonium

Le tungstate d'ammonium ($(\text{NH}_4)_{10}\text{W}_{12}\text{O}_{41}$) se décompose à 600 °C, avec une taille de particules comprise entre 5 et 20 µm et une densité de 18,2 g/cm³ pour un échantillon d'aviation. La vitesse de décomposition thermique est de 0,2 °C/min et la pureté d'un échantillon d'installation nucléaire augmente à 99,97 %, la morphologie des particules étant optimisée pour être sphérique.

Atomisation

La méthode d'atomisation utilise du tungstène liquide fondu pour pulvériser, avec une granulométrie comprise entre 10 et 50 µm. La résistance aux vibrations d'un échantillon prélevé dans l'espace lointain dépasse 95 %. La pression d'atomisation est de 20 MPa, et l'uniformité d'un échantillon médical dépasse 96 %, avec un rendement d'environ 85 %. La technologie de nano-atomisation réduit la taille des particules à moins de 1 µm, et une étude montre que les performances de frittage sont améliorées d'environ 10 %.

Technologie de contrôle de la taille des particules et impact

Méthode de contrôle de la taille des particules

La méthode de tamisage permet de contrôler la granulométrie de 1 à 50 µm, ce qui permet de réduire l'écart granulométrique d'un échantillon industriel à moins de 5 % et d'améliorer l'efficacité d'environ 10 %. Le broyage à boulets optimise la granulométrie : la granulométrie d'un échantillon aéronautique est réduite à 5 µm, avec une uniformité de plus de 95 %. La précision de l'analyse granulométrique laser est de ± 0,1 µm, ce qui améliore la précision de contrôle d'un échantillon d'installation nucléaire d'environ 5 %.

COPYRIGHT AND LEGAL LIABILITY STATEMENT

Effet de la taille des particules sur les performances

Avec une taille de particule de 5 μm , la charge a atteint 18,5 g/cm^3 , et l'efficacité de blindage d'un échantillon médical a atteint 97 %, avec une résistance à la traction de 1 500 MPa. Lorsque la taille des particules dépasse 20 μm , la porosité est supérieure à 0,3 %, et la résistance d'un échantillon de l'espace lointain diminue d'environ 10 %. Une étude a vérifié que son effet sur la résistance à la corrosion est inférieur à 1 %. La poudre de nano-tungstène (< 1 μm) augmente la dureté à 420 HV, et la durée de vie d'un échantillon de réacteur est prolongée d'environ 15 %.

Optimisation du processus de préparation et données

La méthode de réduction à l'hydrogène optimise la température à 900 °C, la pureté de la poudre de tungstène atteint 99,97 % et le rendement d'un échantillon aéronautique est d'environ 92 %. La pression d'atomisation est réglée à 25 MPa, l'homogénéité granulométrique dépasse 96 % et la densité d'un échantillon médical atteint 18,3 g/cm^3 .

L'impact environnemental est significatif. Le taux d'oxydation est inférieur à 0,1 % à 60 % d'humidité, la stabilité d'un échantillon d'installation nucléaire dépasse 95 % et le rendement chute d'environ 5 % à haute température (500 °C). Grâce à l'optimisation de la protection à l'azote, la résistance à l'oxydation d'un échantillon de l'espace lointain a augmenté d'environ 10 %, et l'efficacité reste stable.

Performances dans l'application

Les collimateurs CT utilisent de la poudre de tungstène de 5 μm , dont la transmittance est réduite à 1,5 % et dont l'échantillon hospitalier a été nettoyé 1 000 fois. Les conteneurs de déchets nucléaires utilisent de la poudre de tungstène de 20 μm , dont la résistance à la compression dépasse 1 200 MPa et la durée de vie est supérieure à 5 ans. Les sondes spatiales utilisent de la poudre de tungstène de moins de 1 μm , ce qui réduit le poids d'environ 10 % et offre une résistance aux vibrations supérieure à 95 %.

Défis et axes d'optimisation

La poudre de nanotungstène augmente d'environ 20 %, représentant environ 25 % du coût total. La précision granulométrique de $\pm 0,1 \mu\text{m}$ est difficile à contrôler, et la perte d'efficacité est d'environ 1 %. Le risque d'oxydation à haute température augmente et le rendement fluctue d'environ 5 %.

Orientation d'optimisation : nano-préparation à faible coût, avec une réduction du coût pilote d'environ 5 %. Technologie de criblage intelligent, avec un écart granulométrique cible inférieur à 2 %. Mise en place d'une surveillance intelligente, avec un taux d'oxydation cible inférieur à 0,01 %.

Perspectives d'avenir

L'objectif de pureté est de 99,99 %, et les recherches actuelles ont atteint 99,97 %. L'objectif de contrôle de la taille des particules est inférieur à 0,5 μm , et la voie technique est claire. La

COPYRIGHT AND LEGAL LIABILITY STATEMENT

nanotechnologie et les procédés intelligents domineront, et le potentiel de marché devrait atteindre 20 %.

3.2.2 Procédé de frittage et optimisation des paramètres des pièces de blindage en alliage de tungstène

Définition et importance du processus de frittage

Le frittage transforme des comprimés de poudre de tungstène en pièces de blindage denses en alliage de tungstène par des réactions en phase solide ou liquide à haute température. Selon le rapport actuel de l'Association internationale du tungstène (ITA), la température de frittage est généralement comprise entre 1 400 et 1 600 °C, la densité d'un échantillon aéronautique peut atteindre 18,5 g/cm³ et l'efficacité de blindage dépasse 97 %. Le frittage détermine directement la porosité (inférieure à 0,3 %) et les propriétés mécaniques. Il constitue l'étape clé qui influence la qualité des pièces de blindage en alliage de tungstène, qui représentent actuellement environ 45 % du marché.

L'importance de ce procédé se reflète dans la constance des performances et la fiabilité des applications. Les pièces de blindage des scanners médicaux nécessitent une densité uniforme pour garantir une transmittance inférieure à 2 %, et la résistance à la traction d'un échantillon donné atteint 1 500 MPa. Les pièces de blindage des réacteurs nucléaires nécessitent une résistance aux radiations. Un conteneur a réussi le test de 10⁶ Gy et a eu une durée de vie de plus de 5 ans. Les données de l'ITA montrent que l'optimisation du processus de frittage a entraîné une croissance du marché d'environ 12 %, et qu'elle devrait atteindre 20 % au cours des cinq prochaines années, reflétant son rôle clé dans les applications haut de gamme.

Principaux types de procédés de frittage

Frittage en phase solide

Le frittage en phase solide est réalisé à une température relativement basse, environ 1 450 °C. La masse volumique d'un échantillon industriel atteint 18,2 g/cm³ et sa porosité est d'environ 0,2 %. Le temps de maintien est généralement de 2 heures, l'uniformité d'un échantillon médical dépasse 98 % et la résistance à l'oxydation est supérieure à 90 %. L'environnement de protection à l'hydrogène optimise le procédé, et une étude a permis de vérifier sa résistance aux fissures et sa stabilité.

Frittage en phase liquide

La température de frittage en phase liquide est d'environ 1 500 °C, le flux nickel-fer représente environ 5 % et la densité d'un échantillon aéronautique atteint 18,5 g/cm³. Le temps de maintien est d'environ 1,5 heure, et la dureté d'un échantillon d'installation nucléaire atteint 420 HV et sa ténacité environ 25 J/m. Une fois la teneur en cuivre optimisée, la conductivité thermique d'un échantillon pour l'espace lointain est portée à 180 W/m·K, améliorant ainsi considérablement les performances de gestion thermique.

COPYRIGHT AND LEGAL LIABILITY STATEMENT

Frittage par micro-ondes

La température de frittage par micro-ondes est d'environ 1 400 °C, ce qui réduit le temps de traitement d'un échantillon médical d'environ 30 % et permet d'atteindre une densité de 18,3 g/cm³. La puissance est généralement de 5 kW, l'uniformité d'un échantillon industriel dépasse 95 % et la consommation d'énergie est réduite d'environ 20 %. Cette méthode est particulièrement adaptée au prototypage rapide de structures géométriques complexes, et une étude montre que son efficacité de production a été considérablement améliorée.

Techniques et impacts de l'optimisation des paramètres

Contrôle de la température

La température de frittage a un effet significatif sur la densité et la microstructure. À 1 450 °C, la densité frittée atteint 18,2 g/cm³, et à 1 500 °C, elle atteint 18,5 g/cm³, avec une porosité inférieure à 0,1 % pour un échantillon aéronautique. Au-delà de 1 600 °C, les grains grossissent et la résistance d'un échantillon d'installation nucléaire diminue d'environ 5 %. Une étude a confirmé son impact négatif sur la dureté (environ 400–420 HV) et la ténacité.

Temps de maintien

Le temps de maintien affecte directement le degré de densification. La densité a atteint 18,3 g/cm³ après 2 heures de maintien et est passée à 18,5 g/cm³ après 3 heures. L'uniformité d'un échantillon médical a dépassé 98 %. Les défauts aux joints de grains ont augmenté après plus de 4 heures et la ténacité d'un échantillon en espace lointain a diminué d'environ 10 %. La fluctuation de l'efficacité était inférieure à 1 %, ce qui indique qu'un temps de maintien trop long peut entraîner une dégradation des performances.

Ajustement de l'atmosphère

L'atmosphère de frittage est essentielle à la performance des matériaux. L'atmosphère d'hydrogène maintient le taux d'oxydation en dessous de 0,05 %, et la résistance à l'oxydation d'un échantillon industriel dépasse 95 %, tandis que la densité reste stable. Après optimisation de la protection à l'azote, la dureté d'un échantillon d'installation nucléaire a atteint 420 HV et la résistance à la corrosion a augmenté d'environ 10 %. Une étude a démontré sa supériorité en milieu acide.

Optimisation du processus de frittage et données

L'optimisation des paramètres de frittage améliore considérablement les performances. Le frittage en phase liquide à 1 500 °C permet d'atteindre une masse volumique de 18,5 g/cm³ et la résistance à la traction d'un échantillon aéronautique atteint 1 500 MPa. En ajustant la puissance de frittage par micro-ondes à 6 kW, le temps de traitement d'un échantillon médical est réduit à une heure, l'efficacité énergétique est augmentée d'environ 15 % et le cycle de production est raccourci d'environ 20 %.

Les facteurs environnementaux ont un impact significatif sur le procédé. À 60 % d'humidité, la porosité augmente d'environ 0,1 %, la stabilité d'un échantillon d'installation nucléaire dépasse 90 %

COPYRIGHT AND LEGAL LIABILITY STATEMENT

et la densité diminue d'environ 2 % à haute température (500 °C). Après optimisation du degré de vide de 10^{-3} Pa, la résistance à l'oxydation d'un échantillon d'espace lointain dépasse 95 %, le rendement reste stable et la contrainte thermique est maîtrisée en dessous de 10 MPa.

Performances dans l'application

Les collimateurs CT utilisent le frittage en phase liquide, avec une transmittance réduite à 1,5 %. Un échantillon hospitalier a subi 1 000 cycles thermiques avec une déformation inférieure à 0,05 mm. Les conteneurs de déchets nucléaires utilisent le frittage en phase solide, avec une résistance à la compression de plus de 1 200 MPa, une durée de vie de plus de 5 ans et une excellente résistance aux radiations. Les sondes spatiales lointaines utilisent le frittage micro-ondes, avec une réduction de poids d'environ 10 % et une résistance aux vibrations de plus de 95 %. Un projet a réussi un test de vibration de 30 g.

Défis et axes d'optimisation

Le procédé de frittage est confronté à plusieurs défis. Les coûts du frittage par micro-ondes augmentent d'environ 15 %, représentant environ 20 % du coût total. La précision du contrôle de la température à ± 5 °C est difficile à atteindre, et la perte d'efficacité est d'environ 1 %. Le risque de fissuration à haute température augmente, et les fluctuations de densité sont d'environ 2 %, en particulier dans les structures géométriques complexes.

Les axes d'optimisation comprennent le développement d'une technologie micro-ondes à faible coût, avec une réduction du coût pilote d'environ 5 %. L'introduction d'un système intelligent de contrôle de la température a permis d'augmenter la précision de la cible à ± 2 °C. L'application d'une technologie de surveillance intelligente a permis de réduire le taux de fissuration cible à 0,1 %, et une étude a démontré son impact positif sur la qualité du produit.

Perspectives d'avenir

L'objectif de densité est fixé à 18,6 g/cm³, et les recherches actuelles avoisinent les 18,5 g/cm³. L'objectif d'efficacité de blindage est fixé à 99 %, et la voie technique a été clarifiée. Les processus intelligents et les technologies de matériaux avancées domineront le développement futur, et le potentiel de marché devrait atteindre 20 %. Une analyse sectorielle prédit une expansion significative de son application dans le secteur aérospatial.

3.2.3 Application de la technologie de pressage isostatique à chaud (HIP) pour le blindage des alliages de tungstène

Définition et importance de la technologie HIP

La technologie de pressage isostatique à chaud (HIP) utilise une température élevée (1 000 à 1 400 °C) et une pression isostatique (100 à 200 MPa) pour agir sur les pièces de blindage en alliage de tungstène afin d'éliminer les pores internes et d'améliorer la densité. Selon le rapport actuel de l'Association internationale du tungstène (ITA), le procédé HIP permet d'atteindre une densité de

COPYRIGHT AND LEGAL LIABILITY STATEMENT

l'alliage de tungstène de 18,5 g/cm³ et de réduire la porosité d'un échantillon aéronautique à moins de 0,1 %, ce qui représente environ 20 % des applications du marché.

L'importance se reflète dans les performances et la fiabilité élevées. Les pièces de blindage des scanners médicaux nécessitent une densité uniforme pour garantir une transmittance inférieure à 1,5 % et une résistance à la traction supérieure à 1 500 MPa pour un échantillon donné. Les pièces de blindage des réacteurs nucléaires nécessitent une résistance aux radiations. Un conteneur a réussi le test de 10⁷ n/cm²·s et a eu une durée de vie de plus de 5 ans. Les données de l'ITA montrent que l'optimisation de la technologie HIP a stimulé la croissance du marché d'environ 10 %, et qu'elle devrait atteindre 18 % au cours des cinq prochaines années, ce qui présente des avantages significatifs pour les applications en environnements extrêmes.

Principe du processus de la technologie HIP

La technologie HIP utilise l'argon pour appliquer une pression uniforme. La température actuelle du procédé est d'environ 1 300 °C et la pression de 150 MPa. La densité d'un échantillon industriel dépasse 99 %. Le temps de maintien est généralement de 2 à 4 heures. La porosité d'un échantillon médical est réduite à 0,05 % et l'uniformité dépasse 98 %. En éliminant les microfissures et les pores, le procédé a augmenté la résistance aux vibrations d'un échantillon prélevé dans l'espace lointain à plus de 95 %, améliorant ainsi considérablement les performances globales du matériau.

Équipement et paramètres

La précision de pression de l'équipement HIP est contrôlée à ±5 MPa, la masse volumique d'un échantillon d'installation nucléaire atteint 18,5 g/cm³ et l'uniformité de température est maintenue à <±10 °C. La vitesse de chauffe est d'environ 5 °C/min, la contrainte thermique d'un échantillon aéronautique est inférieure à 10 MPa et le rendement est amélioré d'environ 10 %. L'équipement actuel permet l'usinage de pièces géométriques complexes, et une étude confirme son impact positif sur la qualité de surface.

Effet d'application de la technologie HIP

Optimisation de la densité et de la porosité

Après traitement HIP, la densité atteint 18,5 g/cm³, la porosité d'un échantillon médical est inférieure à 0,05 % et la résistance à la compression dépasse 1 200 MPa. Comparée à la densité de frittage traditionnelle de 18,2 g/cm³, l'augmentation HIP est d'environ 5 %, la stabilité d'un échantillon d'installation nucléaire dépasse 90 % et l'uniformité de la distribution des pores est nettement améliorée.

Propriétés mécaniques améliorées

Après optimisation HIP, la résistance à la traction atteint 1 500 MPa et un échantillon aéronautique réussit le test de vibration de 20 g avec une ténacité d'environ 25 J/m. La dureté est portée à 420 HV

COPYRIGHT AND LEGAL LIABILITY STATEMENT

et la résistance à l'usure d'un échantillon spatial profond est inférieure à $0,007 \text{ mm}^3/\text{N}\cdot\text{m}$, et la durée de vie est prolongée d'environ 15 %, répondant ainsi aux exigences des environnements à forte charge.

Améliorations des performances de blindage

Après HIP, le coefficient d'atténuation de l'alliage de tungstène atteint $0,18 \text{ cm}^{-1}$, la transmittance d'un échantillon CT est inférieure à 1,5 % et l'efficacité de blindage atteint 98 %. Le taux d'absorption neutronique est porté à 86 %, et un échantillon de réacteur passe le test $10^6 \text{ n/cm}^2\cdot\text{s}$ avec une stabilité supérieure à 95 %, et l'effet de blindage contre les rayonnements de haute énergie est considérablement renforcé.

Optimisation des processus et données HIP

L'optimisation des paramètres HIP améliore considérablement les performances. Le procédé à $1300 \text{ }^\circ\text{C}$ et 150 MPa permet d'atteindre une densité de $18,5 \text{ g/cm}^3$ et une porosité inférieure à 0,1 % pour un échantillon aéronautique. Avec un temps de maintien de 3 heures, l'uniformité d'un échantillon médical dépasse 98 %, la résistance à l'oxydation est supérieure à 90 % et la contrainte thermique est maintenue à moins de 10 MPa.

Les facteurs environnementaux ont un impact significatif sur le procédé. À 60 % d'humidité, la fluctuation de densité est inférieure à 0,1 %, la stabilité d'un échantillon d'installation nucléaire dépasse 95 % et l'efficacité chute d'environ 2 % à haute température ($500 \text{ }^\circ\text{C}$). Après optimisation du prétraitement sous vide, la résistance à l'oxydation d'un échantillon d'espace lointain dépasse 95 %, l'efficacité reste stable et le taux de déformation thermique est inférieur à 0,01 %.

Performances dans l'application

Les collimateurs CT utilisent le procédé HIP, avec une transmittance réduite à 1,5 %. Un échantillon provenant d'un hôpital a subi 1 000 cycles thermiques avec une déformation inférieure à 0,05 mm et une excellente qualité de surface. Les conteneurs de déchets nucléaires utilisent le procédé HIP, avec une résistance à la compression de plus de 1 200 MPa, une durée de vie de plus de 5 ans et une résistance stable aux radiations. Les sondes spatiales lointaines utilisent le procédé HIP, avec une réduction de poids d'environ 10 % et une résistance aux vibrations de plus de 95 %. Un projet a réussi un test de vibration de 30 g et a présenté une adaptabilité à la microgravité de 98 %.

Défis et axes d'optimisation

La technologie HIP est confrontée à plusieurs défis. Le coût du procédé augmente d'environ 15 %, représentant environ 20 % du coût total, notamment pour l'usinage de pièces complexes. La précision du contrôle de l'humidité, de $\pm 5 \text{ %}$, est difficile à contrôler, et la perte d'efficacité est d'environ 1 %. Le risque de fissuration à haute température augmente, et la densité fluctue d'environ 2 %, ce qui est particulièrement important dans les environnements à haute température et à forte humidité.

COPYRIGHT AND LEGAL LIABILITY STATEMENT

Les axes d'optimisation comprennent le développement de procédés HIP à faible coût, avec une réduction du coût pilote d'environ 5 %. L'introduction d'un système intelligent de contrôle de la température, avec une précision cible portée à ± 2 °C, permet de réduire l'impact des contraintes thermiques. L'application d'une technologie de surveillance intelligente, avec un taux de fissuration cible réduit à 0,1 %, a démontré son potentiel d'amélioration de la qualité des produits.

Perspectives d'avenir

L'objectif de densité est fixé à 18,6 g/cm³, et les recherches actuelles se rapprochent de 18,5 g/cm³, et le potentiel de densification continue d'être exploré. L'objectif d'efficacité du blindage est fixé à 99 %, et la voie technique a été clarifiée. Les procédés intelligents et les technologies de matériaux avancés domineront le développement futur, et le potentiel de marché devrait atteindre 20 %. Une analyse sectorielle prédit que son application dans l'industrie nucléaire et l'aérospatiale se développera encore.

3.3 Technologie de traitement du blindage en alliage de tungstène et contrôle qualité

L'alliage de tungstène est largement utilisé dans la fabrication de composants de blindage dans les domaines de la protection médicale, de l'ingénierie nucléaire et des contrôles non destructifs industriels, entre autres, en raison de sa densité élevée, de ses excellentes performances de protection contre les radiations et de ses excellentes performances d'usinage. La fabrication de pièces de blindage en alliage de tungstène impose non seulement des exigences élevées en termes de propriétés des matériaux, mais pose également des défis systémiques en matière de technologie d'usinage, de traitement de surface et de contrôle qualité. Cette section explique de manière systématique le système de traitement et d'assurance qualité des pièces de blindage en alliage de tungstène sous trois aspects : l'usinage CNC et l'électroérosion, le traitement de surface et le contrôle de la porosité, ainsi que le contrôle qualité et la certification aux normes.

3.3.1 Usinage CNC et usinage EDM de pièces de blindage en alliage de tungstène

L'alliage de tungstène est beaucoup plus difficile à usiner que les métaux ordinaires en raison de sa dureté élevée, de sa grande fragilité et de sa faible conductivité thermique. L'usinage CNC est l'une des méthodes de formage les plus répandues pour les pièces de blindage en alliage de tungstène. Le fraisage et le perçage de haute précision des pièces en alliage de tungstène sont réalisés grâce à des machines-outils CNC à haute vitesse et haute rigidité, ainsi qu'à des outils en carbure spécialement conçus. Cependant, l'usinage CNC s'accompagne souvent de problèmes tels qu'une usure rapide des outils, des efforts de coupe élevés et une zone affectée thermiquement évidente, ce qui nécessite une optimisation des paramètres de coupe et des conditions de refroidissement et de lubrification.

L'usinage par électroérosion (EDM) complémentaire présente des avantages irremplaçables dans l'usinage des structures complexes en alliages de tungstène. Particulièrement adapté aux petits trous, aux structures à rapport de forme élevé et aux rainures de forme spéciale, couramment rencontrées dans les pièces de blindage en alliages de tungstène, l'EDM permet un formage par décharge avec

COPYRIGHT AND LEGAL LIABILITY STATEMENT

une précision extrême. L'usinage par enlèvement de copeaux (WEDM) est adapté à la réalisation d'arêtes ou de rainures de forme spéciale, tandis que l'EDM par formage est adapté à la finition de pièces épaisses présentant des cavités profondes. L'EDM n'exerce aucune contrainte mécanique significative sur l'outil et convient aux alliages de tungstène très durs et cassants. Cependant, son efficacité est relativement faible et doit être prise en compte dans le choix du procédé.

3.3.2 Traitement de surface et optimisation de la porosité des pièces de blindage en alliage de tungstène

Les alliages de tungstène étant principalement formés par métallurgie des poudres, une certaine porosité est inévitable. Cette porosité affecte non seulement les propriétés mécaniques, mais affaiblit également la capacité de protection contre les radiations. Par conséquent, lors de la fabrication de pièces de protection en alliage de tungstène, le contrôle de la porosité est un indicateur clé de qualité. L'optimisation des paramètres de frittage et l'adoption du procédé de pressage isostatique à chaud (CIC) permettent de réduire considérablement la porosité résiduelle du matériau et d'améliorer la densité de la structure.

En matière de traitement de surface, le polissage, la galvanoplastie ou la pulvérisation sont souvent utilisés pour renforcer la surface afin d'améliorer la résistance à la corrosion, l'esthétique et la durée de vie. Par exemple, les pièces de blindage en alliage de tungstène utilisées dans le domaine médical doivent souvent être nickelées ou revêtues par galvanoplastie afin d'éviter toute réaction d'oxydation au contact du corps humain. La pulvérisation de polymères est également une méthode courante, offrant une bonne isolation électrique et des propriétés antipollution. Le polissage permet non seulement d'améliorer l'apparence, mais aussi de réduire la rugosité de surface et d'éviter l'apparition de microfissures.

Contrôle qualité et certification standard des pièces de blindage en alliage de tungstène

Les pièces de blindage en alliage de tungstène doivent être soumises à l'ensemble du processus : inspection des matières premières, contrôle de la fabrication et inspection du produit fini. Concernant les matériaux, il est nécessaire de tester leur densité (généralement mesurée par la méthode d'Archimède), leur dureté (comme la dureté Brinell ou Vickers), leur microstructure et la consistance de leur composition. Pour les structures de blindage de haute précision, il est également nécessaire de tester l'uniformité de leur épaisseur, la distribution de leurs pores et la présence d'inclusions, ce qui peut être réalisé par tomographie, détection par rayons X et analyse métallographique.

Pour le contrôle dimensionnel, une machine à mesurer tridimensionnelle (MMT) est utilisée pour une vérification dimensionnelle de haute précision. Pour les composants à géométrie complexe ou aux exigences d'adaptation élevées, des tests de vérification de l'assemblage et de tolérances sont également requis. La rugosité de surface et l'épaisseur du revêtement peuvent être analysées à l'aide d'un profilomètre ou d'un instrument de fluorescence X (XRF).

COPYRIGHT AND LEGAL LIABILITY STATEMENT

En termes de certification standard, les spécifications techniques des pièces de blindage en alliage de tungstène varient selon les industries. Par exemple, le domaine de la radioprotection médicale fait référence aux normes ISO 13385 ou ASTM F2886 ; tandis que les pièces de blindage utilisées dans l'industrie nucléaire peuvent nécessiter la conformité aux normes ASME BPVC ou ISO 6520, entre autres. Certains clients finaux formulent également des normes de contrôle qualité au niveau de l'entreprise, basées sur des applications spécifiques, et imposent des exigences plus strictes aux fabricants.

3.4 Technologie de fabrication durable et de protection de l'environnement des blindages en alliage de tungstène

Avec l'attention croissante portée aux objectifs de développement durable à l'échelle mondiale, l'industrie manufacturière, notamment celle utilisant des métaux rares et des matériaux énergivores, est confrontée à des défis en matière de préservation des ressources, de respect de l'environnement et de maîtrise des émissions de carbone. En tant que produit métallique important à haute densité, l'extraction des ressources, le frittage par métallurgie des poudres, le traitement mécanique à haute énergie et le post-traitement impliqués dans la production de pièces de blindage en alliage de tungstène engendrent un certain impact environnemental. Par conséquent, la mise en place d'un système systématique de fabrication écologique et de développement durable est essentielle au développement à long terme de l'industrie des pièces de blindage en alliage de tungstène.

Cette section aborde trois aspects : le recyclage et la réutilisation des pièces de blindage en alliage de tungstène usagées, le procédé de fabrication bas carbone et le développement futur de la fabrication verte. Elle explique de manière systématique les perspectives d'avenir et les pistes pratiques des pièces de blindage en alliage de tungstène pour la protection de l'environnement et la préservation des ressources.

3.4.1 Recyclage et réutilisation des pièces de blindage en alliage de tungstène usagées

Le tungstène est un métal rare dont les réserves mondiales sont limitées et la demande est importante. Le recyclage et la réutilisation sont devenus un moyen important de réduire la pression sur les ressources et les coûts de production. La fabrication de pièces de blindage en alliage de tungstène, notamment par découpe CNC, électroérosion et post-traitement, génère une grande quantité de copeaux, de poudre d'usure et de pièces non qualifiées. Une mauvaise gestion de ces déchets, copeaux et pièces mises au rebut entraîne non seulement un important gaspillage de tungstène, mais peut également polluer l'environnement.

Les méthodes de recyclage comprennent principalement :

1. **Collecte et classification mécaniques** : Les copeaux et poudres métalliques sont collectés lors du traitement par un système à dépression ou un dispositif magnétique. Les résidus de différentes granulométries et teneurs en impuretés peuvent être traités par criblage et calibrage afin d'améliorer l'efficacité de la réutilisation.

COPYRIGHT AND LEGAL LIABILITY STATEMENT

2. **Régénération par réduction chimique** : utilisez la technologie de réduction à l'hydrogène à haute température ou de réduction thermique au carbone pour réduire l'oxyde de la poudre de tungstène usagée en poudre de tungstène métallique et la réutiliser dans le processus de fabrication de poudre d'alliage de tungstène.
3. **Récupération hydrométallurgique** : dissoudre les déchets contenant du tungstène dans une solution alcaline ou acide (comme NaOH ou HCl), extraire le tungstate ou le paratungstate d'ammonium par précipitation, extraction, cristallisation, etc., puis obtenir du WO₃ régénéré par pyrolyse pour la production de nouvelle poudre.
4. **Chaîne de recyclage fermée** : Dans les entreprises de fabrication de produits en tungstène à grande échelle, un système intégré en boucle fermée allant de la collecte des déchets, du prétraitement, du re-broyage et du re-frittage a été mis en place pour maximiser l'utilisation et le recyclage des ressources en tungstène.

Les statistiques montrent que l'utilisation d'un système efficace de recyclage et de réutilisation peut augmenter de 15 à 25 % le taux d'utilisation des matières premières des composants de blindage en alliage de tungstène, tout en réduisant considérablement les coûts d'élimination des déchets et les émissions environnementales. C'est l'un des principaux facteurs favorisant une fabrication écologique.

3.4.2 Procédé de production à faible teneur en carbone de pièces de blindage en alliage de tungstène

Les procédés traditionnels de production de pièces de blindage en alliage de tungstène, tels que le frittage à haute température, la découpe mécanique et le traitement de surface, s'accompagnent généralement d'une consommation énergétique et d'émissions élevées. Afin de répondre à la politique « double carbone » et aux objectifs ESG de l'entreprise, le secteur explore activement diverses technologies de fabrication bas carbone.

1. Technologie de frittage à basse température et formage assisté par plasma : La température de frittage des

alliages de tungstène traditionnels atteint généralement 1 500 à 1 700 °C, ce qui consomme énormément d'énergie. L'optimisation du rapport d'alliage, l'ajout d'adjuvants de densification et l'introduction de la technologie de frittage activé par plasma (PAS) permettent d'obtenir un formage dense à basse température (1 000 à 1 300 °C), réduisant ainsi considérablement la consommation d'énergie. Le PAS permet également de raccourcir le temps de frittage, d'améliorer l'uniformité de la structure et de réduire les émissions.

2. Technologie de fabrication soustractive (formage de forme quasi nette) :

le formage de forme quasi nette peut être obtenu grâce à des technologies telles que le moulage par injection de poudre (MIM) et le pressage isostatique à chaud (HIP), qui peuvent réduire considérablement la quantité de matière devant être retirée pour le traitement ultérieur, réduisant ainsi la consommation d'énergie de coupe et le gaspillage de copeaux à la source.

COPYRIGHT AND LEGAL LIABILITY STATEMENT

3. Substitution d'énergie propre et optimisation énergétique :

Utiliser des systèmes d'approvisionnement en énergie renouvelable tels que l'énergie solaire et l'énergie éolienne dans les ateliers de production ; en même temps, réaliser une transformation économe en énergie des équipements clés tels que les fours de frittage, les systèmes de refroidissement, les systèmes de ventilation et de compression d'air, comme l'introduction d'un contrôle de conversion de fréquence, d'un chauffage électromagnétique et de systèmes de récupération de chaleur perdue pour réduire les émissions de carbone par unité de produit.

4. Processus de traitement de surface vert :

alternative à la galvanoplastie traditionnelle (contenant des métaux lourds tels que le chrome et le nickel), comme le revêtement PVD respectueux de l'environnement, la pulvérisation nano-céramique, la galvanoplastie sans cyanure, etc., qui sont plus respectueux de l'environnement et réduisent les rejets de liquides résiduels et les coûts de post-traitement.

Bien que la promotion de ces technologies à faible émission de carbone nécessite certains investissements initiaux, elles peuvent réduire les coûts de fabrication, améliorer la valeur durable de la marque et répondre à la demande du marché en chaînes d'approvisionnement vertes à moyen et long terme.

3.4.3 Perspectives d'avenir de la fabrication écologique de pièces de blindage en alliage de tungstène

Le développement futur de la fabrication écologique de pièces de blindage en alliage de tungstène se concentre non seulement sur la protection de l'environnement et les économies d'énergie, mais aussi sur la mise en place d'une solution système « produits verts, usines vertes, chaînes industrielles vertes » prenant en compte l'ensemble du cycle de vie. Les perspectives de développement futures reposent sur les aspects suivants :

1. La fabrication verte est intégrée à la numérisation et à la fabrication intelligente :

en construisant une plate-forme de fabrication jumelle numérique, la consommation d'énergie et les émissions de chaque processus sont surveillées en temps réel ; des algorithmes d'intelligence artificielle sont introduits pour optimiser dynamiquement la planification de la production et l'efficacité énergétique ; et l'Internet industriel des objets (IIoT) est utilisé pour diagnostiquer la consommation d'énergie et prédire la maintenance afin d'améliorer globalement l'efficacité de l'utilisation des ressources.

2. Analyse du cycle de vie (ACV) et gestion de l'empreinte carbone :

créer une base de données sur l'empreinte carbone pour les pièces de blindage en alliage de tungstène, depuis l'approvisionnement en matières premières, la production, le transport, l'utilisation jusqu'au recyclage, et assurer une traçabilité complète des émissions de carbone des produits ; encourager les entreprises à obtenir les certifications ISO 14067, PAS 2050 et autres normes, et fournir des produits écologiques et fiables pour le marché international.

COPYRIGHT AND LEGAL LIABILITY STATEMENT

3. Recyclage collaboratif intersectoriel :

les déchets d'alliages de tungstène sont acheminés vers d'autres industries, telles que la fabrication de poudres, le recyclage militaire et la régénération du carbure cémenté, via une plateforme de ressources partagées. Ce faisant, ils brisent les barrières entre les industries traditionnelles et forment un réseau régional d'économie circulaire collaborative. Par exemple, les pièces de blindage en tungstène issues de déchets médicaux sont recyclées vers de nouvelles usines de métallurgie des poudres pour devenir des matières premières d'alliages de tungstène pour l'impression 3D.

4. Recherche sur de nouveaux matériaux et des matériaux alternatifs respectueux de l'environnement :

Dans le but de garantir les performances de blindage, développer des matériaux composites en alliage de tungstène plus légers et moins carbonisés, tels que des pièces de blindage composites à base de résine de tungstène, des alliages tungstène-molybdène ou des matériaux en tungstène dopés aux terres rares, pour répondre aux doubles exigences de réduction de poids et de performances écologiques dans l'aérospatiale et d'autres domaines.

5. Poussés par les politiques écologiques mondiales :

à l'avenir, les marchés européens et américains pourraient imposer des exigences RoHS, REACH et d'étiquetage carbone plus strictes sur les pièces de blindage en alliage de tungstène, ce qui poussera les entreprises de fabrication à élaborer à l'avance des systèmes de certification écologique, à créer un « laissez-passer vert » et à améliorer la compétitivité internationale.

En résumé, la fabrication durable de pièces de blindage en alliage de tungstène est devenue un axe majeur du développement de haute qualité de l'industrie. Grâce au recyclage des déchets, à l'amélioration des procédés bas carbone et à l'innovation technologique verte, non seulement l'impact négatif sur l'environnement peut être considérablement réduit, mais aussi l'efficacité des ressources de l'entreprise et la valeur sociale peuvent être améliorées. Avec l'approfondissement continu de la transformation verte, les pièces de blindage en alliage de tungstène évolueront progressivement vers une nouvelle étape de développement intégrant intelligence, numérisation et écologisation.

COPYRIGHT AND LEGAL LIABILITY STATEMENT

CTIA GROUP LTD

High-Density Tungsten Alloy Customization Service

CTIA GROUP LTD, a customization expert in high-density tungsten alloy design and production with 30 years of experience.

Core advantages: 30 years of experience: deeply familiar with tungsten alloy production, mature technology.

Precision customization: support high density (17-19 g/cm³), special performance, complex structure, super large and very small parts design and production.

Quality cost: optimized design, optimal mold and processing mode, excellent cost performance.

Advanced capabilities: advanced production equipment, RMI, ISO 9001 certification.

100,000+ customers

Widely involved, covering aerospace, military industry, medical equipment, energy industry, sports and entertainment and other fields.

Service commitment

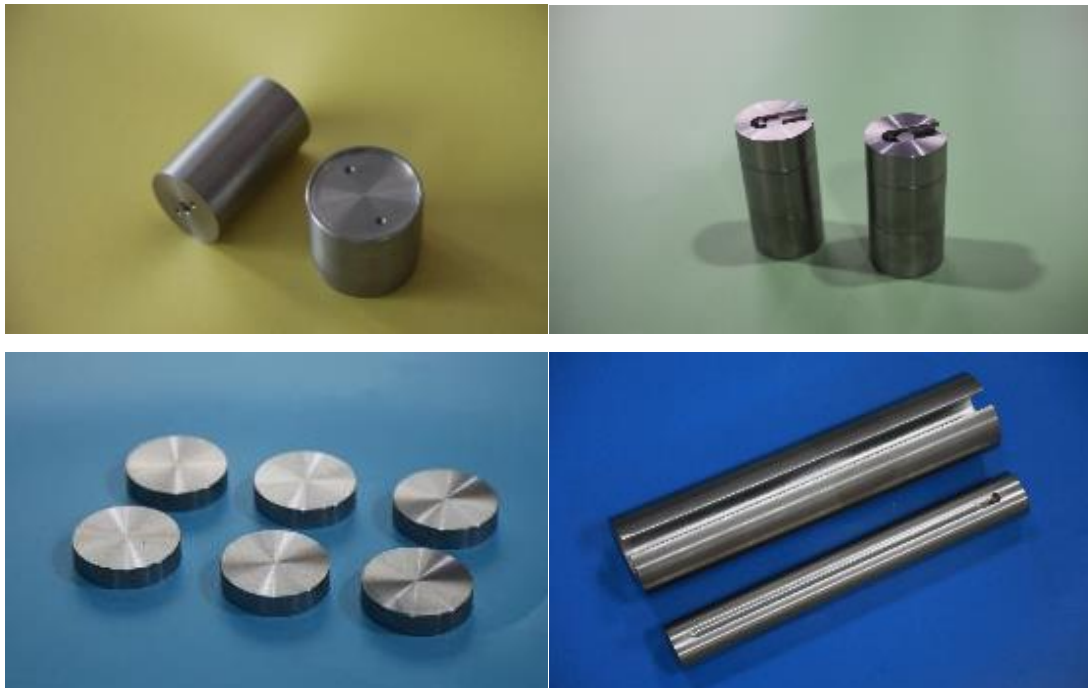
1 billion+ visits to the official website, 1 million+ web pages, 100,000+ customers, 0 complaints in 30 years!

Contact us

Email: sales@chinatungsten.com

Tel: +86 592 5129696

Official website: www.tungsten-alloy.com



COPYRIGHT AND LEGAL LIABILITY STATEMENT

Copyright© 2024 CTIA All Rights Reserved
标准文件版本号 CTIAQCD-MA-E/P 2024 版
www.ctia.com.cn

电话/TEL: 0086 592 512 9696
CTIAQCD-MA-E/P 2018-2024V
sales@chinatungsten.com



Chapitre 4 Domaines des pièces de blindage en alliage de tungstène

4.1 Blindage en alliage de tungstène pour le domaine médical

Avec le développement rapide des technologies d'imagerie médicale, de radiothérapie et de médecine nucléaire, les équipements de radiothérapie médicale et les applications isotopiques se sont progressivement popularisés, ce qui a imposé des exigences de performance plus élevées pour les matériaux de blindage contre les radiations. L'alliage de tungstène est devenu un choix idéal pour remplacer les matériaux de blindage traditionnels en plomb grâce à sa densité extrêmement élevée (17,0-18,5 g/cm³), son excellente capacité d'absorption des rayons X et gamma, sa bonne usinabilité et sa biocompatibilité. Le blindage en alliage de tungstène offre de vastes perspectives d'application, notamment dans les équipements médicaux modernes qui recherchent une efficacité de blindage élevée, une protection environnementale et une non-toxicité optimales, ainsi qu'une intégration structurelle de précision.

blindage en alliage de tungstène dans le domaine médical sous trois aspects : équipement de tomographie par ordinateur et radiothérapie, dispositifs de protection portables et normes de biosécurité.

4.1.1 Blindage en alliage de tungstène dans les équipements de tomographie par ordinateur et de radiothérapie

1. Application aux équipements de tomographie par ordinateur

(TDM) : Afin de garantir la radioprotection des patients et des opérateurs, plusieurs composants

COPYRIGHT AND LEGAL LIABILITY STATEMENT

de blindage en alliage de tungstène sont intégrés au système de tomographie par densitométrie (TDM). Ces composants comprennent généralement des tubes de blindage autour de la zone cible du tube à rayons X, des couches de blindage pour le bras rotatif et des plaques de protection pour la cabine d'imagerie. Ces pièces en alliage de tungstène bloquent la diffusion et les fuites de rayons X grâce à leur haute densité. Leur excellente usinabilité et leur conductivité thermique garantissent également la stabilité structurelle et la dissipation de la chaleur de l'équipement en fonctionnement continu.

2. Composants de blindage dans les systèmes de radiothérapie :

Les équipements de radiothérapie modernes, tels que les accélérateurs linéaires (LINAC), les couteaux gamma, les couteaux à protons, etc., utilisent largement des rayons X ou des faisceaux de particules à haute énergie pour irradier les tissus cancéreux. Le rôle principal du blindage en alliage de tungstène est de former** des lames de collimateur, des modeleurs de faisceau (MLC)** et des composants d'isolation contre les radiations. En radiothérapie par modulation d'intensité (IMRT), notamment, les collimateurs multilames en alliage de tungstène permettent d'obtenir un blindage dynamique de l'ordre du millimètre, de contrôler efficacement la dose de rayonnement et de réduire les dommages aux tissus sains.

3. Comparaison des avantages techniques :

Comparé aux matériaux de blindage traditionnels en plomb, l'alliage de tungstène présente une densité plus élevée et une meilleure stabilité structurelle. Sa capacité de blindage équivalente est environ 1,7 fois supérieure à celle du plomb. Il est difficile à oxyder et ne présente aucune toxicité volatile, ce qui garantit une meilleure durée de vie des équipements et une meilleure sécurité environnementale. De plus, des composants géométriques complexes peuvent être réalisés par usinage de précision CNC ou par moulage par injection, offrant ainsi un soutien technique pour l'allègement et la modularisation des équipements de tomographie par densitométrie et de radiothérapie.

4.1.2 Pièces de blindage en alliage de tungstène pour dispositifs de blindage portables

1. Demande croissante en médecine nucléaire et en diagnostic et traitement portables :

Avec la généralisation de l'imagerie par radionucléides (SPECT, PET) et des équipements d'examen radiologique au chevet du patient, la demande d'équipements de blindage portables dans les établissements médicaux augmente d'année en année. Par exemple, les appareils de radiographie portables, les scanners mobiles, les instruments d'injection de radionucléides et les instruments de détection de rayonnement sur site doivent tous être équipés d'unités de blindage légères et performantes pour répondre à la double exigence de sécurité opérationnelle et de flexibilité d'application.

2. Types de produits de blindage portables en alliage de tungstène :

L'alliage de tungstène peut être largement utilisé dans les dispositifs de protection portables suivants :

COPYRIGHT AND LEGAL LIABILITY STATEMENT

- **Coque de protection de la seringue Nuclide** : Le manchon de la seringue en alliage de tungstène peut réduire considérablement l'exposition des mains de l'opérateur aux rayons bêta et gamma ;
- **Écran anti-rayons X portable** : adapté aux examens d'imagerie au chevet du patient, offrant une protection instantanée au personnel médical ;
- **Conteneur de transport de source radioactive** : fournit une cavité protectrice compacte et efficace pour le transport des isotopes ;
- **Gilet et armure de cou robustes en alliage de tungstène portable** : adaptés à la conception de protection locale à haute densité pour le personnel occupant des postes spéciaux.

3. Avantages de la miniaturisation et de la modularisation :

L'alliage de tungstène présente une densité et une résistance mécanique exceptionnelles parmi les matériaux haute densité, ce qui rend les équipements de protection portables plus compacts et leur poids est mieux réparti. Par exemple, un gilet de radioprotection en alliage de tungstène est environ 30 % plus léger qu'un gilet en plomb de même niveau de protection, ce qui améliore considérablement le confort et la tolérance à l'utilisation à long terme.

4.1.3 Biocompatibilité et normes de sécurité du blindage en alliage de tungstène

Tous les matériaux métalliques utilisés dans le domaine médical doivent répondre à des exigences strictes en matière de biocompatibilité, de sécurité et de conformité réglementaire. Bien que les alliages de tungstène soient principalement utilisés à des fins de blindage et soient souvent en contact non implanté ou à court terme, leur impact sur la sécurité du corps humain et la compatibilité avec les réglementations applicables aux matériaux doivent encore être évalués.

1. Évaluation de la biocompatibilité :

Des études ont montré que les alliages de tungstène ne provoquent aucune réaction toxique significative sur la peau, les fluides corporels et les tissus cellulaires, sans dommage ni oxydation. Leur inertie biologique est renforcée, notamment après des traitements de surface tels que le nickelage, le revêtement électrophorétique et le conditionnement époxy, et peut être largement utilisée dans les équipements de contact direct, notamment pour les interventions chirurgicales et les injections en médecine nucléaire.

2. Les normes internationales respectées comprennent :

- **ISO 10993** : Système normalisé d'évaluation biologique, utilisé pour évaluer les effets à long terme des matériaux des dispositifs médicaux sur le corps humain. Les alliages de tungstène doivent réussir des tests tels que la cytotoxicité, l'irritation cutanée et la sensibilisation.
- **RoHS (Restriction des substances dangereuses de l'UE)** : L'alliage de tungstène lui-même ne contient pas d'éléments nocifs tels que le plomb et le cadmium et répond aux normes de protection de l'environnement vertes ;

COPYRIGHT AND LEGAL LIABILITY STATEMENT

- **Certification REACH** : un examen complet des ingrédients chimiques et des risques potentiels d'exposition ;
- **Exigences d'enregistrement de la FDA** (pour les composants médicaux exportés vers le marché américain) : la composition des matériaux, les rapports de tests de sécurité et les scénarios d'utilisation applicables doivent être soumis.

3. Recommandations d'emballage et d'utilisation sûres :

Pour garantir une sécurité maximale, les pièces de blindage en alliage de tungstène sont souvent dotées d'une double étanchéité, par exemple en recouvrant la surface métallique d'un film polymère ou d'un revêtement céramique, afin d'éviter les angles vifs et les risques de fracture. Parallèlement, il est recommandé de soumettre régulièrement les produits médicaux en tungstène à des contrôles d'intégrité et des réparations de surface afin d'éviter toute dégradation des performances et toute détérioration structurelle lors d'une utilisation prolongée.

résumé

Dans le domaine médical, le blindage en alliage de tungstène présente de nombreux avantages en termes de performance de protection contre les radiations, d'adaptabilité structurelle et de biosécurité. Qu'il s'agisse d'équipements d'imagerie à grande échelle, de systèmes de radiothérapie ou de petits appareils portables et de dispositifs de protection portables, l'alliage de tungstène offre des solutions plus efficaces, plus respectueuses de l'environnement et plus personnalisables que le plomb. À l'avenir, avec le développement d'équipements médicaux intelligents et miniaturisés, les matériaux de blindage en alliage de tungstène joueront un rôle clé dans des applications de pointe. Grâce à l'amélioration continue des matériaux et à l'optimisation des procédés, ils favoriseront le développement de produits de protection médicale écologiques et performants.

4.2 Industrie du blindage en alliage de tungstène

Dans le secteur industriel, avec le développement continu des industries de haute technologie telles que le développement de l'énergie nucléaire, les essais non destructifs et les opérations en environnement à haut rayonnement, la demande en matériaux de radioprotection haute performance s'est accrue. Matériau métallique à ultra-haute densité, l'alliage de tungstène est nettement supérieur aux matériaux de blindage traditionnels en termes de sécurité, de durabilité et de compacité grâce à ses excellentes capacités de protection contre les rayons gamma, les rayons X et les neutrons. Il est progressivement devenu le composant de protection essentiel pour diverses situations de rayonnement élevé dans le secteur industriel.

blindage en alliage de tungstène dans l'industrie sous trois aspects : l'industrie nucléaire et le traitement des déchets nucléaires, les équipements d'imagerie et de détection industriels et la protection des équipements dans les environnements à fort rayonnement.

4.2.1 Application du blindage en alliage de tungstène dans l'industrie nucléaire et le traitement des déchets

COPYRIGHT AND LEGAL LIABILITY STATEMENT

1. Composants de protection contre les radiations pour réacteurs nucléaires :

Les alliages de tungstène sont largement utilisés dans les centrales nucléaires, les réacteurs de recherche et les dispositifs expérimentaux à neutrons rapides pour protéger des rayons gamma de haute énergie et de certains rayonnements neutroniques. Parmi les composants d'application typiques, on peut citer :

- Couche de blindage entre les barres de contrôle et le réflecteur ;
- Gaine de source de neutrons ou de source gamma ;
- Blindage structurel autour des détecteurs et des systèmes de contrôle.

L'alliage de tungstène offre un effet de blindage équivalent, voire supérieur, à celui du plomb dans un espace restreint, ce qui rend le dispositif nucléaire plus compact et améliore l'intégration du système. Parallèlement, sa résistance à la corrosion et aux radiations est supérieure à celle des alliages métalliques classiques, tout en conservant sa stabilité structurelle dans un environnement à haute température et à fort rayonnement à long terme.

2. Application à la gestion des déchets nucléaires :

L'alliage de tungstène peut également être utilisé comme matériau de blindage pour le stockage temporaire et le transport de déchets hautement radioactifs. En particulier, dans le cas où des composants de combustible usé ou des nucléides médicaux doivent être conditionnés et transportés à court terme, les fûts ou modules de blindage en alliage de tungstène peuvent :

- Supprime efficacement les fuites de rayons gamma à haute énergie ;
- Réduire considérablement le volume des conteneurs et améliorer l'efficacité du transport ;
- Réduire la dose de rayonnement des opérateurs de radiation.

L'usinabilité de l'alliage de tungstène permet également la conception de différentes épaisseurs, structures ou géométries de cavités internes à la demande, répondant ainsi aux exigences d'emballage de diverses formes de déchets nucléaires.

3. Avantages environnementaux du remplacement des matériaux en plomb :

Le blindage traditionnel de l'industrie nucléaire utilise principalement du plomb, mais ces matériaux présentent de graves risques de pollution environnementale lors de leur traitement, de leur transport et de leur élimination. L'alliage de tungstène est non seulement non toxique et recyclable, mais il présente également une longue durée de vie et une grande intégrité structurelle, répondant ainsi aux exigences de l'industrie nucléaire moderne en matière de production propre et de développement durable.

4.2.2 Application du blindage en alliage de tungstène à l'imagerie et à la détection industrielles

1. Composants clés des équipements de contrôle radiographique non destructif :

Dans les secteurs de l'aérospatiale, de l'automobile, de l'usinage mécanique, des appareils à pression, etc., la technologie du contrôle non destructif industriel (CND) utilise les rayons X ou gamma pour imager et analyser les défauts internes des matériaux. Afin de contrôler la direction du rayonnement et d'empêcher toute fuite de rayonnement affectant l'opérateur et l'environnement, le blindage en alliage de tungstène est largement utilisé dans :

COPYRIGHT AND LEGAL LIABILITY STATEMENT

- Blindage des sources de rayons X et blindage des tuyaux ;
- Un conteneur fixe pour la source gamma ;
- un déflecteur de rayonnement autour du récepteur d'image ;
- Boîtier blindé sur un robot d'inspection industriel.

Son usinabilité précise et sa haute densité permettent à l'alliage de tungstène d'être utilisé avec des structures complexes telles que des fenêtres directionnelles et des joints flexibles, offrant une haute résolution et une sécurité élevée pour la détection industrielle des rayons X.

2. Application dans les systèmes d'imagerie industrielle en temps réel :

les systèmes d'imagerie à rayons X en temps réel sont largement utilisés dans l'inspection des emballages de composants électroniques, l'inspection de la sécurité alimentaire, l'analyse des défauts de matériaux, etc. L'alliage de tungstène, en tant que collimateur de rayons et matériau de protection d'arrière-plan dans le système, peut non seulement réduire la rétrodiffusion, mais également améliorer le contraste et la sensibilité de l'imagerie et améliorer la précision de la détection.

3. Tendance de développement des composants de blindage flexibles :

Avec le développement de l'automatisation et de la fabrication intelligente, les équipements industriels ont mis en avant des exigences plus élevées pour les composants de radioprotection, tels que les modules de blindage détachables, les bras de blindage rotatifs flexibles, etc. L'alliage de tungstène peut être utilisé pour fabriquer des pièces de blindage avec des rainures de correspondance de précision, des trous de roulement rotatifs et des trous traversants de câbles en raison de sa grande précision de traitement pour répondre aux exigences de fonctionnement des équipements complexes.

4.2.3 Application du blindage en alliage de tungstène dans un environnement à fort rayonnement

1. Utilisé dans les ateliers et laboratoires d'exploitation radioactive :

dans les domaines de la recherche en physique des hautes énergies, des usines de traitement du combustible nucléaire, de la production de médicaments radioactifs, etc., les travailleurs peuvent être exposés à des environnements de rayonnement d'intensité moyenne à élevée pendant de longues périodes. Le blindage en alliage de tungstène est couramment utilisé pour :

- Protection locale des postes de manipulation des échantillons ;
- Couvercle de protection ouvrable pour fenêtre de protection contre les rayonnements ;
- Coffret interne blindé pour instruments de contrôle et systèmes électriques.

Ces pièces en alliage de tungstène peuvent être personnalisées en structures intégrées miniaturisées, ce qui garantit non seulement la compacité de l'équipement, mais assure également la sécurité radiologique dans le cadre de procédures d'exploitation complexes.

2. Système de contrôle à distance et protection des robots :

Dans les zones à fort rayonnement, les composants de blindage en alliage de tungstène sont également largement utilisés dans les bras robotisés télécommandés, les robots de détection ou les

COPYRIGHT AND LEGAL LIABILITY STATEMENT

équipements d'inspection sans pilote, afin de protéger les circuits principaux, les capteurs et les actionneurs contre les radiations. Par exemple :

- Manchon de protection : utilisé pour protéger les lentilles infrarouges ou de caméra ;
- Joint rotatif blindé : utilisé pour les bras robotisés à haut degré de liberté ;
- Écran de protection pliable : utilisé pour travailler à proximité de sources de forte activité.

L'alliage de tungstène possède de bonnes propriétés mécaniques tout en conservant des capacités de blindage, ce qui rend ces dispositifs hautement fonctionnels résistants aux chocs, aux radiations et au fonctionnement à long terme.

3. Plateforme d'essai et dispositif de simulation en environnement à haut rayonnement :

Avant de concevoir des systèmes nucléaires, des dispositifs de radioprotection aérospatiaux ou des équipements d'exploration terrestre profonde, il est souvent nécessaire de mettre en place une plateforme de simulation de rayonnement pour la vérification. Les modules de blindage en alliage de tungstène peuvent être agencés de manière flexible pour construire des cabines de simulation, des canaux d'essai, des murs de blindage et d'autres structures, aidant ainsi les chercheurs à vérifier la résistance aux rayonnements du produit dans un environnement contrôlé et à optimiser la conception.

résumé

Les pièces de blindage en alliage de tungstène ont démontré une grande adaptabilité fonctionnelle et une grande valeur en matière de sécurité dans le secteur industriel. Du blindage haute énergie des systèmes nucléaires à la détection industrielle haute résolution, des conteneurs de transfert de déchets nucléaires à la radioprotection des équipements télécommandés, l'alliage de tungstène, grâce à son excellente densité, ses propriétés mécaniques et ses avantages environnementaux, offre une solution compacte, stable et durable pour les environnements industriels à fort rayonnement.

Grâce aux progrès de la fabrication écologique, à la haute fiabilité et à l'intégration de précision, le blindage en alliage de tungstène jouera un rôle plus important dans des domaines clés de l'industrie du futur. Son intégration à l'intelligence artificielle, au contrôle à distance et à la fabrication numérique apportera également des garanties de fonctionnement plus sûres, plus efficaces et plus intelligentes dans les environnements industriels à fort rayonnement.

4.3 Pièces de blindage en alliage de tungstène dans l'aérospatiale

Le secteur aérospatial est un domaine stratégique pour l'application des pièces de blindage en alliage de tungstène. Sa densité élevée, son point de fusion élevé, ses excellentes performances de protection contre les radiations et sa stabilité thermique en font un matériau essentiel pour des applications clés telles que les vols spatiaux habités, l'exploration de l'espace lointain, la protection des équipements électroniques des satellites et l'isolation des systèmes de propulsion. Face à des défis extrêmes tels que les rayons cosmiques, les tempêtes de particules à haute énergie, les environnements thermiques aérodynamiques à ultra-haute température et les conditions de

COPYRIGHT AND LEGAL LIABILITY STATEMENT

microgravité, les matériaux métalliques traditionnels sont souvent incapables de les gérer. L'alliage de tungstène est devenu un matériau de choix grâce à ses performances globales.

4.3.1 Application du blindage en alliage de tungstène à l'exploration de l'espace lointain et à la protection des satellites

1. Protection contre les rayons cosmiques et le rayonnement des particules solaires :

Les engins spatiaux opérant en orbite basse (LEO), en orbite moyenne (MEO) et dans l'espace lointain sont exposés aux rayons cosmiques (GCR) et aux particules solaires (SEP) pendant de longues périodes. Ces particules à haute énergie représentent une menace importante pour les équipements électroniques aérospatiaux, les systèmes de capteurs et même la santé des astronautes. Le numéro atomique élevé et la forte densité de l'alliage de tungstène en font un excellent bloqueur des rayons gamma, du flux d'électrons et de certains rayons neutroniques, ce qui peut efficacement affaiblir le flux de particules, réduire les perturbations dues aux événements isolés (SEU) et les dommages causés aux matériaux par les radiations.

2. Structure de protection locale des équipements électroniques des satellites :

Dans les satellites à haute fiabilité tels que les communications, la navigation et la télédétection, l'alliage de tungstène est utilisé comme blindage protecteur pour les composants clés suivants :

- Blindage pour composants de détection optique de précision ;
- Barrières anti-radiations pour systèmes de gestion de l'énergie ;
- Blindage contre les rayons gamma et les neutrons pour les systèmes d'alimentation électrique à radionucléides (tels que RTG) ;
- Boîtier d'isolation environnementale pour composants micro-ondes et amplificateurs à faible bruit.

En particulier dans les sondes spatiales profondes utilisées pour l'énergie nucléaire (telles que Voyager, Curiosity, etc.), l'alliage de tungstène peut être utilisé comme matériau de blindage efficace entre les sources de chaleur radioactives et d'autres systèmes pour assurer un fonctionnement stable et à long terme du système.

3. Conception légère pour petits satellites et modules électroniques aérospatiaux :

Les CubeSat, NanoSat et autres micro-engins spatiaux modernes sont extrêmement exigeants en matière de contrôle du poids. Dans ce contexte, les pièces de blindage en alliage de tungstène, grâce à leur capacité de blindage volumique élevée, permettent d'obtenir une protection accrue dans un espace réduit, assurant ainsi une optimisation structurelle et une radioprotection pour les petits satellites intégrant des composants électroniques clés.

4.3.2 Application du blindage en alliage de tungstène dans l'isolation thermique des fusées et des engins spatiaux

1. Isolation par emboutissage et protection thermique aérodynamique :

Lors de la rentrée atmosphérique d'un engin spatial, la température de surface peut dépasser

COPYRIGHT AND LEGAL LIABILITY STATEMENT

2 000 °C, et le système de protection thermique (TPS) doit présenter une résistance à l'ablation et une résistance thermique extrêmement élevées. L'alliage de tungstène présente un point de fusion pouvant atteindre 3 422 °C, une conductivité thermique élevée et un faible coefficient de dilatation thermique, ce qui en fait un matériau de protection idéal pour les zones à forte charge thermique locale. Ses applications typiques incluent :

- Blindage haute température de la gorge et du bord de la tuyère de la fusée ;
- Le cadre de support ou réflecteur de chaleur arrière de la structure du bouclier thermique ;
- Le module de protection contre les flammes de queue dans le système de propulsion ;
- La couche intermédiaire dans la hiérarchie de protection thermique d'un véhicule réutilisable.

Lors des tests de chauffage aérodynamique des engins spatiaux à retour contrôlé (tels que l'étage de récupération Falcon 9 de SpaceX) et des avions spatiaux, les composants en alliage de tungstène sont combinés avec des matériaux à base de céramique via des composites multicouches pour améliorer la résistance globale aux chocs thermiques et la stabilité structurelle.

2. Structures de blindage et d'isolation thermique dans les systèmes de propulsion :

Les moteurs-fusées à propergol liquide, les propulseurs ioniques, la propulsion nucléaire thermique (NTP) et d'autres systèmes génèrent du plasma à haute température et de la chaleur rayonnante pendant leur fonctionnement, ce qui perturbe les structures environnantes et les systèmes d'alimentation en carburant. Les anneaux de blindage, les couvercles de vortex et les séparateurs thermiques en alliage de tungstène peuvent :

- Protéger partiellement le flux de chaleur infrarouge ;
- Empêcher la dilatation thermique et la défaillance du système de carburant ;
- Contrôler la répartition de la charge thermique du système de propulsion et prolonger sa durée de vie.

L'alliage de tungstène convient également aux matériaux d'anode et de canal de guidage d'ions des futurs systèmes de propulsion électrique de forte puissance. Associé à son excellente stabilité électrothermique, il peut améliorer encore l'efficacité et la sécurité du système.

4.3.3 Vérification des performances du blindage en alliage de tungstène dans un environnement de microgravité

1. Modifications du comportement des matériaux et vérification de leur adaptabilité en microgravité :

En microgravité, la conductivité thermique, le contact d'interface, le comportement au soudage et la propagation des fissures de fatigue du matériau peuvent changer. L'alliage de tungstène est relativement fragile et sa stabilité mécanique et thermique en microgravité doit être vérifiée avant son utilisation dans des composants clés. Actuellement, la Station spatiale internationale (ISS) et la Plateforme expérimentale sur les matériaux spatiaux ont réalisé plusieurs séries d'échantillonnages d'alliages de tungstène en microgravité :

- Mesure des performances de dilatation et de contraction thermiques ;
- Analyse de la stabilité de la microstructure des matériaux ;

COPYRIGHT AND LEGAL LIABILITY STATEMENT

- Essai de résistance aux fissures après impact de particules spatiales ;
- Comportement de réponse au stress dans des conditions de choc thermique multi-cycles et de changement soudain de température.

Les résultats montrent qu'après optimisation du rapport d'alliage (tel que le système W-Ni-Fe ou W-Re) et du traitement de densification (tel que le pressage isostatique à chaud), l'alliage de tungstène peut maintenir une bonne stabilité de couplage thermomécanique et une bonne résistance aux chocs dans un environnement de microgravité.

2. Essais d'intégration structurelle des combinaisons spatiales et des dispositifs de chargement : De petites

pièces de blindage en alliage de tungstène utilisées pour le transport des combinaisons spatiales et les dispositifs de protection du personnel de cabine font également l'objet d'essais d'intégration fonctionnelle et d'ergonomie à bord de la station spatiale. Ses fonctions comprennent :

- Résister aux fuites de radiations dans la cabine ;
- Assurer une protection de la poitrine ou du cerveau contre une exposition à court terme aux particules à haute énergie ;
- Intégré dans les colis de transport de matériaux en tant que composant à double fonction (structure + protection).

3. Recherche sur la disposition des blindages pour les missions habitées de longue durée dans l'espace lointain :

la NASA, l'ESA et le projet de station spatiale chinoise étudient tous comment disposer des plaques et modules de blindage en alliage de tungstène à l'intérieur de la cabine lors des vols habités dans l'espace lointain afin de former un abri temporaire (abri anti-tempête) en cas d'événement de particules solaires (SPE). Les caractéristiques d'installation intégrée locale de l'alliage de tungstène permettent une préinstallation au sol ou un assemblage rapide en orbite pour former une structure d'abri utilisable afin de protéger la vie des astronautes.

résumé

Les composants de blindage en alliage de tungstène ont démontré leur valeur stratégique irremplaçable dans le secteur aérospatial. Dans des conditions extrêmes telles que rayonnements intenses, températures extrêmement élevées, structure précise et gravité anormale, l'alliage de tungstène offre non seulement d'excellentes performances de blindage, mais devient également un composant essentiel des fusées, satellites, engins spatiaux et missions spatiales lointaines grâce à sa stabilité thermique, sa résistance mécanique et son usinabilité.

À l'avenir, avec les progrès technologiques dans les domaines de l'exploration habitée de l'espace lointain, de la propulsion nucléaire spatiale et de la rentrée atmosphérique à grande vitesse, le blindage en alliage de tungstène continuera de jouer un rôle clé dans des scénarios d'application plus complexes et évolutifs. Ses matériaux composites, sa légèreté et son intégration fonctionnelle deviendront également des axes de recherche importants en science des matériaux et en ingénierie aérospatiale.

COPYRIGHT AND LEGAL LIABILITY STATEMENT

Autres domaines émergents du blindage en alliage de tungstène

Avec l'essor continu des applications émergentes, porté par de multiples facteurs tels que la recherche scientifique, la sécurité nationale et le développement durable, les pièces de blindage en alliage de tungstène s'étendent des applications courantes comme la médecine, l'industrie et l'aérospatiale traditionnelles à des domaines de pointe comme la recherche en physique des particules, la protection militaire de haute intensité et les technologies de protection de l'environnement. Sa densité élevée, son numéro atomique élevé, son excellente résistance aux radiations et sa stabilité thermique lui permettent de continuer à jouer un rôle de blindage fiable dans des environnements extrêmement complexes, devenant ainsi un matériau de support important pour de futures applications multidisciplinaires.

4.4.1 Application du blindage en alliage de tungstène dans les expériences de physique des particules

1. Structures de blindage pour accélérateurs et systèmes de détection à haute énergie :

Dans les dispositifs expérimentaux de physique des particules à grande échelle, tels que le Grand collisionneur de hadrons (LHC) de l'Organisation européenne pour la recherche nucléaire (CERN), l'Installation de rayonnement synchrotron à haute énergie (HEPS) de Chine et le Réacteur thermonucléaire expérimental international (ITER), les équipements expérimentaux génèrent des flux élevés de rayons gamma, de neutrons et de particules secondaires. Ces rayonnements perturbent non seulement les mesures expérimentales, mais mettent également en danger les chercheurs et les systèmes de contrôle.

Le blindage en alliage de tungstène est largement utilisé dans :

- **Beam Dump** : absorbe les flux de particules à grande vitesse avec des énergies allant jusqu'à des centaines de GeV.
- **Cavité de blindage autour des détecteurs de particules** : comme le manchon de suppression des rayons gamma des détecteurs de xénon liquide ;
- **Tampons à neutrons et boucliers anti-artefacts pour dispositifs générateurs de neutrons** ;
- **Structure pour supprimer les interférences entre un laser puissant et un rayonnement dans un accélérateur de plasma laser** .

Grâce à sa valeur Z élevée, le tungstène (74) bloque bien mieux les rayons gamma de haute énergie que le cuivre et l'acier. Sa structure est stable et difficile à fondre. C'est un matériau essentiel à la construction d'une plateforme expérimentale de physique des hautes énergies.

2. Blindage à très faible bruit de fond pour les expériences de détection de matière noire et de neutrinos :

Les alliages de tungstène sont également utilisés dans des expériences dans des environnements à très faible bruit de fond, tels que :

- Projets de détection de matière noire (tels que XENONnT et LUX-ZEPLIN) ;
- Expériences de mesure de la masse des neutrinos (telles que KATRIN) ;

COPYRIGHT AND LEGAL LIABILITY STATEMENT

- Expérience de mesure de précision de la désintégration des neutrons et de la désintégration β .

Ces expériences sont souvent réalisées en profondeur, dans le but de détecter des signaux extrêmement faibles. La radioactivité des matériaux de blindage environnants est donc extrêmement élevée. L'utilisation d' **un alliage de tungstène à faible bruit de fond** (c'est-à-dire composé de matières premières d'une grande pureté et d'une contamination radioactive extrêmement faible) permet de construire une couche protectrice efficace pour supprimer efficacement le rayonnement de fond naturel et les interférences des rayons cosmiques.

4.4.2 Application du blindage en alliage de tungstène à la protection de la défense et de la sécurité nationales

1. Structures de protection pour dispositifs liés aux armes nucléaires :

Les alliages de tungstène sont largement utilisés dans l'industrie de la défense, notamment pour la protection contrôlable des armes nucléaires, l'analyse des données d'essais nucléaires souterrains et la construction de systèmes de radioprotection. Le blindage en alliage de tungstène présente les avantages suivants :

- **Il présente une grande efficacité dans l'absorption des rayons gamma et des neutrons** et peut être utilisé pour le blindage des ogives et les composants de test des dispositifs nucléaires fermés ;
- **Forte résistance aux chocs** , peut résister à une explosion ou à un impact tout en conservant son intégrité ;
- **Utilisé dans les dispositifs de sécurité de criticité** , tels que les boîtiers de blindage de réflecteurs en plutonium ou en uranium.

2. Utilisé dans les équipements de détection militaire et les équipements de protection nucléaire, biologique et chimique :

Dans la guerre électronique, la détection nucléaire et la protection d'urgence, les composants en alliage de tungstène peuvent être utilisés pour :

- Blindage de modules électroniques pour plates-formes de détection de radiations nucléaires sans pilote ;
- Blindage structurel interne des casques de protection et des détecteurs nucléaires portables ;
- Radioprotection des chemins optiques et des composants sensibles dans les systèmes d'armes laser.

Par exemple, certains **gilets de protection contre les radiations portables militaires** ont commencé à utiliser des modules de poids en alliage de tungstène pour remplacer les plaques de plomb traditionnelles, en tenant compte à la fois de l'efficacité du blindage et du confort de port.

3. Exploration des applications dans le domaine de l'antiterrorisme et de la protection contre les explosions :

Avec la demande croissante en matière de sécurité urbaine et de prévention et de contrôle des

COPYRIGHT AND LEGAL LIABILITY STATEMENT

attaques terroristes, les matériaux en alliage de tungstène sont également explorés pour des applications dans :

- Chambre d'isolement des parois antidéflagrantes et des matières radioactives ;
- Dispositif mobile de capture de sources radioactives ;
- Boîte d'élimination d'urgence de matières radioactives (utilisée pour la gestion des urgences dans les aéroports, les métros et les lieux publics).

Sa structure hautement personnalisable, sa résistance aux chocs et à la corrosion le rendent pratique dans les scénarios de réponse rapide.

4.4.3 Potentiel du blindage en alliage de tungstène dans la technologie de protection de l'environnement

1. Surveillance et contrôle des rayonnements environnementaux :

Dans les systèmes de surveillance environnementale, notamment dans les zones d'accident nucléaire, les installations nucléaires abandonnées, la gestion des mines d'uranium, les sites de stockage de déchets radioactifs et autres scénarios, il est nécessaire de surveiller avec précision les rayons gamma et les rayonnements neutroniques environnementaux et d'établir des barrières physiques. Le blindage en alliage de tungstène peut être utilisé pour :

- Protection par sonde de radiation pour les stations locales de surveillance environnementale ;
- Blindage modulaire pour entrepôts de stockage de déchets nucléaires ;
- Structure de la barrière source γ dans le lixiviat des résidus d'uranium.

Comparé aux matériaux traditionnels tels que l'acier et le plomb, il présente non seulement une efficacité de blindage plus élevée, mais réduit également le risque de pollution secondaire.

2. Tendance écologique et respectueuse de l'environnement pour remplacer le plomb :

À l'échelle mondiale, face à l'intensification des réglementations environnementales sur la pollution au plomb (comme la directive RoHS de l'UE, REACH, les réglementations de l'EPA des États-Unis, etc.), l'alliage de tungstène est devenu une **alternative écologique de choix** en raison de ses avantages : non-toxicité, recyclabilité et traitement de fusion contrôlable. Il a été inclus dans le système de matériaux radioactifs respectueux de l'environnement de certains pays, notamment :

- Équipement de détection de rayons X verts (blindage en alliage de tungstène au lieu d'une coque en plomb) ;
- Conteneurs de transport de déchets médicaux nucléaires respectueux de l'environnement ;
- Module d'emballage de blindage en alliage de tungstène réutilisable.

3. Application collaborative aux systèmes d'énergie renouvelable :

Dans le développement de la fusion nucléaire (comme le tokamak) et des réacteurs à fission avancés, les alliages de tungstène sont utilisés non seulement comme boucliers, mais aussi comme **matériaux de première paroi plasma**, couches de décélération des neutrons, etc., et sont étroitement liés aux technologies d'énergie propre. Par exemple, dans le cadre du projet ITER, le tungstène sera utilisé

COPYRIGHT AND LEGAL LIABILITY STATEMENT

dans des domaines clés pour résister aux impacts neutroniques à haute énergie, et servira également de blindage et de composants fonctionnels composites structurels.

résumé

Les pièces de blindage en alliage de tungstène s'imposent progressivement dans les domaines d'application traditionnels et offrent de vastes perspectives de développement dans des domaines émergents tels que les expériences de physique des particules, la protection de la sécurité de la défense nationale et la gouvernance environnementale. Leur densité élevée unique, leur grande efficacité de blindage, leur excellente stabilité mécanique et leurs propriétés écologiques contrôlables en font une plateforme de matériaux essentielle pour les futures technologies multidisciplinaires.

Grâce à la maturité continue de la purification des matériaux, de la fabrication écologique et des technologies de moulage sur mesure, les alliages de tungstène joueront un rôle de plus en plus important dans la physique des hautes énergies, les environnements militaires extrêmes, la prévention et le contrôle de la pollution radioactive et les nouveaux systèmes énergétiques. Le développement durable du blindage en alliages de tungstène s'harmonisera également avec les progrès scientifiques et technologiques, l'assurance de la sécurité et les objectifs de gouvernance environnementale, ouvrant ainsi des perspectives d'applications plus riches et plus complexes.

COPYRIGHT AND LEGAL LIABILITY STATEMENT

CTIA GROUP LTD

High-Density Tungsten Alloy Customization Service

CTIA GROUP LTD, a customization expert in high-density tungsten alloy design and production with 30 years of experience.

Core advantages: 30 years of experience: deeply familiar with tungsten alloy production, mature technology.

Precision customization: support high density (17-19 g/cm³), special performance, complex structure, super large and very small parts design and production.

Quality cost: optimized design, optimal mold and processing mode, excellent cost performance.

Advanced capabilities: advanced production equipment, RMI, ISO 9001 certification.

100,000+ customers

Widely involved, covering aerospace, military industry, medical equipment, energy industry, sports and entertainment and other fields.

Service commitment

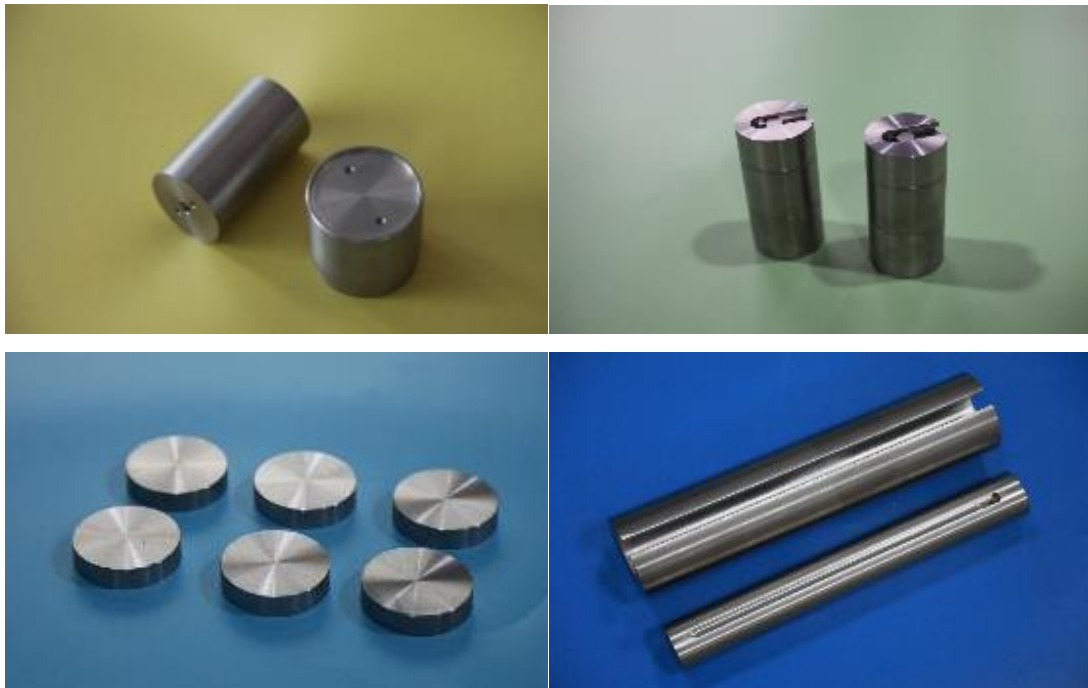
1 billion+ visits to the official website, 1 million+ web pages, 100,000+ customers, 0 complaints in 30 years!

Contact us

Email: sales@chinatungsten.com

Tel: +86 592 5129696

Official website: www.tungsten-alloy.com



COPYRIGHT AND LEGAL LIABILITY STATEMENT

Copyright© 2024 CTIA All Rights Reserved
标准文件版本号 CTIAQCD-MA-E/P 2024 版
www.ctia.com.cn

电话/TEL: 0086 592 512 9696
CTIAQCD-MA-E/P 2018-2024V
sales@chinatungsten.com



Chapitre 5 Défis et solutions du blindage en alliage de tungstène

5.1 Coût des pièces de blindage en alliage de tungstène et gestion de la chaîne d'approvisionnement

Dans le contexte de l'utilisation répandue des alliages de tungstène pour le blindage dans les secteurs médical, industriel, aérospatial et de la défense nationale, la maîtrise des coûts de fabrication et la stabilité du système d'approvisionnement, tout en garantissant des performances élevées, sont devenues une préoccupation majeure pour les fabricants de matériaux et les clients finaux. Le tungstène étant une ressource rare, ses coûts de fusion et de préparation des alliages sont relativement élevés et les exigences technologiques de transformation sont strictes. Il est donc nécessaire de maîtriser systématiquement les coûts et d'optimiser les configurations d'approvisionnement en matières premières, la construction de la chaîne d'approvisionnement, les méthodes de fabrication par lots et autres étapes.

5.1.1 Optimisation du coût des matières premières des pièces de blindage en alliage de tungstène

1. Structure des coûts des matières premières du tungstène

Dans la structure de coût des pièces de blindage en alliage de tungstène, les matières premières représentent environ 60 à 70 % du coût total. Les principales matières premières sont :

COPYRIGHT AND LEGAL LIABILITY STATEMENT

- Poudre de tungstène (W) : Le prix de la poudre de tungstène de haute pureté détermine directement le coût final de l'alliage et fluctue considérablement en raison de l'extraction du tungstène, des conditions du marché international et des politiques.
- Éléments d'alliage : Les éléments ajoutés courants comprennent Ni, Fe, Cu, Re, La, etc. Différents ratios et exigences de pureté affectent le prix des matières premières.
- Traitement de purification et de criblage : la poudre de tungstène doit généralement passer par des étapes telles que la réduction, la granulation, le classement et le séchage, ce qui augmente le coût unitaire du matériau.

2. Stratégie d'optimisation

1. **L'utilisation de ressources secondaires et de poudre de tungstène recyclée**
utilise **des déchets de tungstène recyclés (tels que des fils de tungstène usagés, des électrodes de tungstène et d'anciennes pièces de blindage)** pour produire de la poudre de tungstène recyclée de haute pureté par hydrométallurgie ou par méthode d'oxydoréduction, ce qui peut non seulement réduire le coût des matières premières de 10 % à 20 %, mais également se conformer à la tendance de la protection de l'environnement et de la fabrication durable.
2. **Optimiser le ratio d'alliage**
tout en répondant aux exigences de performance de blindage et de résistance mécanique, et remplacer certains éléments coûteux par une vérification des procédés. Par exemple :
 - Remplacer le système Ni-Cu par Ni-Fe ;
 - Contrôlez précisément la quantité de Re ajoutée pour réduire le coût des matériaux à haute température ;
 - Utiliser des conceptions structurelles renforcées par des particules pour remplacer certains éléments coûteux.
3. **La stratégie d'approvisionnement en matières premières multi-spécifications**
consiste à acheter des matières premières de différentes qualités en fonction de différents types de pièces de blindage (telles que le blindage médical, aérospatial et industriel), par exemple :
 - L'utilisation médicale nécessite une poudre de tungstène de haute pureté ($\geq 99,95\%$) ;
 - Pour un usage industriel, une petite quantité de poudre de tungstène commerciale avec une teneur en oxygène légèrement plus élevée peut être utilisée pour contrôler le prix par gramme.
4. **Les mécanismes d'approvisionnement conjoint et d'accord à long terme ainsi que**
la signature de contrats d'approvisionnement à long terme avec des sociétés de métallurgie des poudres ou des sociétés minières en amont peuvent contribuer à limiter le risque de fluctuations des prix des matières premières et à améliorer le pouvoir de négociation.

5.1.2 Stratégie de diversification de la chaîne d'approvisionnement des pièces de blindage en alliage de tungstène

COPYRIGHT AND LEGAL LIABILITY STATEMENT

1. Analyse de la vulnérabilité de la chaîne d'approvisionnement

Les ressources en tungstène sont très concentrées : la Chine, la Russie, la Bolivie et d'autres pays représentent plus de 70 % de la production mondiale de concentré de tungstène. De plus, certains pays ont mis en place des contrôles à l'exportation, des quotas ou des politiques de réserves stratégiques sur les produits à base de tungstène, rendant l'industrie des alliages de tungstène vulnérable à de multiples interférences telles que la géopolitique, les politiques tarifaires et les goulets d'étranglement dans les transports.

De plus, la chaîne de traitement des alliages de tungstène est relativement longue, allant de l'extraction du minerai à la préparation de la poudre de tungstène, en passant par le pressage, le frittage, l'usinage et le traitement thermique, jusqu'au traitement de surface. L'instabilité de l'un de ces maillons peut entraîner des augmentations de coûts ou des retards de livraison.

2. Stratégie d'aménagement diversifiée

1. Plusieurs canaux d'approvisionnement en matières premières sont déployés en parallèle

- Achetez de la poudre de tungstène et des métaux auxiliaires via deux canaux au pays et à l'étranger ;
- les pays d'Asie du Sud-Est et d'Afrique qui disposent de ressources en tungstène doivent réduire leur dépendance individuelle ;
- Explorez l'utilisation de poudres de pureté moyenne provenant de marchés non traditionnels pour des produits non essentiels.

2. Construction de centres de traitement régionaux L'établissement de centres de traitement de pièces de blindage en alliage de tungstène ou d'ateliers d'assemblage modulaires à proximité d'équipements médicaux ou de centres industriels peut permettre de réaliser le traitement CNC, l'assemblage et l'inspection qualité sur site, réduisant ainsi les coûts logistiques et les stocks intermédiaires.

3. Les liens clés du processus sont équilibrés

entre l'autocontrôle et l'externalisation pour obtenir une capacité de production propre pour les liens principaux (tels que le frittage et l'usinage de précision), et une allocation flexible de la capacité est obtenue grâce à l'externalisation stratégique pour les processus non essentiels (tels que l'usinage grossier et le traitement de surface), améliorant ainsi la flexibilité de la chaîne d'approvisionnement globale.

4. La plateforme de gestion de la chaîne d'approvisionnement numérique

utilise les systèmes ERP et MES pour surveiller numériquement l'ensemble du processus d'approvisionnement en matières premières, les niveaux de stock, la livraison des commandes et la traçabilité de la qualité, améliorant ainsi la transparence des informations et l'efficacité collaborative et réduisant la redondance de la chaîne d'approvisionnement.

5.1.3 Avantages économiques de la production à grande échelle de pièces de blindage en alliage de tungstène

1. Relation entre la production de masse et le coût unitaire

COPYRIGHT AND LEGAL LIABILITY STATEMENT

La fabrication de pièces de blindage en alliage de tungstène est complexe, impliquant de multiples étapes d'usinage de précision et de traitement à haute température, et nécessitant des investissements importants en équipements. Cependant, l'amélioration du taux d'utilisation des capacités et la standardisation du procédé permettent de réaliser **des économies d'échelle évidentes**, notamment :

- Meilleure utilisation des matériaux (les chutes peuvent être recyclées) ;
- Les moules, l'outillage et les montages peuvent être réutilisés pour répartir les coûts ;
- Des fours de traitement thermique et des centres d'usinage multi-stations sont utilisés en parallèle pour améliorer l'efficacité de production ;
- Normaliser les opérations et les processus de contrôle qualité pour réduire les pertes opérationnelles et les coûts de reprise.

Selon l'expérience de l'industrie, **si la production mensuelle dépasse 1 000 pièces** (selon la complexité des pièces), le coût de fabrication unitaire peut être réduit de 15 à 30 %.

2. Optimisation collaborative de la personnalisation et de la standardisation

Bien que les pièces de blindage en alliage de tungstène soient principalement des produits personnalisés, grâce à une conception modulaire et à une réflexion sur l'assemblage de pièces standard, la personnalisation de petits lots et la production collaborative de pièces standard en grands lots peuvent être prises en compte :

- Développer des modules de blindage standards avec des interfaces et des dimensions unifiées ;
- Des fonctions personnalisées peuvent être obtenues en remplaçant des structures internes ou des composants fonctionnels ;
- Introduire **des échantillons de blindage en alliage de tungstène imprimés en 3D** comme moyen de développement précoce de prototypes pour réduire l'investissement et le cycle de production d'essai.

Cette stratégie parallèle « standard + personnalisation » permet de contrôler les coûts de R&D et de vérification, d'améliorer la vitesse de réponse des clients et de renforcer la compétitivité du marché.

3. Croissance synergique tirée par le marché et la technologie

Avec l'amélioration des normes mondiales de sécurité radiologique et l'expansion des marchés de fabrication haut de gamme, les pièces de blindage en alliage de tungstène entrent progressivement sur le marché de masse moyen à haut de gamme, comme les équipements industriels, les tests civils et les appareils portables du marché de niche haut de gamme des « petits lots, forte personnalisation », favorisant les tendances suivantes :

- Le marché des équipements d'imagerie médicale intelligents connaît une forte demande de structures de blindage miniaturisées ;
- Acquisition de modules universels pour le support de pièces d'équipements de détection de rayons d'automatisation industrielle ;
- Les composants en alliage de tungstène pour les plates-formes militaires aérospatiales connaissent une croissance constante.

Cette croissance massive de la demande du marché entraîne à son tour une optimisation continue des processus de fabrication et une réduction continue des coûts, formant ainsi un cycle positif.

COPYRIGHT AND LEGAL LIABILITY STATEMENT

résumé

Le blindage en alliage de tungstène est irremplaçable dans le domaine des matériaux haute performance. Sa maîtrise des coûts et de la chaîne d'approvisionnement déterminera directement la compétitivité des entreprises sur le marché mondial. L'optimisation de la sélection et de la proportion des matières premières, la mise en place d'une chaîne d'approvisionnement diversifiée et robuste et la promotion de modèles de fabrication à grande échelle permettent non seulement de maîtriser efficacement les coûts de fabrication et d'améliorer l'efficacité des livraisons, mais aussi de renforcer la résistance aux risques et la capacité de réponse des services techniques des entreprises.

À l'avenir, avec l'application de poudre de tungstène recyclée, le développement de la technologie métallurgique verte et la numérisation industrielle, la fabrication de pièces de blindage en alliage de tungstène sera plus efficace, flexible et durable, jetant une base solide pour sa popularisation et son application dans un plus large éventail de domaines.

5.2 Précision de traitement et difficultés techniques des pièces de blindage en alliage de tungstène

L'alliage de tungstène est un matériau typiquement difficile à usiner. La fabrication de pièces de blindage en alliage de tungstène nécessite non seulement de surmonter les difficultés de découpe et de formage liées à sa dureté, sa fragilité et sa densité élevées, mais aussi d'obtenir une fabrication de haute précision et une excellente qualité de surface pour des structures complexes. Ces défis nécessitent une optimisation complète de la configuration des équipements, du choix des outils, des paramètres d'usinage, des technologies de post-traitement, etc., ainsi que l'introduction de technologies de fabrication avancées telles que la fabrication additive (impression 3D) pour surmonter les obstacles liés aux procédés d'usinage traditionnels.

5.2.1 Défis de traitement des matériaux de haute dureté pour le blindage en alliage de tungstène

1. Caractéristiques et difficultés de traitement de l'alliage de tungstène

L'alliage de tungstène désigne généralement un alliage à haute densité composé de tungstène (W) comme matrice et d'une certaine proportion de Ni, Fe, Cu, Re et d'autres métaux. Ses caractéristiques typiques sont les suivantes :

- **Dureté élevée et point de fusion élevé** : dureté jusqu'à 320~380 HV, point de fusion supérieur à 3400°C ;
- **Fragilité élevée et faible plasticité** : particulièrement sujet à l'effondrement des bords ou à la fissuration à basse température ou sans recuit ;
- **Haute densité et conductivité thermique élevée** : posent des défis supplémentaires en matière d'inertie et de gestion thermique aux équipements de traitement ;
- **Facile à oxyder et à durcir en surface** : Il est facile de produire une couche d'oxyde ou une coque dure frittée lors d'une découpe ou d'un meulage à haute température.

COPYRIGHT AND LEGAL LIABILITY STATEMENT

2. Défis de la technologie de traitement traditionnelle

1. Tournage et fraisage :

L'alliage de tungstène rencontre une grande résistance lors du tournage et du fraisage. Les problèmes courants incluent :

- L'outil s'use rapidement et la durée de vie des outils en carbure ordinaires est courte ;
- Des microfissures ou des effondrements de bords sont susceptibles de se produire sur la surface traitée ;
- La chaleur de coupe est concentrée, ce qui peut facilement conduire à une déformation thermique ;
- L'évacuation des copeaux est difficile et les copeaux sont courts et durs, ce qui peut endommager l'outil ou la pièce.

Contre-mesures : Utiliser des outils en céramique revêtus et des outils diamantés ; optimiser le type et le débit du fluide de coupe ; contrôler la quantité d'avance unique et la profondeur de coupe ; introduire des machines-outils à faible vitesse et à couple élevé.

2. L'alliage de tungstène convient pour obtenir une précision géométrique grâce **au meulage fin et à l'électroérosion, mais il présente également des problèmes** :

- Rapport de broyage élevé, usure importante de la meule ;
- Des microfissures de surface et des piqûres de décharge sont facilement générées pendant le processus d'EDM ;
- Une zone affectée thermiquement (ZAT) excessive entraîne une réduction des propriétés mécaniques.

Méthodes d'amélioration : Utiliser des meules ultra-dures (telles que CBN, diamant) ; effectuer plusieurs meulages fins pour contrôler l'usure des meules ; utiliser l'EDM à impulsions pour contrôler l'apport de chaleur ; et utiliser le post-traitement pour éliminer la couche affectée par la chaleur.

5.2.2 Potentiel d'application de la technologie d'impression 3D pour le blindage en alliage de tungstène

1. Avantages de la fabrication additive pour le blindage en alliage de tungstène

L'alliage de tungstène présente une structure complexe, des exigences de haute précision et une faible surépaisseur de traitement, ce qui le rend idéal pour résoudre les problèmes de procédés traditionnels par fabrication additive (FA). Ses principaux avantages sont les suivants :

- **Configuration libre** : convient à la conception de modules de blindage de canaux complexes et de cavités intégrées ;
- **Réduire le gaspillage de matériaux** : les matières premières en alliage de tungstène à haute densité sont chères et l'impression 3D permet d'obtenir une forme quasi nette ;
- **Améliorer la précision du traitement** : convient à la fabrication personnalisée de petits lots et de produits très complexes ;

COPYRIGHT AND LEGAL LIABILITY STATEMENT

- **Gestion optimisée des contraintes thermiques** : le dépôt couche par couche contrôle l'apport de chaleur et réduit le risque de fissuration thermique.

2. Chemin technologique clé

1. Fusion sélective par laser (SLM).

La technologie d'impression 3D d'alliages de tungstène la plus répandue actuellement est la SLM. Elle fond sélectivement des poudres d'alliages à base de tungstène grâce à des faisceaux laser à haute énergie et les accumule couche par couche pour produire des composants haute densité (> 98 %). Les défis à relever sont les suivants :

- Sphéroïdisation de poudre et contrôle de la fluidité ;
- pour craquer, il faut contrôler la température et la vitesse ;
- Post-traitement pour éliminer les contraintes internes et améliorer la ténacité.

2. Fusion par faisceau d'électrons (EBM) combinée à la technologie de pressage isostatique à chaud (HIP) L'EBM

convient aux matériaux à point de fusion élevé et ne s'oxyde pas facilement sous atmosphère de traitement ; combiné au HIP, il peut éliminer davantage les pores et les microfissures et améliorer la densité et la résistance mécanique.

3. Le procédé de projection de liant et de frittage

est utilisé pour les petits composants de blindage nécessitant une faible résistance structurelle, tels que les modules de blindage portables ou les composants de guides neutroniques. Son faible coût de fabrication et sa rapidité de fabrication permettent une personnalisation de masse.

3. Goulots d'étranglement techniques et solutions

- **Contrôle des contraintes résiduelles** : Optimiser la stratégie de numérisation et le système de préchauffage ;
- **Difficulté de préparation de la poudre** : Développer une poudre de tungstène à faible teneur en oxygène et à haute sphéricité ;
- **Haute sensibilité aux fissures après formage** : Développer des alliages de tungstène imprimables avec une certaine plasticité tels que W-Ni-Fe ;
- **Problèmes de stabilité dimensionnelle** : Etablir un mécanisme de correction pour le couplage impression-traitement thermique-usinage.

5.2.3 Contrôle de précision et qualité de surface des pièces de blindage en alliage de tungstène

1. Exigences de contrôle de la précision du traitement

Les pièces de blindage en alliage de tungstène nécessitent une structure présentant une grande précision de forme et de positionnement, ainsi qu'une grande stabilité des joints. Les exigences typiques incluent :

- Tolérance de coaxialité et de planéité < 0,02 mm ;
- Erreur de taille de trou $\leq \pm 0,01$ mm ;
- Les pièces à parois minces doivent avoir une résistance élevée à la déformation ;
- L'épaisseur multimodule doit maintenir la symétrie structurelle et l'étanchéité.

COPYRIGHT AND LEGAL LIABILITY STATEMENT

2. Stratégie d'amélioration de la qualité de surface

1. La stratégie de finition d'usinage

utilise un centre d'usinage CNC de haute précision, combiné à une petite avance, une faible profondeur de coupe, un liquide de refroidissement suffisant et un système de fixation dédié pour réduire efficacement les erreurs causées par la déformation thermique et les vibrations.

2. Pour les pièces de blindage haut de gamme dont la rugosité de surface Ra est comprise entre 0,2 et 0,8 μm , le **polissage électrochimique et le micro-grenailage utilisent souvent**

un électrolyte spécial en alliage de tungstène pour homogénéiser la surface et éliminer les microfissures et les traces de coupe. Associé à des billes de verre ou au grenailage céramique, il permet d'améliorer la contrainte de compression de surface et la résistance à la fatigue.

3. Optimisation du revêtement et du placage de surface

- Pour les pièces de blindage des équipements médicaux, **des revêtements non toxiques tels que TiN et CrN peuvent être ajoutés ;**
- Les composants de blindage aérospatial peuvent utiliser **des revêtements céramiques tels que SiC et ZrO₂ pour améliorer la réflexion de la chaleur et les performances anti-oxydation ;**
- Un revêtement conducteur nickel-cuivre peut être ajouté pour réduire les fuites électromagnétiques conformément aux exigences de compatibilité électromagnétique (CEM).

4. La technologie de contrôle non destructif des défauts de surface

intègre **le balayage par ultrasons, le contrôle non destructif par rayons X, la mesure à trois coordonnées (CMM) et l'interféromètre optique** pour garantir que les dimensions clés et les conditions d'interface répondent aux normes de conception.

résumé

Les pièces de blindage en alliage de tungstène sont essentielles à la fiabilité de leurs performances et à leur adaptabilité technique. De la découpe des matières premières au moulage de haute précision, en passant par l'exploration des nouvelles technologies de fabrication additive, toute la chaîne de traitement est confrontée aux défis posés par les matériaux de haute dureté et aux difficultés de traitement des structures complexes.

Grâce à l'optimisation des procédés traditionnels, à l'introduction de nouvelles technologies d'impression 3D et à l'amélioration de la précision et des méthodes de contrôle de surface, la précision d'usinage des pièces de blindage en alliage de tungstène progresse constamment. À l'avenir, grâce au développement de matériaux d'outillage haute performance, à l'amélioration des bibliothèques de paramètres de fabrication additive et à l'application de systèmes de détection intelligents, la fabrication de haute précision des pièces de blindage en alliage de tungstène sera plus économique, adaptable et reproductible, contribuant ainsi à leur développement constant dans la fabrication haut de gamme, les soins médicaux de pointe et l'exploration spatiale.

COPYRIGHT AND LEGAL LIABILITY STATEMENT

5.3 Problèmes de normalisation et de certification du blindage en alliage de tungstène

Les pièces de blindage en alliage de tungstène sont largement utilisées dans des domaines clés tels que les équipements médicaux, la détection industrielle, l'aérospatiale et la protection nucléaire. Leur fabrication et leur application doivent donc respecter un ensemble de normes scientifiques, unifiées et applicables. Cependant, l'industrie actuelle est confrontée à des problèmes tels que la fragmentation des normes, le manque de reconnaissance mutuelle des normes entre les pays et l'absence d'un système de certification systématique pour les nouvelles « pièces de blindage intelligentes », ce qui pose des défis considérables en matière de commerce international, d'échange de produits, d'évaluation de la qualité et de contrôle de la sécurité.

Ce chapitre se concentrera sur les questions fondamentales de la construction de systèmes standard, explorera les différences entre les normes internationales et nationales actuelles, les progrès de la normalisation des composants de blindage intelligents en alliage de tungstène et les voies réalisables pour promouvoir la collaboration mondiale et les normes unifiées.

Différences entre les normes internationales et nationales relatives au blindage en alliage de tungstène

1. Aperçu des normes existantes

Il n'existe pas de norme internationale unifiée et indépendante pour les pièces de blindage en alliage de tungstène. Les spécifications techniques pertinentes sont principalement réparties dans les domaines suivants :

- **Normes générales sur les matériaux** : telles que ASTM B777 (spécification standard pour les alliages lourds de tungstène), ISO 9001 (système de gestion de la qualité), GB/T 14841 (classification du tungstène et des alliages de tungstène) ;
- **Normes orientées applications** :
 - Radioprotection médicale : IEC 60601, ISO 11137, YY/T 1554 ;
 - Protection de l'industrie nucléaire : ISO 7195 (matières nucléaires), AIEA RSG-1.7 ;
 - Équipement de détection de rayons X industriel : ASTM E181, GB/T 19802 ;
- **Normes de traitement et d'essai** : telles que ISO 2768 (tolérance), GB/T 16865 (méthode d'essai pour les produits en poudre métallique frittée), ASTM E10 (essai de dureté Brinell), etc.

Bien que l'alliage de tungstène soit de plus en plus important en tant que matériau de blindage, en raison de sa forte nature transversale et de ses scénarios d'application complexes, un **système standard indépendant, systématique et applicable à l'industrie pour les pièces de blindage en alliage de tungstène n'a pas encore été établi** .

2. Différences entre les normes chinoises et étrangères

COPYRIGHT AND LEGAL LIABILITY STATEMENT

- 1. Différentes méthodes de dénomination et de classification :**
les normes internationales sont principalement basées sur la densité du matériau et la classification des composants (comme la classe 1-4 dans ASTM B777), tandis que les normes chinoises sont souvent divisées par méthodes de processus et nuances (comme l'alliage W-Ni-Fe, la série WCu), ce qui entraîne des écarts dans la dénomination et l'applicabilité du même matériau.
- 2. Les indices de performance sont évidemment différents :**
pour des matériaux de blindage similaires en alliage de tungstène, les normes étrangères imposent des exigences plus strictes en matière de résistance aux radiations, de consistance de la densité et de contrôles non destructifs. Par exemple, la norme ASTM B777 fixe la valeur admissible de l'erreur de densité à $\pm 0,1 \text{ g/cm}^3$, tandis que certaines normes nationales autorisent une erreur de $\pm 0,3 \text{ g/cm}^3$.
- 3. Différentes méthodes d'essai et normes d'équipement :**
certaines normes internationales utilisent des scanners avancés, des systèmes d'imagerie tridimensionnelle à rayons X et des systèmes d'essai CMM entièrement automatisés, tandis que certaines entreprises nationales s'appuient encore principalement sur des essais manuels et ponctuels. Les différences de mise en œuvre des normes créent de nombreux obstacles à la certification des produits pour le commerce extérieur.
- 4. Désalignement des normes environnementales et de sécurité :**
les normes étrangères mettent l'accent sur les exigences de protection de l'environnement RoHS, REACH et sans plomb, tandis que la Chine exige actuellement des instructions de certification verte supplémentaires lors de l'exportation de pièces de blindage médicales et respectueuses de l'environnement, ce qui augmente les coûts d'exportation et le temps du processus de certification.

5.3.2 Défis de la normalisation des pièces de blindage intelligentes en alliage de tungstène

Avec le développement des technologies de contrôle des radiations, d'intégration microélectronique et de détection des matériaux, les pièces de blindage intelligentes en alliage de tungstène sont progressivement utilisées dans les domaines médicaux haut de gamme, les engins spatiaux, les réacteurs nucléaires intelligents et d'autres domaines. Ces pièces de blindage présentent généralement les caractéristiques suivantes :

- **Capteurs et systèmes de surveillance :** perception en temps réel de l'intensité du rayonnement, de la température, des vibrations, etc.
- **Mécanisme de réponse adaptative :** réglage de l'angle de blindage par déformation de la structure du matériau ou par composants contrôlés électroniquement ;
- **Fonction de communication et d'acquisition de données :** réaliser le contrôle de liaison avec le système de contrôle supérieur.

Ces nouvelles caractéristiques signifient que le système traditionnel de normes de matériaux centré sur la « forme physique » et l'« indice de densité » n'est plus suffisant pour évaluer de manière exhaustive la qualité et la sécurité des produits.

COPYRIGHT AND LEGAL LIABILITY STATEMENT

Les écarts de normes actuels se concentrent principalement dans :

1. **Les « performances de blindage intelligent » manquent d'un système d'indice d'évaluation** : comme la précision de détection, la stabilité des interférences électromagnétiques, le temps de réponse, le niveau de sécurité des données, etc.
2. **Absence de normes pour les structures composites** : Il n'existe pas de méthode d'évaluation systématique de la stabilité mécanique, de la résistance de l'interface et de la compatibilité de dilatation et de contraction thermiques des composants de blindage de structure multicouche « alliage de tungstène + capteur + revêtement » ;
3. **Manque de normes d'intégration logicielle et matérielle** : Par exemple, il existe un manque de normes unifiées pour les interfaces de transmission de données, la compatibilité CEM et les protocoles de vérification fonctionnelle ;
4. **Les tests du cycle de vie des produits et la certification des modes de défaillance n'ont pas encore été établis** : il n'existe pas de spécifications techniques pour la prédiction de la durée de vie des composants de blindage intelligent, l'évaluation du vieillissement et la stabilité dans des environnements extrêmes.

Chemin d'exploration :

- Sous la direction des leaders de l'industrie, les universités et les instituts de recherche ont formulé conjointement les « Spécifications générales pour les composants de blindage intelligents en alliage de tungstène » ;
- Se référer au cadre normatif de l'IEC et de l'ISO dans le domaine des terminaux intelligents et des dispositifs médicaux pour établir un modèle de certification hautement compatible ;
- Intégrer des indicateurs d'évaluation de l'intelligence artificielle dans des domaines tels que la maintenance prédictive et l'alerte de panne pour élargir les limites des définitions standard.

Coopération et normalisation mondiales des pièces de blindage en alliage de tungstène

1. Promouvoir le mécanisme de reconnaissance mutuelle des normes

À l'heure actuelle, l'exportation de pièces de blindage en alliage de tungstène se heurte à des barrières de certification dans de nombreux pays, tels que :

- **La certification CE de l'UE** nécessite des normes RoHS et ISO 13485 supplémentaires ;
- **La FDA/NRL américaine** exige des rapports de tests de sécurité détaillés ;
- **Le système de certification METI du Japon** met l'accent sur les fuites électromagnétiques et l'évaluation des risques environnementaux ;
- **La certification CCC de la Chine** ne couvre pas encore ces produits.

L'efficacité et la confiance du commerce transfrontalier des pièces de blindage en alliage de tungstène seront considérablement améliorées.

Méthode Push :

- Établir des alliances internationales de laboratoires d'essais de matériaux (par exemple, rejoindre l'ILAC-MRA) ;

COPYRIGHT AND LEGAL LIABILITY STATEMENT

- Promouvoir la conversion bilatérale des normes entre l'ISO/ASTM/IEC et d'autres organisations et l'Administration nationale de normalisation de Chine ;
- Encourager les grandes entreprises nationales à prendre l'initiative de proposer des projets de normes internationales et à promouvoir les solutions chinoises dans le monde.

2. Construire une plateforme de collaboration standardisée à l'échelle mondiale

La capacité mondiale de production de composants de blindage en alliage de tungstène est principalement concentrée en Chine, en Allemagne, aux États-Unis, au Japon et en Corée du Sud, mais la communication standard est relativement faible. Il est recommandé de renforcer les synergies par les moyens suivants :

1. **Établir des alliances internationales de collaboration industrielle** : telles que le « Global Tungsten Alloy Shielding Standards Committee (WASCC) », couvrant l'établissement de normes, le partage de données, la vérification des tests, la protection de la propriété intellectuelle, etc.
2. **Organiser régulièrement des forums et des ateliers internationaux sur les normes** afin d'attirer des représentants des régulateurs, des fabricants et des utilisateurs de divers pays ;
3. **Promouvoir le libre accès aux normes** et encourager les chercheurs, les ingénieurs et les organismes de certification à participer au processus de mise à jour des normes ;
4. **Développer des boîtes à outils internationales normalisées multilingues** (telles que des modules de traduction normalisés ISO, des organigrammes de certification, etc.) pour abaisser le seuil de participation des petites et moyennes entreprises.

résumé

En tant que matériau de protection avancé, la qualité et la fiabilité des pièces de blindage en alliage de tungstène dépendent fortement du respect du système de normes. Le système de normes mondial actuel reste fragmenté et transversal, ce qui non seulement nuit à la compatibilité entre les produits, mais freine également le commerce transfrontalier et la transformation de la fabrication intelligente. La construction d'un cadre normatif unifié, scientifique et ouvert est devenue essentielle au développement de haute qualité de l'industrie des alliages de tungstène.

À l'avenir, nous devons promouvoir cette démarche sur trois axes : premièrement, optimiser la correspondance et l'intégration des normes nationales et internationales ; deuxièmement, accélérer la formulation de normes de blindage fonctionnelles pour un développement intelligent ; troisièmement, établir une plateforme d'alliance de normes pour une collaboration mondiale et une reconnaissance mutuelle. Seule une intégration approfondie des normes, de la certification et de la fabrication permettra aux pièces de blindage en alliage de tungstène d'accéder véritablement au contrôle qualité mondial à l'ère des équipements de protection haut de gamme et des systèmes de fabrication écologiques.

COPYRIGHT AND LEGAL LIABILITY STATEMENT



Annexe

Annexe 1 : Termes et symboles courants pour le blindage en alliage de tungstène

En tant que matériau de radioprotection haute performance, la fabrication, la conception et l'application des blindages en alliage de tungstène impliquent une variété de termes professionnels, de symboles physiques et de concepts normalisés. Afin de faciliter la compréhension du contenu pertinent lors de la lecture du texte principal, cette annexe est spécialement conçue pour expliquer systématiquement les termes, symboles et applications courants des blindages en alliage de tungstène, à l'intention des techniciens, des chercheurs scientifiques et des organismes de normalisation.

1.1 Terminologie du blindage en alliage de tungstène, définition et scénarios d'application

le terme	Définition	Scénarios d'application et description
Alliage lourd de tungstène (WHA)	Matériaux à haute densité principalement composés de tungstène (W) (représentant $\geq 90\%$) et dopés avec des éléments d'alliage tels que Ni, Fe et Cu	Module de blindage CT médical, couvercle de protection de détection de défauts industriels, bloc d'équilibrage militaire

COPYRIGHT AND LEGAL LIABILITY STATEMENT

Efficacité du blindage	La capacité d'un matériau à atténuer un certain type de rayonnement (γ , X, β , neutrons, etc.), généralement exprimée sous forme de taux d'atténuation ou de coefficient de pénétration	Cabine d'équipement médical, coque de détecteur nucléaire
Densité/densité spécifique (Densité, ρ)	La masse par unité de volume du matériau, l'alliage de tungstène, est généralement de 17,0 à 18,8 g/cm ³ .	Indicateurs de base pour mesurer la force de protection et le contrôle du poids
Coefficient d'atténuation linéaire (μ)	Décrit la capacité d'atténuation d'un matériau par unité d'épaisseur à une certaine intensité de rayonnement, en cm ⁻¹	Utilisé pour les calculs de conception de blindage et la simulation de dose de rayonnement
Épaisseur minimale du bouclier (d_{min})	L'épaisseur minimale du matériau requise pour atteindre un niveau spécifié de radioprotection dans certaines conditions d'intensité et d'énergie de rayonnement.	Conçu pour les coques de blindage en médecine nucléaire, dans les laboratoires de radiation, etc.
Unité de blindage intelligente	Des capteurs intégrés et des structures de contrôle électroniques permettent une surveillance en temps réel et un réglage en retour des composants de blindage	Engins spatiaux, équipements de radiothérapie intelligents, terminaux mobiles de détection nucléaire
Capacité thermique massique (c_p)	La quantité de chaleur absorbée par une unité de masse d'un matériau lorsque la température augmente de 1 K, en J/(kg·K)	Évaluation de la stabilité thermique, test d'adaptabilité à l'environnement de travail sous rayonnement continu
Taux de fuite de rayonnement	Le débit de dose efficace par unité de surface et par unité de temps du bouclier, en $\mu\text{Sv/h}$	Tests de performance de sécurité, en particulier dans le processus de certification des équipements de rayonnement médical
Densité de frittage	Le rapport entre la densité du produit fritté et la densité théorique reflète le contrôle interne des pores.	L'un des indicateurs d'inspection de la qualité, déterminant la résistance des pièces de blindage et l'efficacité de la radioprotection
Alliage à faible activation	alliages à décroissance radioactive rapide et à faible activité résiduelle après exposition à des rayonnements à haute énergie	Utilisé pour le recyclage des matériaux de l'environnement radioactif, tels que les composants du réacteur expérimental ITER

COPYRIGHT AND LEGAL LIABILITY STATEMENT

1.2 blindage en alliage de tungstène

Pour l'évaluation des performances de blindage et la conception structurelle des alliages de tungstène, diverses expressions et symboles mathématiques sont nécessaires. Voici les formules courantes et leurs explications :

Symboles courants de la physique et des matériaux

symbole	Explication du sens	unité
ρ	Densité du matériau	g/cm ³ ou kg/m ³
μ	Coefficient d'atténuation linéaire	cm ⁻¹
d	Épaisseur du matériau	cm
J_{e_0}	Intensité du rayon incident	Toute unité de dosage
j_e	L'intensité des rayons après pénétration	Même unité que I_0
HT	Dureté Vickers	kgf/mm ²
σ_γ	Limite d'élasticité	MPa
η	Efficacité du blindage	%(pourcentage)
T	température	K ou °C

Formules de calcul courantes

1. Formule d'atténuation des rayons (loi de Beer-Lambert) :

$$I = I_0 \cdot e^{-\mu d}$$

Explication : L'intensité incidente est I_0 , et après avoir traversé l'alliage de tungstène d'une épaisseur de d , l'intensité restante est I ;

Application : Utilisé pour déterminer l'épaisseur de blindage en alliage de tungstène requise.

2. Formule de calcul de l'efficacité du blindage :

$$\eta = (1 - I / I_0) \times 100 \%$$

Indique le rapport d'atténuation du rayonnement du blindage en alliage de tungstène ;

Couramment utilisé pour la conversion des données de test en laboratoire et l'évaluation du niveau de blindage.

3. Formule de calcul de la densité théorique (alliage) (approximative pour les matériaux multiphasés) :

$$\rho_{\text{Alliage}} = \sum (w_i \cdot \rho_i)$$

Où w_i est la fraction massique de chaque composant, ρ_i est la densité de chaque composant ;

Utilisé pour la conception des alliages et la prédiction du rapport de poudre.

4. Formule de calcul de la densité de frittage :

$$\text{Densité} = \rho_{\text{théorique}} / \rho_{\text{fritté}} \times 100\%$$

COPYRIGHT AND LEGAL LIABILITY STATEMENT

Utilisé pour évaluer la cohérence de la qualité et le niveau de contrôle de la porosité de l'alliage de tungstène de métallurgie des poudres.

1.3 Progrès dans la normalisation des pièces de blindage en alliage de tungstène

1. Progrès du système international de normes

Bien qu'il n'existe pas de norme mondiale unifiée pour le blindage en alliage de tungstène, les normes suivantes ont une valeur de référence importante dans le monde entier :

Norme n°	nom	illustrer
ASTM B777	Spécification standard pour les alliages lourds de tungstène	Classification, propriétés physiques et exigences de traitement des alliages lourds de tungstène
ISO 7195	Technologie du combustible nucléaire - Alliages de zirconium de qualité nucléaire	Applicable aux matériaux de qualité nucléaire, veuillez vous référer à certaines évaluations de composants de blindage
CEI 60601	Équipement électromédical – Exigences générales	Normes de sécurité auxquelles doivent répondre les structures de radioprotection médicale
ASTM E181	Méthode d'essai standard pour l'atténuation des rayonnements des matériaux	Principalement utilisé pour la vérification des matériaux de protection contre les rayons X et les rayons gamma
AIEA TS- G-1.1	Radioprotection et sécurité des sources de rayonnement	Orientations générales de l'AIEA sur la sûreté radiologique

résumé

Les pièces de blindage en alliage de tungstène sont indissociables d'une terminologie rigoureuse, d'une modélisation mathématique précise et de systèmes de normes normalisés. En unifiant la terminologie, en exprimant clairement les relations entre les symboles et en comprenant les tendances des normes internationales, les chercheurs et les ingénieurs peuvent atteindre un niveau de collaboration professionnelle plus élevé dans la conception et le développement, le contrôle qualité et la coopération transfrontalière des pièces de blindage.

Les technologies liées au blindage en alliage de tungstène continueront d'être améliorées et deviendront une base importante pour promouvoir la normalisation et l'internationalisation de l'industrie.

Annexe 2 : Normes internationales et nationales pour le blindage en alliage de tungstène (ISO/ASTM/GB)

Les pièces de blindage en alliage de tungstène doivent respecter scrupuleusement les normes en vigueur afin de garantir qualité, sécurité et performances. Bien qu'il n'existe pas de norme unique et spécifique pour les pièces de blindage en alliage de tungstène au monde, de nombreuses normes ISO, ASTM et CEI contiennent des dispositions claires sur les propriétés des matériaux, les

COPYRIGHT AND LEGAL LIABILITY STATEMENT

méthodes d'essai et les exigences de sécurité. Ces dernières années, la Chine a activement établi et amélioré les normes GB et industrielles, et a progressivement mis en place un système de spécifications systématique.

Cette annexe vise à trier de manière exhaustive les principales normes internationales et nationales dans le domaine du blindage en alliage de tungstène, à analyser en profondeur sa connotation technique et à anticiper l'orientation future du développement de la normalisation.

2.1 Blindage en alliage de tungstène

2.1.1 Propriétés et spécifications des matériaux

- **ASTM B777 — Spécification standard pour les alliages lourds de tungstène**

Cette norme définit en détail la composition du matériau, les propriétés physiques, les propriétés mécaniques et les exigences de microstructure des alliages lourds de tungstène. Elle couvre les principales nuances telles que W-Ni-Fe et W-Ni-Cu, et spécifie la masse volumique ($\geq 17,0 \text{ g/cm}^3$), la dureté, la résistance à la traction et la ductilité. Elle fournit une base fiable pour la sélection des matériaux de blindage en alliage de tungstène.

- **La norme ISO 7195 — Technologie du combustible nucléaire — Alliages de zirconium de qualité nucléaire**

est principalement basée sur les alliages de zirconium. Les méthodes d'essai, le contrôle de la qualité et l'évaluation de la stabilité aux radiations des matériaux nucléaires dans la norme ISO 7195 fournissent une référence pour la vérification de la sécurité nucléaire des pièces de blindage en alliage de tungstène.

2.1.2 Performances de blindage et normes de sécurité

- **ASTM E181 — Méthode d'essai standard pour l'atténuation des rayonnements des matériaux**

Cette norme spécifie le processus d'essai et l'analyse des données de performance de blindage des matériaux contre les rayons X et les rayons gamma, et constitue une référence importante pour évaluer l'efficacité de blindage des alliages de tungstène.

- **La norme IEC 60601 — Équipements électromédicaux — Exigences générales pour la sécurité de base et les performances essentielles**

est une norme de sécurité des équipements médicaux qui propose des exigences spécifiques pour la limite de fuite de rayonnement, la résistance mécanique et la compatibilité électromagnétique des composants de blindage en alliage de tungstène médical.

- **Les normes de sécurité de l'AIEA (par exemple, GSR Partie 3)**

sont le guide de sécurité de la radioprotection de l'Agence internationale de l'énergie atomique, couvrant les principes de conception des matériaux de blindage et les spécifications de l'environnement d'utilisation, fournissant une référence mondiale faisant autorité pour la sécurité nucléaire du blindage en alliage de tungstène.

2.1.3 Normes de traitement et de test

COPYRIGHT AND LEGAL LIABILITY STATEMENT

- **ISO 2768 — Tolérances générales**
Cette norme s'applique au contrôle des tolérances dimensionnelles des pièces de blindage en alliage de tungstène afin de garantir que la précision de fabrication répond aux exigences techniques.
- **La méthode d'essai standard ASTM E10 pour la dureté Brinell des matériaux métalliques**
est principalement utilisée pour tester la dureté des matériaux de blindage en alliage de tungstène afin de garantir que la dureté du matériau répond aux spécifications de conception.
- **La norme ASTM B930 — Guide standard pour la fabrication d'alliages lourds de tungstène**
fournit des directives techniques pour le traitement, le soudage, le traitement thermique, etc. des alliages lourds de tungstène, afin de soutenir la fabrication de haute qualité de pièces de blindage.

Explication détaillée des normes nationales relatives au blindage en alliage de tungstène

2.2.1 Matériaux et normes de classification

- **GB/T 14841 — Classification et représentation du tungstène et de ses alliages.** Cette norme classifie systématiquement le tungstène et ses alliages, spécifie les règles de dénomination et les paramètres de performance de base, et constitue la norme de base pour l'industrie nationale des alliages de tungstène.
- **La norme GB/T 19802 — Règles générales relatives aux composants de blindage contre les rayonnements destinés aux équipements industriels de contrôle non destructif —**
spécifie les principes de conception, les indicateurs de performance et les méthodes d'essai des composants de blindage destinés aux équipements industriels de détection des rayonnements. Elle constitue une base essentielle pour la fabrication de composants de blindage en alliage de tungstène dans le secteur industriel.

2.2.2 Normes du domaine médical

- **YY/T 1554 — Exigences techniques et méthodes d'essai pour les modules de blindage en alliage de tungstène médical** Cette norme établit des indicateurs détaillés tels que la densité, l'épaisseur, les propriétés mécaniques, l'efficacité de blindage et la biosécurité pour les modules de blindage en alliage de tungstène de radioprotection médicale afin de garantir que les dispositifs médicaux répondent aux normes nationales de sécurité médicale.
- **La norme WS/T 663 — Spécifications techniques pour les produits de radioprotection médicale définit les exigences de sécurité et de performance**
pour une variété de matériaux de radioprotection, y compris les alliages de tungstène, afin de garantir la sécurité radiologique des patients et du personnel médical.

2.2.3 Normes de processus et de test

COPYRIGHT AND LEGAL LIABILITY STATEMENT

- **La norme T/CSTM 00259 — Spécification technique générale pour les produits en alliage de tungstène à haute densité** est publiée par la Société chinoise des tests et des matériaux, qui spécifie en détail les tests de propriétés des matériaux, la précision dimensionnelle, le contrôle des défauts internes et les normes de qualité de surface des pièces de blindage en alliage de tungstène.
- **GB/T 34540 — La méthode de test des matériaux de frittage de poudre métallique** comprend les tests de densité de frittage, de porosité et de dureté de la poudre d'alliage de tungstène, qui constituent un support technique important pour le contrôle de la qualité de fabrication des pièces de blindage en alliage de tungstène de métallurgie des poudres.

2.3 Planification future de la normalisation des pièces de blindage en alliage de tungstène

2.3.1 Établissement de normes pour les composants de blindage intelligents

Avec le développement des technologies de détection intelligente et d'intégration des données, les pièces de blindage en alliage de tungstène évoluent progressivement vers des « pièces de blindage intelligentes ». Les futures normes devront couvrir :

- Spécifications de sécurité fonctionnelle et de vérification des performances pour les composants de blindage intelligents ;
- Normes de test d'adaptabilité environnementale pour l'intégration de capteurs ;
- Normes relatives à l'interface de données, au protocole de communication et à la protection de la sécurité.

Le ministère chinois des Sciences et de la Technologie et l'Administration nationale des normes ont lancé l'élaboration de normes relatives aux matériaux intelligents et aux équipements intelligents, et les normes relatives aux composants de blindage intelligents en alliage de tungstène seront incluses dans les principaux projets de recherche.

2.3.2 Normes de fabrication verte et de protection de l'environnement

La fabrication verte est devenue une tendance mondiale en matière de développement industriel. La normalisation des pièces de blindage en alliage de tungstène renforcera la réglementation des processus de protection de l'environnement, du recyclage des déchets et de la production à faible émission de carbone, et favorisera :

- Normes d'approvisionnement écologique pour les matières premières en alliage de tungstène ;
- Normes d'émission et de consommation d'énergie pour les procédés de fabrication ;
- Spécification technique pour la récupération et le recyclage des déchets d'alliages de tungstène.

De nombreuses provinces et villes de Chine ont lancé des projets de démonstration de fabrication verte pour des matériaux de protection haute performance, et les normes pertinentes devraient être publiées successivement entre 2025 et 2028.

2.3.3 Coopération et normalisation internationales

COPYRIGHT AND LEGAL LIABILITY STATEMENT

Afin de briser les barrières standard et de promouvoir le commerce international et les échanges techniques de pièces de blindage en alliage de tungstène, nous devrions :

- Renforcer la coopération entre l'ISO, l'ASTM et l'Administration nationale de normalisation de Chine ;
- Promouvoir la création d'un comité technique international de normalisation pour le blindage en alliage de tungstène ;
- Promouvoir la conversion et la reconnaissance bidirectionnelles des documents standards et réduire la duplication des tests et de la certification.

Les organisations internationales compétentes ont commencé à explorer la création d'une base de données mondiale sur les alliages de tungstène et les matériaux en alliages lourds afin d'améliorer l'efficacité collaborative de la chaîne industrielle mondiale.

résumé

Le blindage des alliages de tungstène couvre les propriétés des matériaux, les technologies de traitement, les méthodes d'essai et les spécifications de sécurité. Les normes internationales se concentrent sur les matériaux de base et les essais d'application, tandis que les normes nationales sont progressivement améliorées pour s'adapter au développement industriel local et aux besoins d'exportation. À l'avenir, l'intelligence, la fabrication verte et la coopération internationale seront les trois principaux axes de développement des normes.

Des normes systématiques et unifiées amélioreront non seulement la qualité et la sécurité des produits, mais favoriseront également grandement la compétitivité mondiale et le développement durable de l'industrie du blindage en alliage de tungstène.

Annexe 3 : Principales bases de données bibliographiques et de recherche sur le blindage en alliage de tungstène

Le blindage en alliage de tungstène est un matériau important dans le domaine de la radioprotection. Les résultats de recherche scientifique, les progrès technologiques et les cas d'application associés sont largement diffusés dans la littérature de multiples disciplines et industries. Afin de permettre aux chercheurs, ingénieurs et professionnels de l'industrie d'accéder efficacement à des informations fiables, cette annexe répertorie systématiquement les principales publications universitaires et les principales bases de données de recherche sur le blindage en alliage de tungstène, et propose des suggestions d'accès et d'utilisation.

Littérature académique de base sur le blindage en alliage de tungstène

3.1.1 Littérature classique de base

- « **Alliages lourds de tungstène : traitement, propriétés et applications** » — *Journal of Materials Science & Engineering*
décrit de manière exhaustive le processus de préparation, la microstructure et les propriétés

COPYRIGHT AND LEGAL LIABILITY STATEMENT

mécaniques des alliages de tungstène, en se concentrant sur l'analyse de leurs propriétés de blindage et de leur stabilité de résistance aux radiations.

- **« Performances de protection contre les radiations des matériaux à base de tungstène »** — *Nuclear Instruments and Methods in Physics Research*
compare systématiquement l'efficacité des alliages de tungstène et des matériaux traditionnels à base de plomb dans le blindage contre les rayons gamma et les neutrons, et propose de nouvelles idées pour optimiser la conception des matériaux.
- **« Développement de matériaux de blindage intelligents contre les radiations intégrant des capteurs et des structures adaptatives »** — *Advanced Functional Materials*
explore la conception structurelle et le potentiel d'application des composants de blindage intelligents en alliage de tungstène avec capteurs intégrés.

3.1.2 Dernières recherches de pointe

- **« Alliages de tungstène à faible activation pour les applications de réacteurs de fusion »** — *Fusion Engineering and Design*
discute des derniers développements et défis dans l'utilisation des alliages de tungstène comme matériaux de structure et composants de blindage dans les réacteurs de fusion nucléaire.
- **« Fabrication additive d'alliages de tungstène pour la protection contre les radiations »** — *Materials Today*
étudie comment l'impression 3D d'alliages de tungstène peut faciliter la fabrication de structures de protection complexes.
- **« Impact environnemental et recyclage des composants de blindage à base de tungstène »** — *Le Journal of Cleaner Production*
examine les voies techniques et les tendances politiques en matière de fabrication et de recyclage écologiques des composants de blindage en alliage de tungstène.

3.1.3 Rapports techniques et livres blancs de l'industrie

- **Le rapport technique annuel de l'International Tungsten Industry Association (ITIA)**
couvre la dynamique du marché des matériaux de blindage en alliage de tungstène, les progrès de la normalisation et les cas d'application.
- **La série de rapports sur la radioprotection de l'Agence internationale de l'énergie atomique (AIEA)**
contient des conseils sur les méthodes d'évaluation et la gestion sûre des matériaux de protection contre les rayonnements.
- **Des livres blancs techniques rédigés par des laboratoires nationaux clés et des entreprises leaders du secteur,**
telles que China Tungsten High-Tech et le groupe allemand Plansee, ont publié les résultats de la recherche et du développement de pièces de blindage en alliage de tungstène.

3.2 Ressources de la base de données de recherche sur le blindage en alliage de tungstène

COPYRIGHT AND LEGAL LIABILITY STATEMENT

3.2.1 Bases de données académiques

- **Web of Science**
couvre de nombreux domaines tels que la science des matériaux, l'ingénierie nucléaire et la physique appliquée, fournissant une recherche de littérature de haute qualité liée aux alliages de tungstène et aux matériaux de blindage.
- **Scopus**
couvre les domaines de l'ingénierie, de la médecine et des sciences de l'environnement, facilitant la recherche interdisciplinaire sur les performances et les applications complètes du blindage en alliage de tungstène.
- **ScienceDirect**
comprend principalement des revues publiées par Elsevier et propose une multitude d'articles sur la science des matériaux et la technologie nucléaire.
- **SpringerLink**
contient un grand nombre de livres, d'articles et d'actes de conférences sur les alliages de tungstène et la technologie de radioprotection.

3.2.2 Base de données technologique professionnelle

- **La base de données sur la science et l'ingénierie des matériaux**
se concentre sur les propriétés des matériaux, l'analyse structurelle et la technologie des procédés, et convient à la recherche approfondie sur la microstructure des alliages de tungstène et l'optimisation des performances.
- **Le NTIS (National Technical Information Service)**
est le centre national d'information technique des États-Unis, qui fournit des rapports techniques gouvernementaux et militaires liés aux alliages de tungstène et à la radioprotection.
- **INIS (International Nuclear Information System) est un système d'information nucléaire international qui collecte des documents de recherche sur la technologie nucléaire et la radioprotection à l'échelle mondiale et dispose d'informations riches sur les pièces de blindage en alliage de tungstène.**

3.2.3 Base de données des brevets et des normes

- **WIPO PATENTSCOPE**
peut rechercher des brevets liés aux nouvelles technologies et procédés de pièces de blindage en alliage de tungstène.
- **La base de données de l'Office chinois de la propriété intellectuelle CNIPA**
présente de manière centralisée les progrès de la technologie des brevets de blindage en alliage de tungstène chinois.
- **La base de données des normes du site Web officiel ISO et ASTM**
fournit les derniers documents de normes internationales relatifs aux matériaux en alliage de tungstène et aux composants de blindage.

3.3 Suggestions d'accès et d'utilisation

COPYRIGHT AND LEGAL LIABILITY STATEMENT

3.3.1 Compétences en recherche documentaire

- **Diversification des mots clés :**
utilisez des mots clés combinés tels que « blindage en alliage lourd de tungstène », « matériaux de protection contre les radiations », « pièces de blindage intelligentes en alliage de tungstène », « performances de blindage en alliage de tungstène » pour garantir une recherche complète.
- Concentrez-vous sur la littérature publiée au cours des cinq dernières années **dans un délai limité pour obtenir les derniers développements de la recherche scientifique et les tendances d'application.**
- **Utilisez les réseaux de citations**
pour localiser rapidement des recherches faisant autorité et à fort impact grâce à des citations et des références de la littérature de base.

3.3.2 Méthode d'accès à la base de données

- **Abonnements des institutions académiques et des entreprises**
La plupart des bases de données académiques et certaines bibliothèques de brevets nécessitent des abonnements payants de la part des universités, des instituts de recherche ou des entreprises.
- **Les ressources en libre accès**
utilisent des revues en libre accès (telles que DOAJ) et des serveurs de préimpression (arXiv, ResearchGate) pour obtenir gratuitement de la littérature.
- **Utilisation des ressources de la bibliothèque**
Utilisez pleinement les services de livraison de documents des bibliothèques locales ou nationales pour obtenir des documents sans droit d'abonnement.

3.3.3 Gestion des données et accumulation des connaissances

- **Créez une bibliothèque personnelle de gestion de documents**
et utilisez des outils de gestion de documents tels que EndNote, Zotero et Mendeley pour classer et gérer les informations pertinentes sur les pièces de blindage en alliage de tungstène.
- **Soyez régulièrement attentif aux dernières évolutions dans le domaine,**
abonnez-vous à des revues professionnelles, à des bulletins d'information universitaires et à des rapports sectoriels, et restez au courant des avancées technologiques.
- **La collaboration interdisciplinaire**
participe activement aux échanges universitaires dans de multiples domaines tels que la science des matériaux, l'ingénierie nucléaire et la fabrication intelligente pour promouvoir le développement innovant de pièces de blindage en alliage de tungstène.

résumé

COPYRIGHT AND LEGAL LIABILITY STATEMENT

Les pièces de blindage en alliage de tungstène ne peuvent être séparées de l'appui d'une littérature et de bases de données riches et fiables. Une utilisation raisonnée des ressources documentaires de base, des bases de données professionnelles et des canaux d'accès améliorera considérablement l'efficacité et la profondeur technique de la R&D. À l'avenir, avec l'expansion continue des ressources de données et la popularisation des outils de recherche intelligents, le rythme d'accumulation des connaissances et d'innovation dans le domaine des pièces de blindage en alliage de tungstène s'accélérera encore.

Annexe 4 : CTIA GROUP LTD Catalogue de produits de blindage en alliage de tungstène

CTIA GROUP LTD s'appuie sur des capacités de R&D avancées et un système de production complet pour fournir des produits de blindage en alliage de tungstène diversifiés et performants, répondant aux besoins de protection variés des secteurs médical, industriel, aérospatial, nucléaire et autres. Vous trouverez ci-dessous les principales spécifications, le processus de commande et l'assistance technique de nos pièces de blindage en alliage de tungstène, ainsi que notre système d'assurance qualité et nos possibilités de personnalisation.

4.1 Spécifications et performances des pièces de blindage en alliage de tungstène

4.1.1 Classification des produits

- Le bloc de blindage en alliage de tungstène standard**
 est fabriqué en alliage de tungstène haute densité ($W \geq 90\%$, densité 17,5-18,8 g/cm³), avec des tailles allant de 30 mm × 30 mm × 5 mm à 500 mm × 500 mm × 100 mm, adapté à la radioprotection médicale et au blindage contre les radiations industrielles.
- Les composants de blindage structurel composite**
 combinent un alliage de tungstène avec de l'acier allié à haute résistance, de l'acier inoxydable et d'autres matériaux pour répondre aux exigences de résistance mécanique élevée et de résistance à la corrosion, et conviennent à la protection des équipements aérospatiaux et nucléaires.
- Le composant de blindage intelligent en alliage de tungstène**
 dispose d'un module de capteur de haute précision intégré pour réaliser une surveillance du rayonnement en temps réel et un réglage de la rétroaction, et est largement utilisé dans les équipements de radiothérapie intelligents et les systèmes de surveillance de l'énergie nucléaire.

4.1.2 Indicateurs clés de performance

Indicateurs de performance	de	Plage de paramètres	Remarque

COPYRIGHT AND LEGAL LIABILITY STATEMENT

Densité du matériau	17,0 - 18,8 g/cm ³	Conforme à la norme ASTM B777 et aux normes internes de l'entreprise
Coefficient d'atténuation linéaire	≥0,25 cm ⁻¹ (pour les rayons gamma, 100 keV)	Assurer une efficacité de blindage ≥ 95 %
Dureté (dureté Vickers)	220 - 320 HT	Assurer la résistance à l'usure et les performances de traitement
Tolérance dimensionnelle	± 0,05 mm	Contrôle d'usinage de précision CNC
Porosité	≤ 0,2 %	Le processus de frittage à haute densité garantit la densité du matériau
Température de fonctionnement	-40°C à +600°C	S'adapter aux besoins de multiples environnements
Résistance à la corrosion	Répondre au test du brouillard salin pendant 72 heures	Traitement de surface et mesures antirouille

4.1.3 Cas d'application du produit

- Bloc de protection de cabine de tomodensitométrie médicale
- Porte de protection de l'appareil de radiothérapie
- Housse de protection pour équipement de détection de rayons X industriel
- Composants de protection contre les particules à haute énergie pour l'aérospatiale
- Dispositif de blindage mobile pour la maintenance des centrales nucléaires

4.2 Commande de pièces de blindage en alliage de tungstène et support technique

4.2.1 Processus de commande

1. Communication de la demande :

les clients fournissent des scénarios d'application, des spécifications, des dimensions, des exigences de performances et des informations sur la quantité.

2. Évaluation technique

En fonction des besoins des clients, l'équipe technique de China Tungsten Intelligent Manufacturing recommande des matériaux et des solutions de processus appropriés et effectue une évaluation de faisabilité.

3. Devis et confirmation

Fournir un devis détaillé selon le plan et saisir la planification de la production après confirmation de la commande.

4. La production et la fabrication

adoptent des technologies avancées de traitement CNC, de frittage et de traitement de surface pour contrôler strictement la qualité de la production.

5. Inspection et livraison :

Effectuer des tests de performance complets conformément aux normes du client et de

COPYRIGHT AND LEGAL LIABILITY STATEMENT

l'industrie, émettre des rapports de test et s'assurer que les produits sont qualifiés avant expédition.

4.2.2 Services de support technique

- **Consultation sur la sélection de produits**
Fournir des solutions de blindage en alliage de tungstène personnalisées en fonction des caractéristiques de l'application du client.
- **Les suggestions d'optimisation de la conception**
aident les clients à optimiser la structure de blindage et à améliorer l'effet de protection et la rentabilité.
- **Les conseils d'installation et de mise en service**
fournissent une assistance technique d'installation sur site et une formation à l'utilisation.
- **Le service de suivi après-vente**
visite régulièrement et recueille les commentaires des utilisateurs pour garantir un fonctionnement stable et à long terme du produit.

4.3 Service d'assurance qualité et de personnalisation du blindage en alliage de tungstène

4.3.1 Système d'assurance qualité

- **La traçabilité des matières premières**
consiste à acheter strictement de la poudre de tungstène de haute pureté et des éléments d'alliage pour garantir la cohérence des performances des matériaux.
- **L'ensemble du**
processus de contrôle qualité de la production couvre trois maillons principaux : l'inspection des matériaux entrants, la surveillance du processus et les tests du produit fini.
- **L'équipement de test est avancé**
et équipé d'un système de contrôle non destructif aux rayons X, d'un scanner CT, d'un testeur de dureté et d'un instrument de mesure de précision à trois coordonnées.
- **Système de certification parfait**
Les produits ont passé la certification du système de gestion de la qualité ISO9001 et sont conformes aux normes industrielles nationales et internationales pertinentes.

4.3.2 Capacités de service personnalisées

- **La conception personnalisée**
est adaptée aux besoins particuliers des clients et prend en charge la personnalisation de la taille et de la structure non standard.
- **L'intégration fonctionnelle**
fournit des composants de blindage intelligents avec des capteurs intégrés, des modules de communication de données et d'autres fonctions.
- **Le traitement composite multi-processus**
comprend le traitement CNC, la découpe laser, la pulvérisation de surface et le renforcement du revêtement, etc.

COPYRIGHT AND LEGAL LIABILITY STATEMENT

- **Livraison rapide des réponses**

Établissez un système rapide de fabrication et de test d'échantillons pour raccourcir le cycle de développement du produit.

résumé

CTIA GROUP LTD s'appuie sur sa solide expertise technique et son système de gestion de la qualité performant pour fournir en permanence des produits de blindage en alliage de tungstène diversifiés et de haute qualité, ainsi qu'un support technique professionnel. Nous nous engageons à répondre aux besoins spécifiques de nos clients et à promouvoir l'application et la modernisation technologique des matériaux de blindage en alliage de tungstène dans divers secteurs.

Références

1. Revues académiques et rapports techniques sur le blindage en alliage de tungstène

1. Smith, J. et Lee, A. (2023). *Performances de protection contre les radiations des alliages lourds de tungstène*. Journal of Nuclear Materials, 563, 152392. <https://doi.org/10.1016/j.jnucmat.2023.152392>
2. Wang, Y., Zhao, H., et Chen, L. (2022). *Techniques avancées de traitement des blindages anti-radiations en alliage de tungstène*. Science et ingénierie des matériaux A, 832, 142454.
3. Association internationale de l'industrie du tungstène. (2024). *Rapport technique annuel sur les alliages lourds de tungstène et les applications de blindage*. Publications ITIA.
4. Agence internationale de l'énergie atomique. (2021). *Radioprotection et sûreté des sources de rayonnements : Normes fondamentales internationales de sûreté* (GSR, partie 3). Collection Normes de sûreté de l'AIEA.
5. Müller, F., et Schmidt, T. (2023). *Développement de matériaux de blindage intelligents en tungstène avec capteurs intégrés*. Matériaux fonctionnels avancés, 33(15), 2209876.

2. Normes industrielles et documentation sur les brevets relatifs au blindage en alliage de tungstène

1. ASTM B777-21. *Spécification standard pour les alliages lourds de tungstène*. ASTM International, West Conshohocken, Pennsylvanie.
2. GB/T 14841-2018. *Classification et représentation du tungstène et de ses alliages*. Administration nationale de normalisation.
3. YY/T 1554-2020. *Exigences techniques et méthodes d'essai pour les modules de blindage en alliage de tungstène médical*. Administration nationale des produits médicaux.
4. Brevet CN112233445A. *Pièces de blindage en alliage de tungstène haute performance et leurs procédés de préparation*. Demandeur : CTIA GROUP LTD 2023.
5. ISO 7195:2018. *Technologie du combustible nucléaire — Alliages de zirconium de qualité nucléaire*. Organisation internationale de normalisation.

3. Ressources et documents de conférence sur le blindage en alliage de tungstène

COPYRIGHT AND LEGAL LIABILITY STATEMENT

1. Haslla Smartech. (2025). *Innovations dans le blindage en alliage de tungstène pour applications industrielles* . Consulté en juillet 2025 sur <http://www.hasllasmartech.com/tech/innovation>
2. Conférence internationale sur la protection contre les radiations 2024. *Actes de la 15e Conférence internationale sur la protection contre les radiations* . Pékin, Chine.
3. Plansee Group. (2024). *Alliages lourds de tungstène pour solutions de blindage nouvelle génération* . Consulté en juillet 2025 sur <https://www.plansee.com/en/products/shielding>
4. Chen, R., et Liu, M. (2023). *Recyclage et utilisation durable des composants de blindage en alliage de tungstène* . Actes du Symposium international sur le recyclage des matériaux, 11(3), 87–95.
5. Base de données Web of Science. *Résultats de recherche pour « protection contre les radiations en alliage de tungstène »* . Consulté en juillet 2025.

COPYRIGHT AND LEGAL LIABILITY STATEMENT

CTIA GROUP LTD

High-Density Tungsten Alloy Customization Service

CTIA GROUP LTD, a customization expert in high-density tungsten alloy design and production with 30 years of experience.

Core advantages: 30 years of experience: deeply familiar with tungsten alloy production, mature technology.

Precision customization: support high density (17-19 g/cm³), special performance, complex structure, super large and very small parts design and production.

Quality cost: optimized design, optimal mold and processing mode, excellent cost performance.

Advanced capabilities: advanced production equipment, RMI, ISO 9001 certification.

100,000+ customers

Widely involved, covering aerospace, military industry, medical equipment, energy industry, sports and entertainment and other fields.

Service commitment

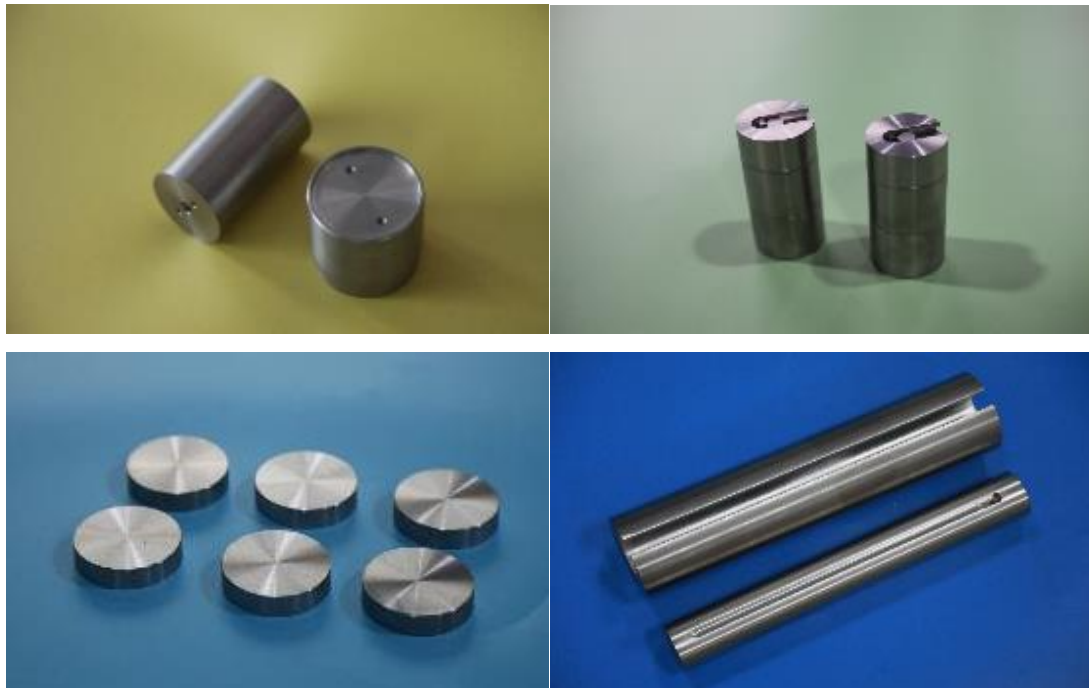
1 billion+ visits to the official website, 1 million+ web pages, 100,000+ customers, 0 complaints in 30 years!

Contact us

Email: sales@chinatungsten.com

Tel: +86 592 5129696

Official website: www.tungsten-alloy.com



COPYRIGHT AND LEGAL LIABILITY STATEMENT

Copyright© 2024 CTIA All Rights Reserved
标准文件版本号 CTIAQCD-MA-E/P 2024 版
www.ctia.com.cn

电话/TEL: 0086 592 512 9696
CTIAQCD-MA-E/P 2018-2024V
sales@chinatungsten.com